

RADIO

ČASOPIS

PRO RADIOTECHNIKU
A AMATÉRSKÉ VYSÍLÁNÍ
ROČNÍK XVIII/1969 ČÍSLO 6

V TOMTO SEŠITĚ

Náš interview	201
Čtenáři se ptají	203
Jak na to	204
Nové součástky	206
Stavebnice mladého radioamatéra (včetně zesilovače a korektoru)	207
Univerzální měřicí přístroj	209
Stmívač s tyristorem	213
Integrovaná elektronika	215
Lineární obvod MAA325	217
Třípovelový přijímač pro modely	223
Barevná hudba	226
Zkoušeč tranzistorů FET	230
Kompresor dynamiky v nf zesilovači vysílače	231
Návrh tranzistorových výkonových zesilovačů pro VKV	233
Soutěže a závody	236
DX	236
Naše předpověď	237
Přečteme si	238
Četli jsme	238
Nezapomeňte, že	238
Inzerce	238

Na str. 219 a 220 jako vyjimatelná příloha „Programovaný kurs radioelektroniky“.

Na str. 221 a 222 jako vyjimatelná příloha „Malý katalog tranzistorů“.

AMATÉRSKÉ RADIO

Vydává vydavatelství MAGNET, Praha 1, Vladislavova 26, telefon 234355-7. Šéfredaktor ing. František Smolík, zástupce Lubomír Březina. Redakční rada: K. Bartoš, ing. J. Čermák, K. Donát, ing. L. Hloušek, A. Hofhans, Z. Hradský, ing. J. T. Hyan, K. Krbec, ing. A. Lavante, K. Novák, ing. O. Petráček, dr. J. Petránek, M. Procházka, K. Pyner, ing. J. Vackář, J. Ženíšek. Redakce Praha 2, Lublaňská 57, telef. 223630. Ročně vyjde 12 čísel. Cena výtisku 4 Kčs, pololetní předplatné 24 Kčs. Rozšiřuje PNS, v jednotkách ozbrojených sil vydavatelství MAGNET, administrace Praha 1, Vladislavova 26. Objednávky přijímá každá pošta i doručovatel. Dohledací pošta Praha 07. Objednávky do zahraničí vyřizuje PNS, vývoz tisku, Jindřišská 14, Praha 1. Tiskne Polygrafia 1, n. p., Praha. Inzerce přijímá vydavatelství MAGNET, Vladislavova 26, Praha 1, tel. 234355-7, linka 294. Za původnost příspěvků ručí autor. Redakce rukopis vrátí, bude-li vyzván a bude-li připojena frankovaná obálka se zpětnou adresou.

Toto číslo vyšlo 9. června 1969.

© Vydavatelství MAGNET, Praha

náš inter view

s vedoucím výzkumu a vývoje Tesly Rožnov M. Zimmerem a vedoucím elektronické laboratoře Tesly Rožnov ing. F. Hamanem o tom, kterým směrem se v současné době ubírá vývoj a výroba Tesly Rožnov.

Začal bych velmi všeobecnou otázkou: v jakém stavu je v současné době vývoj polovodičových prvků ve vašem závodě a kterým směrem se bude v nejbližší budoucnosti ubírat?

V současné době jsme uzavřeli základní řadu křemíkových prvků. Obsahuje tranzistory pro téměř všechny druhy použití ve spotřební a průmyslové elektronice. Objem výroby křemíkových tranzistorů se značně zvyšuje; v příštím roce vzroste podle předpokladů na dvojnásobek a v dalších letech až na desetinásobek i více. Výroba křemíkových tranzistorů je pro nás vzhledem k výrobní technologii i mnohem výhodnější než výroba germaniových prvků. Všechny druhy křemíkových tranzistorů se vyrábějí epitaxně planární technologií. Tím se značně snižují především technologické náklady oproti výrobě germaniových tranzistorů, u nichž se používá několik technologií – slitinová, planární, mesa apod. Některé z nich nejdou vůbec zmechanizovat a jsou proto velmi nákladné. U germaniových tranzistorů zachováváme asi současný objem výroby, což odpovídá i současnému světovému trhu.

Rozšiřujeme sortiment integrovaných obvodů, jejichž výhodou jsou mnohem menší výrobní náklady než náklady na odpovídající počet diskretních prvků. Zatím stále ještě brání většímu rozšíření integrovaných obvodů nedostatek vyzkoušených aplikací a do jisté míry také konzervativnost odběratelů při zavádění těchto prvků do finálních výrobků.

Ukončili jsme vývoj řady logických obvodů, ekvivalentní řadě SN74 firmy Texas, která obsahuje všechny běžné používané logické funkce. Počítá se s rozšířením této řady podle potřeby.

Integrované obvody se strukturou MOS jsou připraveny do výroby, ovšem zatím se pro nedostatek zájmu ze strany odběratelů nevyrábějí a jejich spotřebu kryje laboratorní výroba ve VÚST.

Většímu rozšíření polovodičových prvků bránila také dosud jejich poměrně vysoká cena. Jak se chcete vyvídat s tímto problémem?

Náš podnik připravuje v současné době uzavření podnikatelské smlouvy se státem. Naším cílem je v co nejkratší době radikálně urychlit tranzistorizaci průmyslové i spotřební elektroniky. Prvním krokem k tomu má být snížení cen všech křemíkových prvků o 50 % od 1. ledna příštího roku (bude-li schválena podnikatelská smlouva). Již jsme hovořili o plánovaném zvýšení výroby v dalších letech. Dostatek polovodičových prvků za nízké ceny a v krátkých dodacích lhůtách by měl být hlavním předpokladem pro maximální rozšíření těchto prvků do všech oborů elektroniky. Významnou úlohu při realizaci našeho plánu bude mít také naše aplikační laboratoř, o níž se ještě zmíníme podrobně.

Překážkou při použití polovodičových prvků vyráběných ve vašem závodě je také značně dlouhá doba mezi ukončením vývoje a zavedením do výroby. Vyřešili jste i tuto otázku?

Dá se říci že ano. Zřídili jsme experimentální provoz, který těsně spolupracuje s naší elektronickou laboratoří a má značnou kapacitu – kolem 1 000 000 tranzistorů ročně. Je při něm zřízeno i detašované odbytové oddělení a tento provoz je schopen krýt potřebu nově vyvinutých prvků pro vývojová pracoviště a prototypové série odběratelů i maloobchodní prodej až do zahájení velkosériové výroby. Tím se prakticky zlikviduje „čekací doba“ mezi vývojem a výrobou a nové prvky budou moci být okamžitě zaváděny do finálních výrobků.

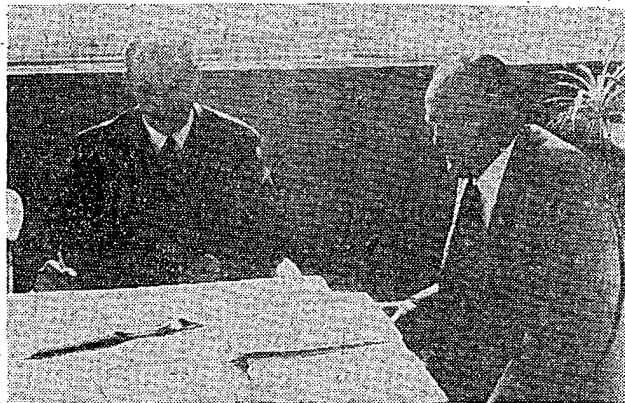
I když pro vás je to otázka podřadná, naše čtenáře bude jistě zajímat, budou-li všechny vaše výrobky k dostání i v maloobchodní síti.

Počítáme s tím, že všechny naše výrobky – včetně integrovaných obvodů a logických obvodů – budou v dostatečném množství k dostání i pro zájemce z řad amatérů (v první etapě budou ještě v tomto roce zásobeny prodejny Tesla).

Zmínili jste se o aplikační laboratoři. Můžete blíže vysvětlit, proč byla tato laboratoř zřízena a co je jejím úkolem?

Jak jsme již řekli, brání zatím většímu rozšíření většiny diskretních prvků a zvláště integrovaných obvodů nedostatek vyzkoušených aplikací. Protože je v našem zájmu používání integrovaných obvodů co nejvíce rozšířit, vyvstala potřeba vyvíjet nebo zkoušet současně s vývojem prvků nejvýhodnější zapojení s těmito prvky a jejich aplikace na místě dosavadních konvenčních obvodů. Proto byla zřízena naše aplikační laboratoř. Jejím úkolem je hlavně ukazovat odbě-

Ing. F. Haman, vedoucí aplikační laboratoře (vlevo) a M. Zimmer, vedoucí vývoje a výzkumu Tesly Rožnov (vpravo)



ratelům způsoby použití nových prvků. Proto také spolupracujeme s vývojovými odděleními mnoha závodů, které kupují naše výrobky. V některých případech se v této laboratorii za účelem vyzkoušení nových součástek vyvíjejí i finální výrobky.

Některé finální výrobky vaší aplikační laboratoře jsem si prohlédl na zdejší výstavce. Mohli byste o nich říci něco bližšího?

První prací této laboratoře byl univerzální měřicí přístroj s tranzistorem typu MOS a integrovaným obvodem. Základní zapojení tohoto přístroje spolu se vzorkem pak bylo předáno Tesle Valašské Meziříčí, kde byl definitivně konstruktivně dorešen a připraven do výroby pod označením elektrometr AXA 200. Měří stejnosměrná napětí v rozsazích od 0,3 V do 1 kV, přičemž vstupní odpor je na všech rozsazích 1 000 MΩ. Sondou lze napětí rozsah rozšířit do 30 kV. Dále měří stejnosměrný proud v rozsazích od 1 pA do 1 mA při úbytku napětí daném prakticky jen přesností nastavení nuly měřidla (tedy několik mV) a odpory v rozsazích od 3 kΩ do 1 TΩ (10^{12} Ω). Stupnice na všech rozsazích (i u měření odporů) je lineární a přesnost měření díky principu činnosti přístroje (jako impedanční transformátor při měření napětí a jako zpětnovazební převodník proud-napětí nebo odpor-napětí při měření proudů a odporů) je dána jen přesností vlastního měřidla a odporů v děliči, popř. zpětnovazební větvi. Velmi pozoruhodná je i cena, která se má pohybovat kolem 2 000,— Kčs. Zájemci o tento přístroj se mohou obrátit na Teslu Valašské Meziříčí.

Dalším finálním výrobkem jsou elektronické varhany, které jsme vyvinuli a budeme již letos vyrábět ve spolupráci s Čs. hudebními závody v Hradci Králové. Je v nich mnoho zajímavých obvodů, dosud ještě nikde v zahraničí nepoužitých. Jakmile bude ukončeno patentové řízení, seznámíme s nimi vaše čtenáře ve zvláštním článku. Cena varhan bude asi 12 000 až 13 000 Kčs a s jejich výrobou se počítá pro rok 1970.

Výrobek, který bude zřejmě pro širokou veřejnost nejatraktivnější, je malý tranzistorový přijímač osazený integrovanými obvody (na mf a nf) a elektromechanickým filtrem. Má rozsah středních vln a část dlouhovlnného rozsahu se stanicí Československo I. Ve srovnání se zahraničními přijímači této třídy, které jsou u nás na trhu, má větší citlivost a větší výkon. Přestože je rozměrově téměř stejně velký jako přijímače Zuzana a Dana, má reproduktor z přijímače Dolly a tedy kvalitnější reprodukci. Nejpozoruhodnější na přijímači je jeho cena – má být asi kolem 400 Kčs. Přijímač přijde do prodeje koncem t. r.

K tomuto přijímači chceme vyrábět ještě dva doplňky: skříňku s výkonnějším nf zesilovačem pro domácí poslech, do níž by se stávající přijímač jen zasunul, a podobné zařízení pro provoz v automobilu.

Poslední otázka se bude částečně týkat našeho časopisu. Jak chcete zlepšit informovanost zákazníků o vašich výrobcích a jak spoluprací s Amatérským rádiem?

Samozřejmě, že informovanost zákazníků je jednou z nejdůležitějších věcí a je naším prvotním zájmem. Budeme vydávat podrobné publikace, v nichž

budou osvědčená a vyzkoušená zapojení s výrobky našeho podniku. Na první takové publikaci se již pracuje. Spolupráce s vaším časopisem se v poslední době již rozšiřuje – naši odborníci u vás uveřejnili články o integrovaných obvodech, křemíkových tranzistorech apod. Rádi bychom dosáhli toho, aby se to stalo pravidlem a aby byla naše veřejnost o polovodičových prvcích z Tesly Rožnov prostřednictvím Amatérského radia dokonale informována. Ve vaší rubrice „Nové součástky“ bychom rádi uveřejňovali data skutečně nových součástek, které jsme vyvinuli. Domníváme se, že by naši vzájemně spolupráci prospěl častější osobní styk a proto vás zveme na návštěvu do našeho závodu.

Děkujeme za rozhovor a pozvání přijímáme.

* * *

Příležitost pro pražské radioamatéry

Mezi téměř stovkou odboček Českomoravského svazu radioamatérů (CRA), které byly ustaveny do letošního dubna na území Čech a Moravy, je i odbočka CRA Praha, která si vytýkla zvláštní a zajímavý cíl: sdružovat ty radioamatéry, kteří z osobních, rodinných nebo jiných důvodů se nemohou věnovat práci v kolektivech. Tato odbočka chce totiž omezit vzájemný styk členů jen na informační bulletin s technickým a provozním obsahem, poskytovat různé služby (QSL, diplomovou apod.), organizovat prodej součástek, a bude-li zájem, pořádat dříve velmi oblíbené besedy radioamatérů.

I když přípravný výbor odbočky, jehož předsedou je K. Pymer, OKIPT, místopředsedou J. Stehlík, OKIJQ, a jednatelem K. Kamínek, OKICX, počítá především se členy z Prahy a okolí, chce umožnit členství i těm amatérům z celých Čech a Moravy, kteří nemají možnost pracovat v odbočce CRA v místě svého bydliště nebo pracoviště. Podle zájmu členů chce odbočka organizovat srazy, besedy, přednášky, exkurze, ukázky techniky atd.

Máte-li zájem o členství v této odbočce, zašlete vyplněný Evidenční list radioamatéra, který byl uveřejněn v AR 8/68, na adresu Odbočka CRA Praha, Praha-Braník, Vlnitá 33 (odbočka prozatím používá adresu ústředního radioklubu). Přípravný výbor odbočky ještě upozorňuje, že členství není podmíněno ani věkem, ani zájmovou oblastí. To znamená, že přísluší členové nemusí být ani RP, OL nebo OK – stačí, mají-li zájem o kterýkoli obor radiotechniky a elektroniky.

* * *

Mikrotelevizor

Japonská firma Sony uvedla na trh nový mikrotelevizor s integrovanými obvody. Ze všech obvodů televizoru jsou jen tuner a koncový stupeň řádkového rozkladu postaveny s běžnými tranzistory. Obrazovka televizoru má úhlopříčku o délce 3 cm. V televizoru je 11 integrovaných obvodů. Po ověření činnosti budou některé z nich použity i v televizních přijímačích běžných rozměrů.

—Mi—

PŘIPRAVUJEME PRO VÁS

Tranzistorový osciloskop

Třípovelový přijímač pro modely

Horské slunce OZALUX

MILÍ ČTENÁŘI,

redakce považuje za svou povinnost obracet se k Vám nejen s příznivými, ale i s nepříjemnými informacemi. Mnohem radostnější se nám psalo, když jsme Vám mohli sdělit, že rozšiřujeme rozsah časopisu o osm stran bez zvýšení ceny. Dnes je situace opačná. Není žádným tajemstvím, že naše hospodářství se dostalo do nesmírných obtíží, z nichž se zatím marně snaží dostat. Pokud jde o naše časopisy, projevil se vliv této neutěšené situace v tom, že se podstatně zvýšily ceny za papír a tiskárenské práce (ve srovnání se začátkem roku 1968 o dalších více než 20 %). Se svou „trochou do mlýna“ přišla i Poštovní novinová služba, která zvýšila rabat za distribuci časopisu na 25 % jeho ceny. Vydavatelství Magnet nezbyvá, než se této „realitě“ přizpůsobit a – nechce-li vycházet časopis ohrožit – zvýšit od čísla 7/69 cenu na 5,— Kčs za číslo a předplatné na zbyvajících polovinu roku na 30,— Kčs.

Věříme, že toto nepopulární, avšak nezbytné opatření nebude znamenat zmenšení Vašeho zájmu o obor, který máte rádi, a že zůstanete i nadále našimi pravidelnými čtenáři a odběrateli.

Redakce AR

Diplom „Litoměřice 750 let“

Odbočka Českomoravského svazu radioamatérů v Litoměřicích společně s radou MěstNV v Litoměřicích vydávají u příležitosti oslav 750. výročí založení města Litoměřic diplom „LITOMĚŘICE 750 LET“ s cílem seznámit radioamatérskou veřejnost s historií a současností tohoto města a oživit provoz na radioamatérských pásmech.

Diplom může získat každý čs. i zahraniční amatér-vysílač nebo posluchač, který v období od 1. 6. 1969 do 31. 8. 1969 naváže (odposlouchá) oboustranné spojení s 5 stanicemi litoměřické odbočky (pro zahraniční amatéry stačí spojení se 3 stanicemi) na všech amatérských pásmech libovolným druhem provozu.

Diplom bude udělen bezplatně na základě žádosti, která musí obsahovat výpis z deníku (datum, čas, pásmo a značka protistanice litoměřického člena odbočky CRA). Žádost musí být odeslána do 30. 9. 1969 na adresu: poštovní schránka 26, Litoměřice.

* * *

V roce 1967 bylo registrováno 1 913 typových znaků podle jednotného evropského značení elektronek, obrazovek a polovodičových prvků, které přiděluje sdružení Pro Electron – mezinárodní sdružení výrobců pro registraci a vydávání jednotných typových znaků a mezinárodní normalizaci těchto prvků. Pro Electron má nyní 40 členů v osmi evropských zemích (zatím není členem žádný výrobce ze socialistických zemí). Hlavními členy sdružení jsou firmy AEG-Telefunken, Philips, Intermetall, SGS-Fairchild, Siemens, SEL, Texas Instruments a Valvo. Předsedou sdružení je dr. G. Herrmann (AEG-Telefunken), jeho zástupcem C. G. de Klark (Philips), obchodním ředitelem J. Haantjes. Funkschau 18/68 SZ



V prvním čísle AR 1969 mne zaujal článek o anténách předzesilovačích. Můžete mi zaslat údaje cívek zesilovače Zlatokov AZ1 a AZ2? (L. Můžes, Tomsav, V. Vlach, Sedlec).

Cívky anténního předzesilovače Zlatokov AZ1 a AZ2 mají tyto údaje: L_1 a L_2 jsou vinuty bifilárně na \varnothing 5 mm drátem o \varnothing 0,6 mm CuP, šifka vinutí je 7 mm, počet závitů 2 x 4. Cívka L_3 má 6,5 (5,5) závitů drátu o \varnothing 0,8 mm; je navinuta na \varnothing 5 mm. Mezi závitů této cívky je navinuta cívka L_4 , která má 2 x 1,5 závitů (2 x 1 závit) drátu o \varnothing 0,4 mm CuP. Údaje v závorkách platí pro zesilovač AZ2.

V AR byly již několikrát otištěny různé hledače kovových předmětů. Můžete však uveřejnit schéma hledače, který by splňoval tyto požadavky: dobrá citlivost k co nejmenším předmětům, hloubkový průnik asi 1 až 1,5 m, dobré rozlišení hranic nebo obrysů hledaného předmětu, rozlišení kovů magnetických a nemagnetických? (V. Fišera, Jičín.)

Pokud jsou nám známy některé problémy těchto konstrukcí, můžeme Vám sdělit jen to, že tyto požadavky by vyhověly asi jediné ciziový magnetometru, přístroji, který se používá při výzkumech vesmíru. Běžné hledače kovových předmětů však tyto požadavky splnit nemohou.

Prosíme současně naše čtenáře, kteří mají zkušenosti se stavbou těchto přístrojů, aby je poskytli redakci k uveřejnění, neboť podobných dotazů a žádostí dostáváme velmi mnoho.

Bude někdy uveřejněn v AR konvertor na IV. a V. televizní pásmo? (J. Vaníček, Praha 9).

Konvertor na IV. a V. televizní pásmo uveřejníme v AR 7 nebo 8/69.

Můžete mi sdělit údaje výstupních transformátorů 2853602, 1P67624, 2AN67329, 2AN67304, 9WN67607 a ESA BV 10 W? (J. Mikulka, Olomouc).

Z těchto transformátorů Vám můžeme sdělit jen data transformátoru 9WN67607, ostatní jsou (podle označení) výpočetní typy z přílohačů nebo zesilovačů a jejich údaje se nám nepodařilo zjistit.

Transformátor 9WN67607 má primární vinutí 2 x 2 950 záv. drátu o \varnothing 0,18 mm, první sekundární vinutí 2 x 88 záv. drátu o \varnothing 0,67 mm a druhé sekundární vinutí 2 x 11 záv. drátu o \varnothing 0,67 mm. Každé z primárních vinutí má impedanci 4 000 Ω , paralelně zapojené cívky prvního sekundárního vinutí slouží k připojení reproduktoru o impedanci 4 Ω , obě paralelně zapojené cívky druhého vinutí v sérii slouží k připojení reproduktoru o impedanci 5 Ω .

Pokud byste se chtěli o výstupních transformátorech informovat podrobně, doporučujeme knihu L. Slezáka: Výstupní transformátory, která vyšla v roce 1964 v SNTL. V této knize jsou i údaje typizovaných výstupních transformátorů.

Došlo nám opět více dopisů od členů různých hudebních souborů se žádostmi o zapojení a plánky stavby tzv. „kvádek“. Protože nikdo z našich spolupracovníků nezná princip, na němž tyto přístroje pracují, obracíme se na naše čtenáře se žádostí, pokud to bude v jejich silách, aby nám laskavě sdělili, o jaký přístroj jde a popřípadě poskytl dokumentaci k uveřejnění.

M. Vančata, autor článku „Konvertor pro 92,5 až 103,5 MHz“ (AR 2/69) podává vysvětlení rozdílů mezi schématem konvertoru a zapojením podle nákreso plošných spojů: „... uvedené rozdíly (stínění tranzistoru přes kondenzátor a záměna konců výstupní cívky) nejsou na závadu činnosti konvertoru. K této rozdílnosti došlo při úpravě konvertoru podle pokynů lektora, kdy jsem se snažil zachovat koncepci původní desky při změně zapojení“.

V AR 3/69 v informaci o osciloskopu 10—17 (str. 107) se vyskytla ve schématu zapojení chyba — v anodovém přívodu elektronky E_{86} má být odpor 47 k Ω , který je druhým koncem připojen do společného bodu odporů 12 k Ω , 680 Ω a 15 k Ω . Prosíme čtenáře, aby si chybu opravili.

Protože se mnozí (přes naše několikrát opakované upozornění, že podobné dotazy zodpovídat nemůžeme) dotazy na možnost nákupu různých součástek a zařízení, sdělujeme znovu všem našim čtenářům, že všechny dotazy tohoto druhu předáváme pražským radioamatérským prodejnám; prosíme proto znovu — obraťte se se svými dotazy přímo na prodejny — redakce nemůže být prostředníkem mezi čtenáři a obchodem a velmi nás to časově zatěžuje.

Stejně upozorňujeme čtenáře, že v tomto čísle jsou naposledy uveřejněny odpovědi na žádosti o zaslání parametrů zahraničních tranzistorů. Náš spolupracovník, který na tyto žádosti odpovídal, pracuje nyní na katalogu tranzistorů, který jsme začali uveřejňovat v AR 4/69. Příprava materiálů

zabírá tolik času, že nemůže pro jednotlivce pracně vyhledávat žádané údaje; všechny tyto údaje budou kromě toho zařazeny i v katalogu.

Protože jsme v poslední době dostali i mnoho dotazů na kmitočty zahraničních vysílaců VKV, uveřejňujeme dnes tabulku vysílaců VKV našich sousedů — Rakouska (podle stavu v létě 1968).

Rakouské vysílání VKV

1. program (Ö1)

Gaisberg	90,8 MHz	100 kW
Jauerling	97,0 MHz	50 kW
Kahlenberg	91,9 MHz	50 kW
Lichtenberg	97,5 MHz	100 kW
Schöckel	91,2 MHz	100 kW

Národní okruh (Ö regional)

Gaisberg	94,8 MHz	100 kW
Jauerling	91,4 MHz	100 kW
Lichtenberg	95,2 MHz	100 kW
Schöckel	95,4 MHz	100 kW
Kahlenberg	97,9 MHz	50 kW

3. program (Ö3)

Gaisberg	99,0 MHz	100 kW
Jauerling	89,4 MHz	100 kW
Lichtenberg	88,8 MHz	100 kW
Schöckel	89,2 MHz	100 kW

K dotazu M. Švandy z Neslovice:

2N197 je germaniový tranzistor p-n-p malého výkonu pro nf zesilovače. Mezi údaje: napětí kolektor-báze 30 V, emitor-báze 6 V, proud kolektoru 30 mA, ztrátový výkon 100 mW. Charakteristické údaje: proudový zesilovací činitel 50 při napětí kolektoru 5 V, proudem emitoru 1 mA. Mezní kmitočet 0,7 MHz. Je to zastaralý typ. Můžete jej nahradit tranzistorem Tesla GC516 nebo GC517.

2N388 a 2N388A jsou germaniové tranzistory n-p-n pro vf zesilovače a spínací obvody. Mezi údaje: napětí kolektor-báze 25 V u 2N388, 40 V u 2N388A, proud kolektoru 200 mA, ztrátový výkon 150 mW. Charakteristické údaje: stejnosměrný proudový zesilovací činitel min. 60 při napětí kolektoru 0,5 V a proudem kolektoru 30 mA. Mezní kmitočet s uzemněnou bází 15 MHz, min. 5 MHz. Tranzistor 2N388 může nahradit typem Tesla 155NU70, 156NU70 nebo GS501 (všechny však mají menší přípustné napětí kolektoru).

2N597, 2N598 a 2N599 jsou germaniové slitinové tranzistory p-n-p, určené pro zesilovače se středně vysokým kmitočtem, spínací a počítací obvody. 2N597 je vhodný pro počítací obvody s kmitočtem 200 až 300 kHz, 2N598 v obvodech s kmitočty 300 až 400 kHz, 2N599 v obvodech s kmitočty vyššími než 1 MHz. 2N599 má navíc definovaný spínací čas: t_r max. 175 ns, t_s max. 1 000 ns, t_f max. 185 ns. Tyto tranzistory nemají ekvivalent mezi výrobky Tesla, pokud se použijí ke spínacím účelům. V nf obvodech je mohou nahradit typy řady GC. Ostatní údaje jsou v tabulce.

2N696, 2N697 jsou křemíkové planární tranzistory n-p-n s velkou spolehlivostí pro široké použití, především pro vf zesilovače, oscilátory a spínací obvody. Pracují od stejnosměrných proudů až do 30 MHz. Údaje jsou v tabulce. Kapacita kolektoru je max. 35 pF, saturační napětí báze max. 1,3 V, kolektoru max. 1,5 V při proudě kolektoru 150 mA, proudě báze 15 mA. Nahradit je může typ Tesla KF506.

2N2904 a 2N2905 jsou křemíkové epitaxně planární tranzistory p-n-p pro rychlé spínací obvody středního výkonu a pro vf zesilovače. Charakteristické pro tyto tranzistory je středně velké závěrné napětí kolektoru a poměrně malé saturační napětí báze i kolektoru. Výrobce zaručuje široký rozsah pracovního proudu kolektoru od 0,1 do 500 mA. Navzájem se liší jen velikostí zesilovacího činitele, který při napětí 10 V a proudě kolektoru 0,1, 1, 10, 150 a 500 mA je u 2N2904 min. 20, 25, 35, 40 až 120 a min. 20, u 2N2905 min. 35, 50, 75, 100 až 300 a min. 30. Spínací časy obou tranzistorů jsou stejné: t_d max. 10 ns, t_r max. 40 ns, t_s max. 80 ns, t_f max. 30 ns. Jsou v pouzdru TO-5 se třemi vývody v pořadí: E, B, C. S těmito tranzistory mají shodné vlastnosti další dva typy — 2N2906 a 2N2907. Jsou však v pouzdru TO-18. Náhrada je někdy možná typy Tesla KFY16 za 2N2904 a 2N2906, KFY18 za 2N2905 a 2N2907. Tranzistory Tesla však nemají definovaný spínací čas, mají podstatně nižší kmitočet (min. 50 MHz) a nejsou určeny pro spínací obvody.

BC109C je křemíkový tranzistor se zesilovacím činitelem 450 až 900. Jeho elektrické vlastnosti jsou naprosto shodné s tranzistorem Tesla KC509.

Údaje tranzistorů ST24Q a ST27Q se nám v dostupných pramenech hlavních výrobců nepodařilo zjistit. Znáte-li jejich výrobce, sdělte nám je.

Sovětské elektronky, na které se ptáte, jsou průmyslová provedení běžných elektroněk. I když údaje některých typů nejsou k dispozici, můžete použít údaje publikované v knize V. Stříže: Přehled elektroněk — Dodatek. U elektroněk 622-B platí údaje běžné subminiaturní pentody 622. Úplné údaje elektroněk 6C6-B a 6Z6A jsou ve zmíněné publikaci.

TT16-B je dvouanodový tyatron v ořezusvzdorném subminiaturním provedení. Zhaviví napětí 6,3 V, zhaviví proud 225 mA. Zápalné napětí max. 28 V, úbytek na zapáleném tyatronu max. 16 V. Zapalovací charakteristika je záporná. Při anodovém napětí 120 V a odporu v obvodu mřížky 0,1 M Ω je

kontrolní bod spouštěcí charakteristiky. —3 až —6 V. Mezi údaje: anodové napětí kladné i záporné 240 V, anodový proud střední 20 mA, špičkový 120 mA, napětí mezi katodou a žhavicím vláknem 100 V, odpor v obvodu mřížky 1 M Ω , teplota báňky max. 200 °C. Tento tyatron nemá žádnou obdobu mezi výrobky Tesla, ani mezi specializovanými výrobky RFT v NDR.

K dotazu Jiřího Bandoucha z Brna:

DD003 Lucas je křemíkový plošný usměrňovač v kovovém pouzdru s axiálními vývody a závěrným napětím 200 V. Je určen k usměrňování proudu do 0,5 A při teplotě pouzdra do +70 °C a do 0,1 A při teplotě do 100 °C. Špičkové snáší proudy až 25 A, proudové nárazy až 40 A. Rozsah provozních teplot —40 až +100 °C. Charakteristické údaje: úbytek napětí na diodě max. 1 V při proudě 1 A. Při teplotě +25 °C a závěrném napětí 200 V je závěrný proud max. 1 μ A, při teplotě +100 °C průměrně 10 μ A. Diodu nahradí typ Tesla KY703 nebo KY723.

BC116 SGS-Fairchild je křemíkový planární tranzistor n-p-n pro nf předzesilovací a budicí stupně a koncové zesilovače středního výkonu. Mezi údaje: napětí kolektor-báze 45 V, kolektor-emitor 40 V, emitor-báze 5 V, proud kolektoru 600 mA, teplota přechodu 125 °C, celkový ztrátový výkon 300 mW při teplotě okolí 25 °C, 800 mW při teplotě pouzdra 25 °C. Charakteristické údaje: při napětí kolektoru 1 V, proudě kolektoru 10 a 50 mA je stejnosměrný zesilovací činitel 100, min. 35. Při napětí 10 V a proudě 0,1 mA je zesilovací činitel 55, min. 20, při proudě 10 mA pak 105, min. 35 a při 150 mA je v rozmezí 40 až 120. Absolutní velikost zesilovacího činitele min. 2 je při napětí 10 V, proudě 30 mA a kmitočtu 100 MHz. Tranzistor má plastické pouzdro. Zapojení vývodů: emitor, báze, kolektor.

Údaje tranzistoru BC185 nebyly dosud publikovány, nemáme je k dispozici.

BF161 SGS-Fairchild je křemíkový planární tranzistor n-p-n pro vf zesilovače, oscilátory a řízené směšovače v pásmu VKV. Pracuje s napětím kolektoru 24 V a proudem 1,5 mA, kdy má stejnosměrný proudový zesilovací činitel 70, min. 20, šum 6,5 dB na kmitočtu 800 MHz a mezní kmitočet f_T = 550 MHz. Výkonové zesílení na tomto kmitočtu je 12 dB. Mezi údaje: napětí kolektoru typem báze i emitoru je 50 V, napětí emitor-báze 3 V, proud kolektoru 20 mA, celkový ztrátový výkon 175 mW při teplotě okolí 25 °C, 260 mW při teplotě pouzdra 25 °C. Teplota přechodu 175 °C. Pouzdro kovové TO-72 se čtyřmi vývody v pořadí: E, B, C, S.

BSX28 SGS-Fairchild je křemíkový epitaxně planární tranzistor n-p-n pro vf zesilovače, rychlé spínací a počítací obvody. Mezi údaje: napětí kolektor-báze 30 V, kolektor-emitor 12 V, emitor-báze 4,5 V, ztrátový výkon (celkový) 360 mW (při teplotě okolí 25 °C), 1 200 mW při teplotě pouzdra 25 °C. Teplota přechodu 200 °C. Charakteristické údaje: stejnosměrný proudový zesilovací činitel 30 až 120 při napětí kolektoru 0,35 V a proudě 10 mA; 70, min. 25 při 0,4 V a 30 mA; 50, min. 12 při 1 V a proudě 100 mA. Absolutní zesilovací činitel 6,5 (min. 4) při napětí 10 V, proudě 20 mA a kmitočtu 100 MHz. Mezní kmitočet f_T = prům. 650, min. 400 MHz. Spínací časy: t_d = 6,5, max. 13 ns (při proudě kolektoru a báze 10 mA), doba zapnutí 9, max. 15 ns, doba vypnutí 13, max. 20 ns (proud kolektoru 30 mA, proud báze ±3 mA). Pouzdro kovové TO-18, zapojení vývodů E, B, C.

2N2711 a 2N2712 jsou levné křemíkové planární tranzistory n-p-n pro osazování příjmačů pro příjem signálů AM a všeobecné použití. Pokračování řady jsou 2N2713 a 2N2714, které mají stejné vlastnosti, ale větší dovolený proud kolektoru — 200 mA. Údaje tranzistorů jsou v tabulce.

2N2368 a 2N2369 jsou křemíkové epitaxně planární tranzistory n-p-n pro velmi rychlé spínací obvody. Navzájem se odlišují jen zesilovacím činitelem, mezním kmitočtem a spínacími časy (údaje jsou v tabulce). Doba zapnutí je u obou typů max. 12 ns, doba vypnutí max. 15 a 18 ns, doba paměti max. 10 a 13 ns.

2N2786 je germaniový mesa tranzistor n-p-n se střední ztrátou kolektoru a vyšším mezním kmitočtem. Pracuje s provozním proudem kolektoru 100 mA. Hodí se proto pro vf zesilovače výkonu a oscilátory v pásmu VKV. Je to starší typ, který se již nevyrábí. Ostatní údaje jsou v tabulce.

2N3227 je křemíkový epitaxně planární tranzistor n-p-n pro rychlé spínací obvody. Spínací časy: t_d max. 5 ns, t_s max. 13 ns, t_f max. 15 ns. Kapacita kolektoru max. 4 pF. Ostatní údaje jsou v tabulce.

K dotazu K. Pikara z Klentí p. Č.:

TI XM05 až TI XM08 je série germaniových epitaxně planárních tranzistorů p-n-p s malým šumem a velkým zesílením, které jsou určeny k použití v obvodech VKV. Jsou v plastických pouzdrech malých rozměrů. Pro všechny typy platí tyto mezní údaje: napětí kolektor-báze 20 V, kolektor-emitor 10 V, emitor-báze 0,2 V. Proud kolektoru 30 mA, trvalý ztrátový výkon 75 mW (při teplotě okolí +25 °C), provozní teplota —55 až +100 °C.

TIXM05 má stejnosměrný proudový zesilovací činitel min. 20 při napětí kolektoru 10 V a proudu kolektoru 1,5 mA. Zesílení při stejných pracovních podmínkách na kmitočtu 200 MHz min. 7 dB, při napětí 2 V a proudu 6 mA se zesílení zmenší nejvýše o -8 dB. Mezní kmitočet f_T = min. 450 MHz. Vř. šumové číslo 2,8 až 3,3 dB na kmitočtu 200 MHz. Transistor je vhodný pro zesilovače VKV.

TIXM06 má stejnosměrný zesilovací činitel min. 20 při stejných podmínkách jako první typ, zesílení min. 18,5 dB na kmitočtu 45 MHz. Mezní kmitočet je min. 380 MHz. Vř. šumové číslo 3 až 4,5 dB na kmitočtu 200 MHz. Je vhodný jako směšovač pro VKV.

TIXM07 má stejnosměrný zesilovací činitel min. 10, vř. zesílení na kmitočtu 200 MHz min. 4 dB, mezní kmitočet min. 315 MHz. Používá se jako oscilátor VKV.

TIXM08 má stejnosměrný zesilovací činitel min. 20, zesílení na kmitočtu 45 MHz min. 18,5 dB, pokles zesílení při napětí 2 V a proudu 6 mA nejvýše o -2 dB. Mezní kmitočet min. 380 MHz. Použití jako obrazový mř. zesilovač.

Všechny čtyři tranzistory mají max. kapacitu kolektor-báze 1 pF, časovou konstantu max. 7,5, 10, 15 a 15 ps podle typu. Zapojení vývodů (zleva doprava): emitor, báze, kolektor. Tyto tranzistory mohou nahradit tranzistory Tesla: TIXM05, TIXM06 a TIXM07 typ GF507, TIXM08 typ GF505 nebo GF506.

1N914 je křemíková difúzní dioda pro rychlé spínací obvody s velkou spolehlivostí. Má max. závěrné napětí 75 V, usměrněný proud 10 mA při teplotě okolí +150 °C, špičkový proud max. 225 mA, proudový náraz 500 mA (po dobu 1 s), zráťový výkon 250 mW, teplota okolí při provozu -65 až +175 °C. Charakteristické údaje: přední proud min. 10 mA při kladném napětí 1 V, závěrný proud max. 50 µA při napětí 20 V a teplotě okolí +150 °C. Doba zotavení max. 4 ns (při proudu 10 mA v obou směrech). Tuto diodu může nahradit typ Tesla KA205 nebo KA206. První má menší, druhý větší závěrné napětí.

AA119 je celoskleněná germaniová hrotová dioda pro usměrňovací obvody. Má max. závěrné napětí 30 V, špičkové 45 V, max. usměrněný proud 35 mA při nulovém závěrném napětí a max. 10 mA při maximálním závěrném napětí. Špičkové snáší proud max. 100 mA, proudový náraz 200 mA. Charakteristické údaje: při proudu 30 mA je přední kladné napětí 2,8, max. 4 V. Závěrný proud 90, max. 350 µA při závěrném napětí 45 V. Diodu nahradí dioda Tesla GA202.

K dotazu Zbyňka Dupala z Ostravy - Poruby:

D226 je křemíková slitinová dioda v kovovém pouzdru, určená pro usměrňovací obvody s proudem do 300 mA. Má maximální závěrné napětí 400 V a pracuje v teplotním rozsahu okolí -60 až +125 °C. Charakteristické údaje: úbytek napětí

na diodě max. 1 V při proudu 300 mA. Závěrný proud max. 30 µA při závěrném napětí 400 V a teplotě 20 až 60 °C, max. 100 µA při teplotě +80 °C. Tuto diodu plně nahradí běžný typ Tesla KY704.

K dotazu Jindřicha Sůry z Ústí n. L.:

Tranzistor RF39, který se prodává za velmi nízkou cenu v různých radiotechnických obchodech v NSR, není značkové zboží. Označení „E“ na tranzistoru udává jen firmu prodejního podniku. V zásadě jde o výmětný tranzistor AF239 nebo AF139 výrobce, který tyto tranzistory nechce již prodávat pod svým označením. Tranzistory nesplňují především vysokofrekvenční nebo vř. šumové vlastnosti tak, jak je požadují výrobci kanálových voličů a udávají výrobci tranzistorů ve svých katalogích. Přitom stejnosměrný zesilovací činitel a ostatní vlastnosti mohou být velmi dobré. Prodávající neoznačuje u jednotlivých kusů vady jmenovitě; ty se mohou kus od kusu lišit. O nepoužitelnosti pro průmyslové zpracování svědčí i nízká cena 2 DM, za kterou se značkové zboží nedá koupit. Jinak při podobných nákupech doporučujeme: žádejte se zboží označení vady tranzistoru - v mnoha případech prodávající vady znají. U zakoupeného kusu byste zjistili vady jen v měřicím parametru y a měřicím šumu. Dá se předpokládat, že mezní kmitočet bude podle katalogových údajů. Pokud nemáte speciální měřiče, vyzkoušejte tranzistor v praktickém zapojení.

Typ	Druh	Po- užití	I_{CB} max [µA]	U_{CB} [V]	U_{CE} [V]	I_C [mA]	h_{FE}	f_{β} [MHz]	T_a [°C]	P_{tot} max [mW]	U_{CB} max [V]	U_{CE} max [V]	U_{EB} max [V]	I_C max [mA]	T_j max [°C]	Pouzdro	Výrobce	Pa- tice
2N597	Gj p	NF, Sp	8	15	1	100	>40	>3*	25	250	45	40	45		100	TO-5	Gen. Istr.	2
2N598	Gj p	NF, Sp	8	15	1	100	70-225	>6,5*	25	250	35	35	30		100	TO-5	GI	2
2N599	Gj p	VF, Sp	8	15	1	100	>100	>12*	25	250	30	20	20		100	TO-5	GI	2
2N696	SP n	VF, Sp	1	30	10	10	20-60	>40	25	600	60	40	5		175	TO-5	TI	2
2N697	SP n	VF, Sp	1	30	10	10	40-120	>50	25	600	60	40	5		175	TO-5	TI	2
2N2368	SPE n	Spr	0,4	20	1	10	20-60	>400	25	360	40	15	4,5	500	200	TO-18	Mot, TI	2
2N2369	SPE n	Spr	0,4	20	1	10	40-120	>500	25	360	40	15	4,5	500	200	TO-18	Mot, TI	2
2N2711	SP n	NF, VF	0,5	18	4,5	2	30-90	120	25	200	18	18	5	100	100	TO-98	GE, Spr	16
2N2712	SP n	NF, VF	0,5	18	4,5	2	75-225	120	25	200	18	18	5	100	100	TO-98	GE, Spr	16
2N2713	SP n	NF	0,5	18	4,5	2	30-90	120	25	200	18	18	5	200	150	TO-98	GE, Spr	16
2N2714	SP n	NF	0,5	18	4,5	2	75-225	120	25	200	18	18	5	200	150	TO-98	GE, Spr	16
2N2786	GM p	VF, vkv	10	35	2	100	>33	225	25	260	35	20	0,5	150		TO-39	P	2
2N2904	SPE p	Sp, VF	0,02	50	10	150	40-120	>200	25	600	60	40	5	600	200	TO-5	TI	2
2N2905	SPE p	Sp, VF	0,02	50	10	150	100-300	>200	25	600	60	40	5	600	200	TO-5	TI	2
2N3227	SPE n	Sp, VF	0,2	40	1	10	100-300	>500	25	360	40	20	6	200	200	TO-18	Mot, Ray	2

? Jak na to AR'69

Tranzistorová pojistka

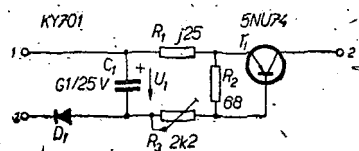
Zapojení na obr. 1 je možné použít k ochraně stabilizovaných zdrojů stejnosměrného napětí před zkratem. Tato pojistka je zvláště vhodná pro dodatečně vestavění do zdroje.

Princip činnosti je zřejmý z obr. 2. Při zkratu na výstupu se plně napětí zdroje objeví na tranzistoru T_1 . Zkratový proud je omezen stupněm vybuzení T_1 :

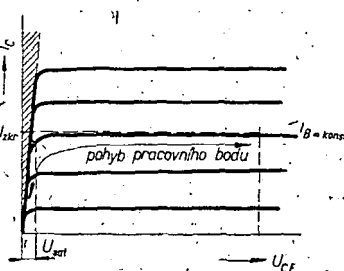
$$I_B = \frac{U_1}{R_B}; I_{Zkr} = I_{B21e}; P_C = U_B I_{Zkr}.$$

Proud I_{Zkr} se dá nastavit v širokých mezích odporem R_B (na schématu označen jako R_3). Úbytek napětí U_{sat} není na závadu, je totiž vyrovnán stabilizátorem, v jehož smyčce je pojistka zapojena (obráz. 3).

Pojistka byla použita ve zdroji 6 až



Obr. 1. Zapojení tranzistorové pojistky

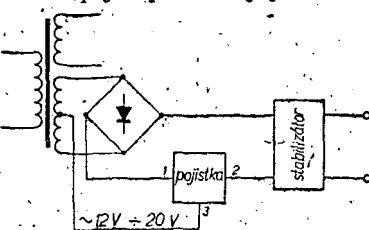


Obr. 2. Princip činnosti tranzistorové pojistky

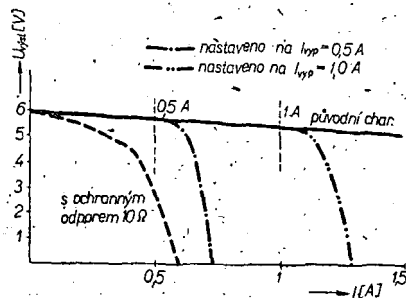
24 V/1 A, který musel být původně chráněn odporem 10 Ω. Naměřené charakteristiky původního a upraveného zapojení jsou na grafu (obráz. 4).

Celá pojistka se dá vestavět na malou destičku s plošnými spoji. Tranzistor T_1 musí mít chladič odpovídající jeho ztrátovému výkonu a je proto v tomto případě umístěn odděleně.

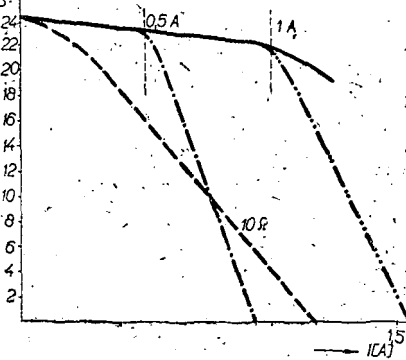
Celé zapojení představuje jednu z nej-



Obr. 3. Zapojení pojistky do obvodu zdroje



Obr. 4. Zatěžovací charakteristika zdroje 2 x 24 V



Obr. 4. Zatěžovací charakteristika zdroje 2 x 24 V

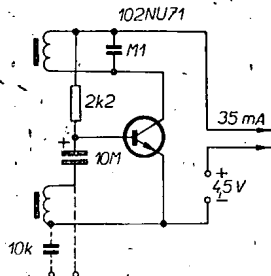
jednodušších ochrann tranzistorových zdrojů. Přes svoji jednoduchost vykazuje pozoruhodné výsledky doložené opakovaným měřením.

P. L.

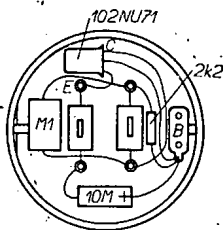
Tranzistorový bzučák

Ke kontrole odporu obvodů do 200 Ω lze s výhodou použít tranzistorový bzučák. Nf napětí z něj je možné použít i ke zkoušení nf zesilovačů.

Tranzistorový bzučák (obr. 1) je v podstatě oscilátor s indukční vazbou mezi kolektorovým obvodem a bází. Ke konstrukci se hodí stejně tranzistory n-p-n i p-n-p, je ovšem třeba dodržet správnou polaritu. Paralelně ke kolektorové cívce je připojen kondenzátor 0,1 μ F, aby se kmitočet přiblížil rezonančnímu kmitočtu membrány. Tím



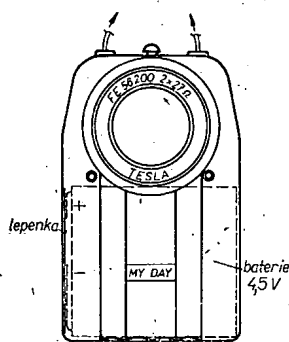
Obr. 1. Schéma zapojení bzučáku



Obr. 2. Úprava telefonní vložky

dostaneme při malé spotřebě silný signál. Aby se kondenzátor vešel do telefonní vložky (Tesla 2 x 27 Ω), spilujeme jeho boky do čtverce. Vývody cívky přestříháme, opatrně odizolujeme a připájíme na připravený tlustý měděný drát. Zadní kontakt na vložce odstraníme a do takto vzniklého prostoru vložíme izolační destičku tloušťky asi 1 mm. Obě destičky poblíž cívky (obr. 2) provrtáme a snýtujeme dutými nýtky. Otvary provlékneme měděný drát tak, aby po obou stranách přecházel asi 4 mm, a připájíme jej k nýtkům. Tím dostaneme čtyři izolované podpěry; jako pátá slouží pájecí špička na tělese vložky. Na tyto podpěry připájíme uvnitř vložky všechny součástky. (Při chybné pólování cívky oscilátor nebude kmitat.) Membránu nastavíme co nejbližší k pólovým nastavcům, ale tak, aby nedrhněla.

Celek je vestavěn do pouzdra svítilny na ploché baterie (MY DAY) – obr. 3. Odstraníme reflektor a dutým nýt看kem přichytíme závěsný drát. Odejmem



Obr. 3. Celkové uspořádání

ké boční spinač. Telefonní vložku dáme místo reflektoru a jazyčky opět přihneme, čímž je vložka zajištěna proti vypadnutí. Uvnitř pouzdra na levé straně je nalepen proužek lepenky, aby se kontakty baterie nedotýkaly kovové stěny. Baterie je zasunuta nalcžato (původní poloze brání telefonní vložka). Napájecí přívody připájíme na plíšky baterie. Kryt je nahoře opatřen dvěma otvory pro pryžové průchodky. Kabel, který jimi prochází, je proti vytržení zajištěn uzlíkem.

Chceme-li bzučák použít ke zkoušení nf zesilovačů, vyvedeme nf signál přes kondenzátor asi 10 nF na izolované zdířky na čele pouzdra. Membránu lze přidržit prstem na pólových nastavcích nebo ji něčím zatížit, aby tón bzučáku nerušil. Protože výstup má malou impedanci, není třeba vodiče stínit.

J. Vosáhlo

Povrchová úprava

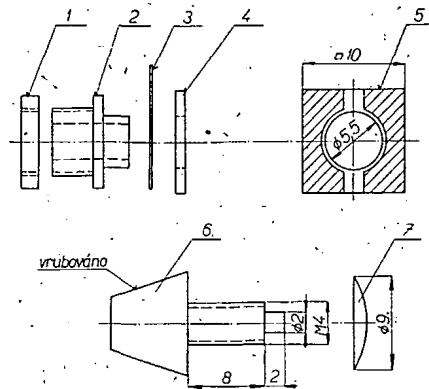
Mnozí radioamatéři stojí při stavbě svých zařízení před problémem, jak dát svým výrobkům solidní vzhled. Ani nejvyšší výrobek s velmi dobrými technickými vlastnostmi nebudí totiž důvěru bez dokonalého estetického vzhledu. Kovové součástky lze však i v domácích podmínkách povrchově upravovat bez velkých obtíží. Na eloxování dílů ze slitin hliníku bylo již uveřejněno mnoho návodů. Nyní je již také možné podomácku niklovat součástky bezproudovou metodou. Nejobtížnější je však povrchová úprava větších ploch. Proto bych chtěl tímto příspěvkem pomoci amatérům právě v této oblasti.

Lakovou povrchovou úpravu panelů, skříní apod. lze nahradit velmi jednoduchým způsobem – v poslední době se v několika pražských prodejnách textilu (a nepochybně i v jiných městech) prodává samolepící tapeta D-C-FIX. Tento materiál, který je do ČSSR dovozen, je všestranně použitelný. Lze jej koupit v nejrůznějších barvách v šířkách 45 a 90 cm. Pro ochranu např. panelů přístrojů, základních panelů gramofonů apod. se výborně hodí zejména v černé, šedé a hliníkové barvě. Na dřevěné skřínky je možné použít samolepící fólii s kresbou přírodního dřeva nebo i jiných dřev. Práce se samolepící fólií je velmi jednoduchá a časově nenáročná. Na rovný kovový, dřevěný nebo jiný podklad (rádně očištěný a odmaštěný) se postupně přikládá samolepící fólie, z níž se předtím odstraní rubový ochranný podklad. Fólie se uhladí rukou, aby dokonale přilnula. Díky malé tloušťce přiléhá i na bočních hranách. Fólii je možné použít i ke zlepšení vzhledu některých součástí, např. ovládacích knoflíků vlastní výroby. Na čelní stěně knoflíku vytvoříme mělkou prohlubeň a vyplníme ji kolečkem ze samolepící fólie, které vysekáme vysekačem na kůži. Fólie je výborně omyvatelná, má sametově lesklý povrch a při vhodné volbě barevných kombinací přispívá k dokonalému vzhledu amatérských výrobků.

Bohumil Vodička

Přepínač SV-DV pro tranzistorový přijímač

O problému úpravy tranzistorových přijímačů pro příjem DV se již několikrát psalo. Přesto jsou na toto téma stále dotazy. Protože největším problémem je opatření dostatečně malého přepínače, předkládám řešení, které umožní příjem jedné stanice v rozsahu DV.



Pokud oželíme příjem na sluchátko, je úprava jednoduchá. Konektor pro připojení sluchátka 2 rozebereme a zadní část, kde byly nanýtovaly kontakty, zkrátíme asi na 3 mm. Z cuprexitu uřízneme destičku 10 x 10 mm (4) a vyleptáme ji podle obrázku (5). Na konektor 2 nasadíme pájecí očko 3, které získáme z rozebraného konektoru, na ně destičku 4 a konektor opět opatrně roznýtujeme tak, aby nebyly zkratovány polepy. Do konektoru vyřízneme závit M4. Protože otvor konektoru má \varnothing 3,5 mm, řežeme opatrně.

Zbývá zhotovit šroub 6. Kdo nemá možnost vyrobit jej z jednoho kusu na soustruhu, může použít běžný šroub M4 (nejlépe mosazný) a na konec upevnit vhodný knoflík. Rozměry si každý upravit podle potřeby.

Sestavenou pozici 2 vložíme zpět do přijímače a přitáhneme maticí 1. Pak zašroubujeme šroub 6 a na jeho osazený konec nasadíme podložku 7. Ta je vyrobena z tenkého pružného plechu, nejlépe fosforbronzového. Měla by být prohnutá, jak je naznačeno, nutné to však není. Osazení šroubu 6 roznýtujeme tak, aby se podložka 7 mohla volně naklánět.

Při šroubování směrem ven spojí podložka 7 polepy, při zašroubování dovnitř je rozpojí. Stačí pootočit šroubem o jeden až dva závity.

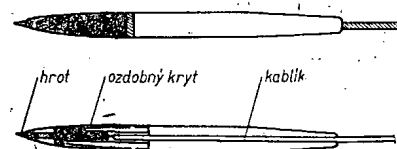
Na pájecí očko 3 zapojíme zem, na jeden polep přes paralelní kondenzátor ladící kondenzátor vstupu, na druhý opět přes kondenzátor oscilátor. Kapacitu obou kondenzátorů musíme vyzkoušet. Pro příjem Československa I na přijímači Doris bývá na vstupu 490 pF, na oscilátoru 90 až 100 pF.

Zdeněk Deněš

Jednoduché hroty

Jednoduché a levné hroty vyrobíme z kousku měděné nebo mosazné kulatiny o průřezu 2 mm a tužky z plastické hmoty. Tužku na horním konci provrtáme, kovovou tyčku zabrousíme do špičky a na její druhý konec připájíme kablík. Nakonec provlékneme kulatinu i s kablíkem do špičky tužky a zašroubujeme kryt.

Stanislav Hlava

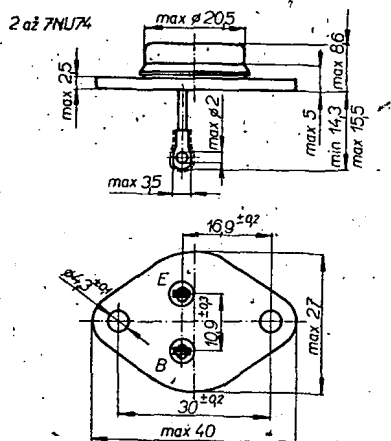


Nové součástky

Výkonové tranzistory Tesla 2NU74 až 7NU74

Použití. – Tranzistory Tesla 2NU74 až 7NU74 jsou výkonové germaniové tranzistory n-p-n s kolektorovou ztrátou 50 W, určené k použití ve spínacích obvodech a nf zesilovačích tříd A nebo B.

Provedení. – Tranzistory jsou v kovovém pouzdře (obr. 1). Vývody emitoru a báze procházejí skleněnými průchodkami. Kolektor je vodivě spojen s pouzdrem.



Obr. 1. Vnější rozměry a zapojení vývodů tranzistorů řady NU74

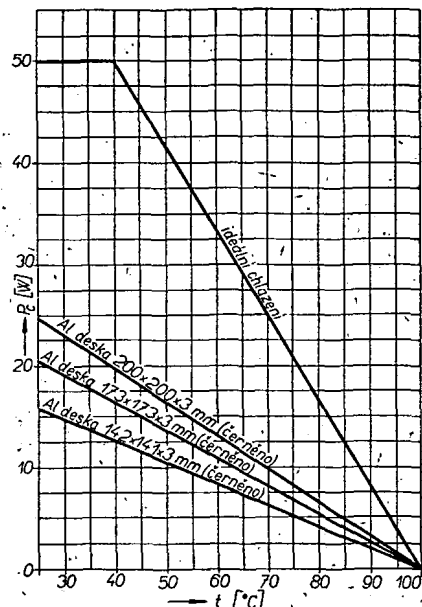
Charakteristické údaje

	2NU74 3NU74*	4NU74 5NU74*	6NU74 7NU74*	Měřeno při
Proud kolektoru				
— I_{CB0} [mA]	< 1	< 1	< 1	— $U_{CB} = 6$ V
— I_{CB0} [mA]	< 50	< 50	< 50	— $U_{CB} = 6$ V, 100 °C
Napětí kolektor-emitor — U_{CE} [V]	> 32	> 48	> 70	— $I_C = 20$ mA — $R_{BE} = 30 \Omega$
Napětí báze U_{BE} [V]	< 1,5	< 1,5	< 1,5	$I_E = 10$ A $U_{CB} = 0$
Činitel β_{1E}	20 až 60 50 až 130*	20 až 60 50 až 130*	20 až 60 50 až 130*	$I_E = 10$ A — $U_{CB} = 0$ V
Mezní kmitočet f_T [MHz]	> 0,15	> 0,15	> 0,15	— $U_{CB} = 6$ V $I_E = 1$ A

Mezní údaje

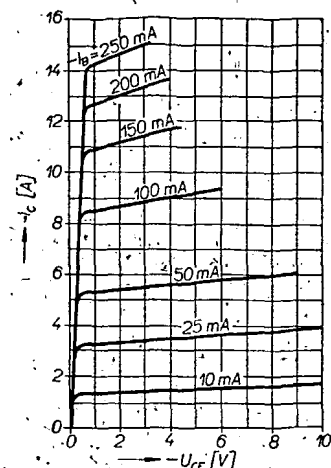
	2NU74 3NU74	4NU74 5NU74	6NU74 7NU74
Napětí kolektoru — U_{CB} [V]	50	60	90
Napětí kolektoru — U_{CE} [V]	32	48	70
Napětí emitoru — U_{EB} [V]	10	15	15
Proud kolektoru — I_C	15 A		
Proud emitoru I_E	16,5 A		
Proud báze — I_B	1,5 A		
Kolektorová ztráta P_C (obr. 2)	50 W		
Teplota přechodu T_j	100 °C		

Nejdůležitější závislosti jednotlivých veličin tranzistorů řady NU74 jsou na obr. 2, 3 a 4.



Obr. 2. Závislost mezního ztrátového výkonu tranzistorů řady NU74 na teplotě pouzdra

Ceny (platné ke dni 30. 3. 1969): 2NU74 – 130,—, 3NU74 – 180,—, 4NU74 – 140,—, 5NU74 – 205,—, 6NU74 – 160,—, 7NU74 – 225,— Kčs. Pro srovnání uvádíme ještě ceny křemíkových výkonových tranzistorů, platné ke stejnému datu: KU601 – 120,—, KU602 – 156,—, KU605 – 467,—, KU606 – 373,—, KU607 – 510,— Kčs. Pro srovnání: v NSR stojí výkonový



Obr. 4. Proud kolektoru I_C tranzistorů 3NU74, 5NU74 a 7NU74 v závislosti na napětí U_{CE}

křemíkový tranzistor pro všeobecné použití s kolektorovou ztrátou asi 110 W (typ 2N3055) 12 DM!

Plošný fotoodpor WK650 36

Použití. – Použití je velmi široké; hodi se např. pro samočinné ovládání osvětlení, indikaci poloh ukazatele měřicích přístrojů, řízení expozice snímacích kamer, ochranné zařízení k různým strojům, automatická zařízení jako čidlo (např. při měření výšky hladiny tekutiny v nádržích apod.).

Provedení. – Fotoodpor je zhotoven ze sintrovaného sirníku kadmennatého a je hermeticky uzavřen do elektronkové novalové baňky (délka baňky i s kolíky 60 mm, průměr 22 mm).

Základní údaje

Napětí: max. 350 V.
Proud: max. 80 mA.
Zatížení: max. 1 W.
Teplotní součinitel: < 2 % (při 100 lx).
Odpor při osvětlení $E = 100$ lx: 400 až 2 800 Ω .
Odpor za temna (30 min. po zatmění): > 10⁶ Ω .
Tyto údaje platí pro teplotu okolí +25 °C.
Výrobce: Tesla Blatná.

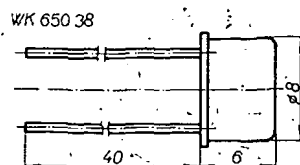
Plošný fotoodpor WK650 38

Použití. – Použití je stejné jako u typu WK650 36.

Provedení. – Fotoodpor je zhotoven ze sintrovaného sirníku kadmennatého a je hermeticky uzavřen v kovovém pouzdru, opatřeném na čelní straně skleněným okénkem. Rozměry pouzdra jsou na obrázku.

Základní údaje

Napětí: max. 10 V.
Proud: max. 3 mA.
Zatížení: max. 30 mW.
Teplotní součinitel: 1,5 % (při 100 lx).
Odpor při 100 lx: 400 až 2 500 Ω .
Odpor za temna (30 min. po zatmění): > 10⁶ Ω .
Tyto údaje platí pro teplotu +25 °C.
Výrobce: Tesla Blatná.

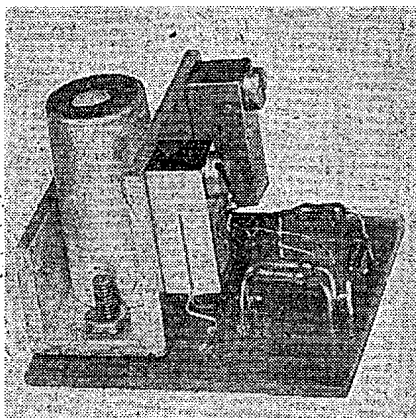


Obr. 3. Plošný fotoodpor WK650 38

STAVEBNICE *mladého* radioamatéra

Při zahájení tohoto seriálu jsme slíbili, že asi v polovině roku uveřejníme návod k mechanickému spojování jednotlivých modulů, tj. popis mechanické části této stavebnice. Protože se však snažíme ve spolupráci s radioklubem Smaragd zajistit výrobu jednotlivých mechanických dílů, popřípadě i malých skříněk pro sestavené přístroje, a chtěli bychom, aby tyto díly byly k dostání současně s uveřejněným návodem, bude mechanická část stavebnice popsána až v příštím čísle.

Mezi mnoha ohlasy na „Stavebnici mladého radioamatéra“ se vyskytlo více žádostí o doplnění stavebnice takovými moduly, které by umožnily stavbu dobrého nízkofrekvenčního zesilovače pro monofonní, popřípadě i stereofonní reprodukci. Vyhovujeme těmto zájemcům a uveřejňujeme návod ke stavbě modulů MNF4 (nízkofrekvenční koncový zesilovač s výkonem asi 1 W) a MPK1 (proměnný korektor k regulaci hloubek a výšek).

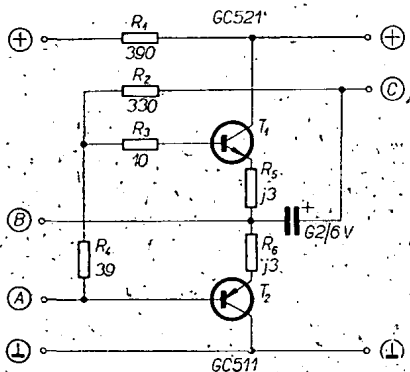


Obr. 4. Modul MNF4

Koncový nízkofrekvenční zesilovač MNF4

Zapojení a funkce

Zesilovač je prakticky obdobou zapojení MNF2; rozdíl je jen v použití koncových tranzistorů s větší kolektorovou ztrátou (obr. 1). Funkce tohoto zapojení byla již mnohokrát popsána a nebudeme ji tedy opakovat; jenom znovu upozorníme, že velikost odporu R_4 je vhodné vyzkoušet vzhledem k nejmenšímu přechodovému zkreslení. Odpory 0,3 Ω v emitorech obou tranzistorů slouží jen jako jejich ochrana proti překročení maximálního dovoleného kolektorového proudu. Reproduktor je připojen přes elektrolytický kondenzátor 200 μ F. Pro lepší přenos nižších kmitočtů by byla vhodnější větší kapacita; protože však v sortimentu našich součástek není kondenzátor větší kapacity

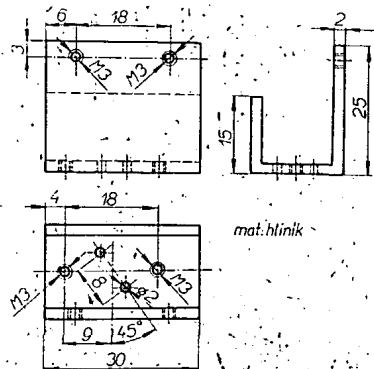


Obr. 1. Koncový nízkofrekvenční zesilovač MNF4

v rozumných rozměrech, musíme se spokojit s velikostí 200 μ F nebo připojit zvláštní modul s několika těmito kondenzátory spojenými paralelně (s celkovou kapacitou 600 až 1 000 μ F).

Použití součástky

V zesilovači se používá komplementární dvojice tranzistorů GC511 a GC521 s kolektorovou ztrátou 1 W (každý tranzistor). Při napájecím napětí 9 V nevyužijeme maximální kolektorové ztráty – výkon zesilovače je asi 1 W. Odpory R_1 až R_4 jsou miniaturní 0,05 W, odpory R_5 a R_6 jsme realizovali krátkým kouskem odporového drátu; můžeme jej připojit přímo do vyvrtaných otvorů v destičce nebo navinout na jakýkoli miniaturní odpor. Elektrolytický kondenzátor je typu TC 941 na 6 V. Tranzistory jsou přišroubovány šrouby M3 k úhelníku



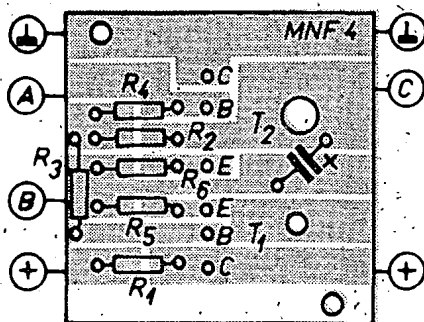
Obr. 2. Úhelník pro upevnění tranzistorů

(obr. 2). Elektrolytický kondenzátor je připojen do destičky přes úhelník, v němž jsou vyvrtány dva větší otvory (aby kondenzátor nebyl zkratován). Všechny tyto součástky jsou umístěny na destičce s plošnými spoji Smaragd MNF4 (obr. 3, 4).

Uvádění do chodu a použití

Stejně jako modul MNF2 je i modul MNF4 určen k připojení za nízkofrekvenční zesilovač MNF1 (obr. 5). U modulu MNF1 opět odpojíme odpory R_4 a R_6 . Protože modul MNF4 je napájen napětím 9 V, nepřipojujeme napájecí vývod MNF1 (E) přímo na zdroj, ale k bližšímu vývodu + modulu MNF4 (modul MNF1 je pak napájen přes odpor R_1 390 Ω). Trimrem R_3 v modulu MNF1 nastavíme maximální zesílení při minimálním zkreslení a vhodnou volbou velikosti R_4 v modulu MNF4 nastavíme minimální přechodové zkreslení a malý klidový odběr.

Tato dvojice modulů tvoří poměrně kvalitní nízkofrekvenční zesilovač, který výkonem ve většině případů vyhoví pro domácí poslech gramofonových desek.



Obr. 3. Rozmístění součástek na destičce Smaragd MNF4

Lze jej samozřejmě použít i jako nf zesilovač k radiopřijímači, magnetofonu ap. Ve spojení s dalšími moduly bude použit v jednoduchém stereofonním zesilovači, který bude ve stavebnici popsán.

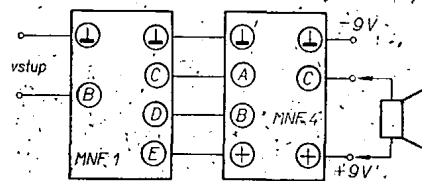
Rozpiska součástek

Komplementární tranzistory GC511 a GC521 (lze použít i GC510 a GC520)	1 pár
Elektrolytický kondenzátor 200M/6 V, TC941	1 ks
Odpor 10/0,05 W	1 ks
Odpor 39/0,05 W	1 ks
Odpor 330/0,05 W	1 ks
Odpor 390/0,05 W	1 ks
Úhelník	1 ks
Destička s plošnými spoji Smaragd MNF4	1 ks
Kousek odporového drátu, 4 šrouby M3 x 10	

Proměnný korektor MPK1

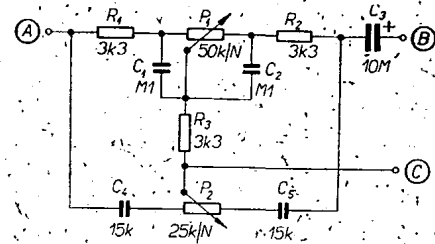
Zapojení a funkce

Korektor MPK1 je zapojen jako zpětnovazební podle obr. 6. Ve střední

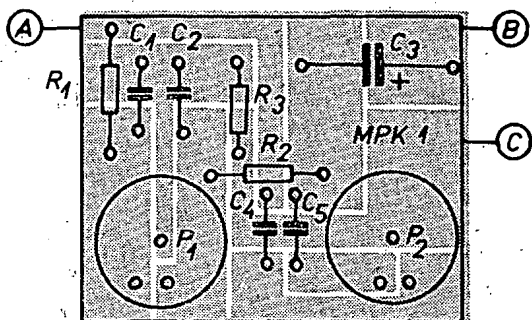


Obr. 5. Spojení modulů MNF1 a MNF4

poloze obou potenciometrů P_1 a P_2 jsou časové konstanty obou polovin korektoru přibližně stejné a jimi vytvořené děliče působí tedy jen kmitočtově nezávislý útlum ve větvi zpětné vazby. Otočíme-li běžecem potenciometru P_1 doleva, zeslabuje se zpětná vazba na nízkých kmitočtech a tím se zvětšuje zesílení pro tyto kmitočty (zdůrazňujeme tedy basy). Otočením P_1 doprava se zpětná vazba zvětšuje – zeslabují se nízké kmitočty. Podobnou funkci má i potenciometr P_2 , jímž se ovládá zesílení pro vysoké kmitočty.



Obr. 6. Proměnný korektor MPK1

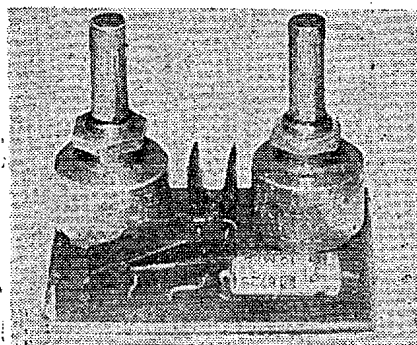


Obr. 7. Rozmístění součástek na destičce Smaragd MPK1

Odpor R_3 odděluje oba obvody navzájem. Korektorem můžeme basy i výšky zdůraznit asi o 12 dB a potlačit asi o 15 dB.

Použité součástky

K regulaci hloubek a výšek slouží miniaturní potenciometry P_1 a P_2 . Modul MPK1 je upraven poněkud jinak než všechny dosavadní. Nepočítá se s obvyklým upevněním za okraje, ale prostřednictvím na něm umístěných potenciometrů. Proto musí být použité ploché keramické kondenzátory 0,1 μ F (C_1 a C_2) položeny, aby nepřechní-

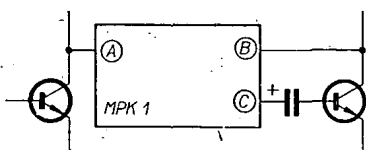


Obr. 8. Modul MPK1

valy přes tělesa potenciometrů. Také kondenzátory C_4 a C_5 jsou ploché keramické, zatímco C_3 je elektrolytický kondenzátor s vývody v ose (kvůli výšce). Všechny součástky jsou umístěny na destičce s plošnými spoji Smaragd MPK1 (obr. 7, 8).

Uvádění do chodu a použití

Protože jde o pasivní obvod, je otázka uvádění do chodu velmi jednoduchá. Při použití dobrých součástek a jejich správném zapojení korektor funguje a není na něm co nastavovat. Připojuje se mezi dva tranzistorové zesí-



Obr. 9. Připojení modulu MPK1 mezi dva tranzistorové stupně

Při cejchování měřicích přístrojů, nastavování relé nebo měření a zkoušení elektronek potřebujeme jemně a přesně nastavovat napětí zdroje. Jedním potenciometrem nelze tento úkol zvládnout, neboť regulace není dost jemná a kromě toho není potenciometr vyhovujících rozměrů pro potřebná zatížení na trhu.

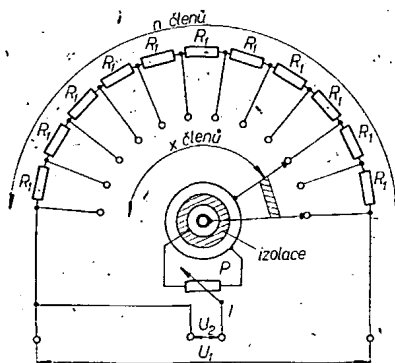
Je proto vhodné použít stupňovitý „potenciometr“ s n stupni o odporu R_1 , který doplníme plynule nastavitelným potenciometrem P , jímž řídíme jen menší interval napětí $U_1/(n-1)$, daný úpravou stupňovitého „potenciometru“.

Stupňovitý potenciometr se skládá z vhodného počtu stejných pevných odporů R_1 , jejichž vývody jsou vyvedeny na kontakty zvláštního přepínače (obr. 1) nebo na zdířky s roztečí asi 10 mm (obr. 2). Potenciometr P je běžný otočný drátový potenciometr; jeho vývody jsou připojeny vždy paralelně ke dvěma odporům R_1 přepínačem nebo zasunutím dvojité zástrčky do dvojice zdířek, tedy opět paralelně ke dvěma odporům R_1 (obr. 2).

Je-li $P = 2R_1$, lze plynule řídit napětí v mezích intervalu $U_1/(n-1)$ a stupňovitě po jednotlivých stupních. Rozsahy regulovaného napětí se musí stýkat. Většinou se však požaduje, aby se rozsahy překrývaly, proto volíme odpor P o něco větší než $2R_1$.

Je-li $P = (1 + k)2R_1$, překrývají se rozsahy přibližně o $k/2$.

Napětí z potenciometru je málo závislé (tvrdé) na odebraném proudu jen tehdy, je-li proud protékající potenciometrem mnohem větší než proud odebraný z běže. Podle toho musíme volit odpor $(n-1)R_1$. Potenciometr používáme tedy zpravidla pro nepatrné odběry proudu, takže R_1 je pak pro běžná napětí řádu tisíců Ω . Potenciometr bude mít přibližně dvojnásobný odpor.



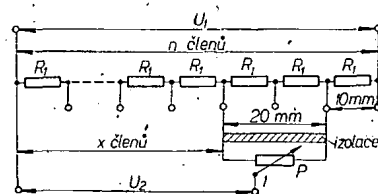
Obr. 1. Dělič s přepínačem

lovací stupně podle obr. 9. Můžete jej připojit do jakéhokoli tranzistorového zesilovače. Bude použit i ve slíbeném jednoduchém tranzistorovém stereofonním zesilovači.

Rozpiska součástek

Miniaturní potenciometr 25k/N	1 ks
Miniaturní potenciometr 50k/N	1 ks
Odpor 3k3/0,05 W	3 ks
Elektrolytický kondenzátor 10M/6 V	1 ks
Keramický kondenzátor (plochý) M1/40 V	2 ks
Keramický kondenzátor (plochý) 15k/40 V	2 ks
Destička s plošnými spoji Smaragd MPK1	1 ks

JEDNODUCHÝ DĚLIČ NAPĚTÍ



Obr. 2. Dělič se zdířkami

Je-li odběr potenciometru jediným zatížením, tj. neodebíráme-li z děliče napětí žádný proud, je výkon proměněný v teplo ve stupňovitém děliči $P = U_1^2 / ((n-1)R_1)$. Výkon na děliči P je dán vztahem

$$P_D = \frac{U_1^2}{2R_1(n-1)}$$

Výkon děliče P je tedy $2(n-1)$ krát menší než výkon celkový. Z toho je zřejmé, že i při značně zatíženém děliči a tvrdém napětí potřebujeme regulovatelný dělič s mnohem menším přípustným výkonem než je celkový výkon.

Příklad. — Napětí 300 V chceme rozdělit děličem s 11 členy pro celkovou spotřebu 100 mA. Celkový výkon (spotřeba) děliče je 30 W. Na jeden odpor tedy připadne 3 W. Odpor jednoho členu je 300 Ω . Pro otočný potenciometr 600 Ω ($= 2R_1$) potřebujeme v tomto případě jen typ s dovoleným zatížením $30/2(11-1) = 1,5$ W. Při zatížení potenciometru odběrem proudu bude ztracený výkon na něm poněkud větší, zpravidla však zůstane pod 2 W.

Jak již bylo uvedeno, hodí se tato úprava děliče především pro zkoušeče elektronek (snadno nastavitelné mřížkové předpětí a napětí stinících mřížek), kdy na jeden stupňovitý dělič můžeme připojit několik souprav otočných kontaktů a odebírat několik plynule nastavitelných napětí. Také laboratorní přístroje s velkým napětím nad 1 000 V můžeme doplnit tímto jednoduchým a levným děličem napětí.

Miroslav Lukavský

* * *

Grundig Austria GmbH

Od začátku roku 1969 existuje nejen západoněmecká firma Grundig, ale také její mladší rakouská kolegyně s názvem uvedeným v titulku. Sídlo této firmy je ve Vídni, přesná adresa je Wien 6, Webgasse 43.

-ou-

Univerzální měřicí přístroj

Ivan Pleschner

Radioamatérská a opravárenská práce vyžaduje často měřicí přístroj malých rozměrů, schopný měřit všechny hlavní veličiny, které se při takové praxi vyskytují. Z tohoto požadavku vychází tento návod na stavbu univerzálního měřicího přístroje, který obsahuje v jedné skřínce stejnosměrný voltmetr s velkým vstupním odporem, ohmmetr, střídavý milivoltmetr pro nf měření a stejnosměrný ampérmetr.

Technické údaje

Napájení: 9 V (2 ploché baterie) 1,5 V (tužkový články pro ohmmetr).

Spotřeba: 5 až 15 mA (podle stavu baterie).

Měřidlo: DHR 8 – 100 μ A.

Stejnoseměrný voltmetr

Rozsahy: 1 V; 5 V; 20 V; 100 V; 500 V.
Vstupní odpor: 10 M Ω na všech rozsazích.

Ohmmetr

Rozsahy: 1 až 100 Ω ; 100 Ω až 10 k Ω ; 10 k Ω až 1 M Ω ; 1 M Ω až 100 M Ω .

Střídavý milivoltmetr

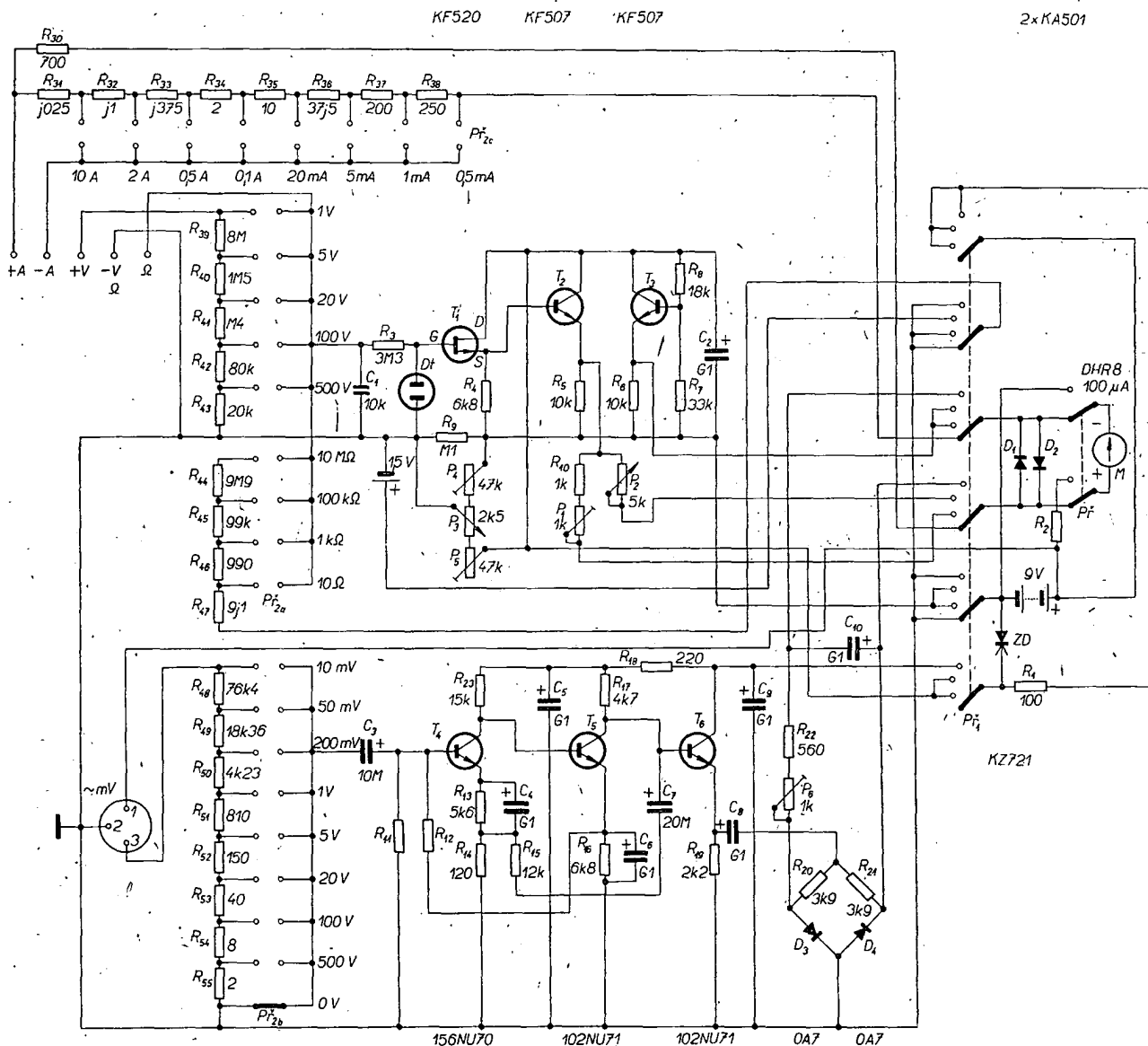
Rozsahy: 10 mV; 50 mV; 200 mV; 1 V; 5 V; 20 V; 100 V; 500 V.
Vstupní odpor: 50 k Ω na rozsahu 10 mV, asi 100 k Ω na ostatních rozsazích.

Stejnoseměrný ampérmetr

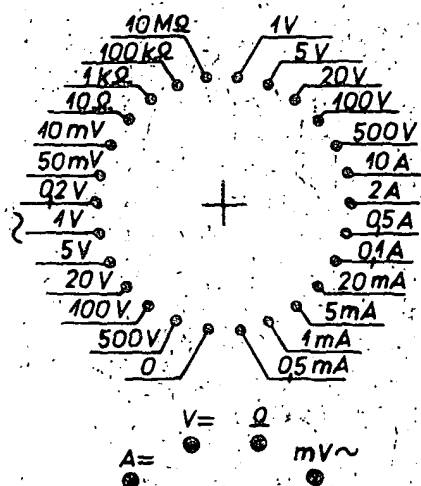
Rozsahy: 0,5 mA; 1 mA; 5 mA; 20 mA; 100 mA; 500 mA; 2 A; 10 A.
Úbytek napětí na ampérmetru: 0,25 V max.

Popis přístroje

Přístroj (obr. 1) se skládá ze tří samostatných celků: stejnosměrného zesilovače pro měření stejnosměrných napětí a odporů, střídavého zesilovače pro měření nf napětí a bočníků pro ampérmetr. Společně je vyřešeno napájení přístroje z baterie 9 V, která se při zapnutí přístroje připojí přes odpor R_1 na Zenerovu diodu ZD. Ta je vybrána spolu s R_1 tak, aby při příčném proudu 3 až 10 mA stabilizovala napětí 7,2 až 7,5 V. Napětí baterie kontrolujeme nezávisle na poloze ostatních přepínačů přístroje tlačítkovým přepínačem Pf_1 . Odpor R_2 upravuje rozsah přístroje při stisknutí tlačítka na 10 V.



Obr. 1. Celkové schéma přístroje. Přepínač Pf_1 v poloze „A“, přepínač Pf_2 v poloze „0“. V jednotlivých sekcích přepínače Pf_3 (Pf_{2a} , Pf_{2b} , Pf_{2c}) jsou zakresleny jen ty kontakty, které jsou zapojeny



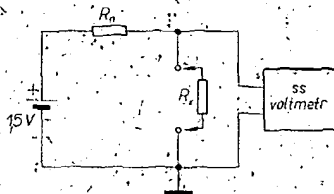
Obr. 2. Obsazení jednotlivých poloh přepínačů

Přepínač funkcí P_1 má tyto polohy: měření stejnosměrného proudu, napětí, odporů a nf napětí. První dvě sekce přepínače zapojují napětí na Zenerové diody na jednotlivé zesilovače. V poloze „měření stejnosměrného proudu“ (A) je baterie 9 V odpojena a přístroj ve vypnuté poloze. Druhé dvě sekce přepínají měřidlo. Na svorkách přepínače jsou připojeny diody D_1 , D_2 , které chrání přístroj proti přetížení. Další sekce je využita k odpinání tužkové baterie 1,5 V ve všech polohách kromě měření odporů. Přepínač je vlnový, čtyřpolohový se dvěma sekcemi.

Přepínač rozsahů P_2 je třipatrový řadič s 26 polohami, s odstraněnou koncovou záložkou, takže jím lze otáčet stále dokola bez vrácení. První patro řadiče slouží pro rozsahy stejnosměrného napětí a odporů. Volné kontakty na tomto patře řadiče spojíme dokrátka a uzemníme. Rozsahy nf napětí se přepínají druhým patrem řadiče a rozsahy ampérmetru třetím patrem. Zde zbyvající kontakty uzemňovat nemusíme. Předřadné odpory a bočníky jsou pájeny přímo mezi kontakty řadiče. Obsazení jednotlivých poloh P_1 a P_2 je na obr. 2.

Jako stejnosměrný zesilovač pro měření napětí a odporů se používá osvědčené zapojení fy Heathkit [1] s tranzistorem T_1 (MOS-FET typ KF520) ve vstupním obvodu. Napětí z děliče přivádíme na jeho vstupní elektrodu přes odpor R_3 . Kondenzátor C_1 musí

být svitkový, s dobrou izolací, nejméně na 600 V. Slouží k vyhlazení případné střídavé složky měřeného napětí. Za odporem R_3 je připojena na zem doutnavka D_1 , která chrání tranzistor T_1 před napětovým proražením. Doutnavka je typ FN2 nebo jiná se zápalným napětím nejvýše 70 V. Při přepětí doutnavka zapálí, plné napětí je na odporu R_3 a tranzistor T_1 je chráněn. Z elektrody S se napájí báze tranzistoru T_2 , který signál dále proudově zesílí. V emitoru T_2 je zapojeno přes odporový trimr P_1 (P_2) ručkové měřidlo. Druhá svorka měřidla je připojena na emitor tranzistoru T_3 , který tvoří s T_2 můstkové zapojení a slouží jen ke zlepšení teplotní stabilizace. Samozřejmě se nabízí možnost použít úplně můstkové zapojení a zařadit před T_3 také tranzistor MOSFET. Takové zapojení by mělo mnohem lepší teplotní stabilitu, stálo by ovšem jeden drahý tranzistor KF520 navíc. K nastavení nuly slouží odporové trimry P_4 , P_5 (hrubě) a potenciometr P_3 na čelní stěně (jemně). Celý stejnosměrný zesilovač má napětové zesílení menší než 1, při použití našich tranzistorů KF520 s malou strmostí zeslabuje dokonce 2 až 4krát. Tento nedostatek však příliš nevadí; snadno se odstraní tím, že se potenciometr P_1 nastavuje na menší odpor. Při



Obr. 3. Princip měření odporů

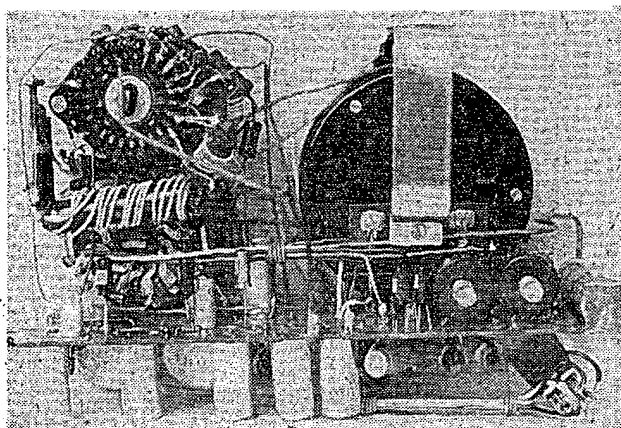
měření odporů je zapojení obdobné, jen přepínač P_1 zapojí do obvodu tužkovou článěk 1,5 V a současně jinou svou sekci odpojí od země porovnávací odpory R_{11} až R_{17} . Tyto odpory (a současně volné svorky na řadiči) jsou uzemněny proto, aby se na vstupní elektrodě tranzistoru T_1 zbytečně nehromadil náboj.

Základní schéma pro měření odporů je na obr. 3. Proud z baterie 1,5 V prochází sériově zapojeným měřeným odporem R_x a porovnávacím odporem R_n . Porovnávací odpory určují střed příslušného rozsahu. Jejich hodnoty po

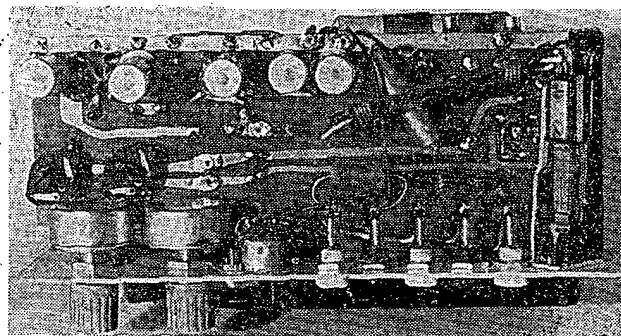
sečtení jsou 10 M Ω , 100 k Ω , 1 k Ω , 9,1 Ω . Poslední odpor by měl být správně také v dekadické řadě (10 Ω), je však menší vzhledem k poklesu napětí tužkové baterie při měření na tomto rozsahu. Odporu R_x je úměrný úbytek napětí na něm. Tento úbytek měříme stejnosměrným voltmetrem a velikost odporu čteme na stupnici.

Je třeba poznamenat, že stejnosměrný zesilovač nemusí být vlivem zakřivení charakteristik tranzistorů zcela lineární. To se projeví tím, že při větších odchylkách nelze použít původní lineární stupnici měřidla. Ta pak slouží jen pro ampérmetr, pro stejnosměrný voltmetr se musí nakreslit nová. V mém případě jsem se s chybou 1 % uprostřed stupnice smířil. Ještě markantnější je posunutí středu stupnice u rozsahu odporů. Zde totiž používáme pro plnou výchylku ručky přístroje vstupní napětí ne 1 V, ale 1,5 V, čímž se nelinearita ještě zvětší. To však není nedostatek, neboť odporovou stupnici stejně kreslíme individuálně.

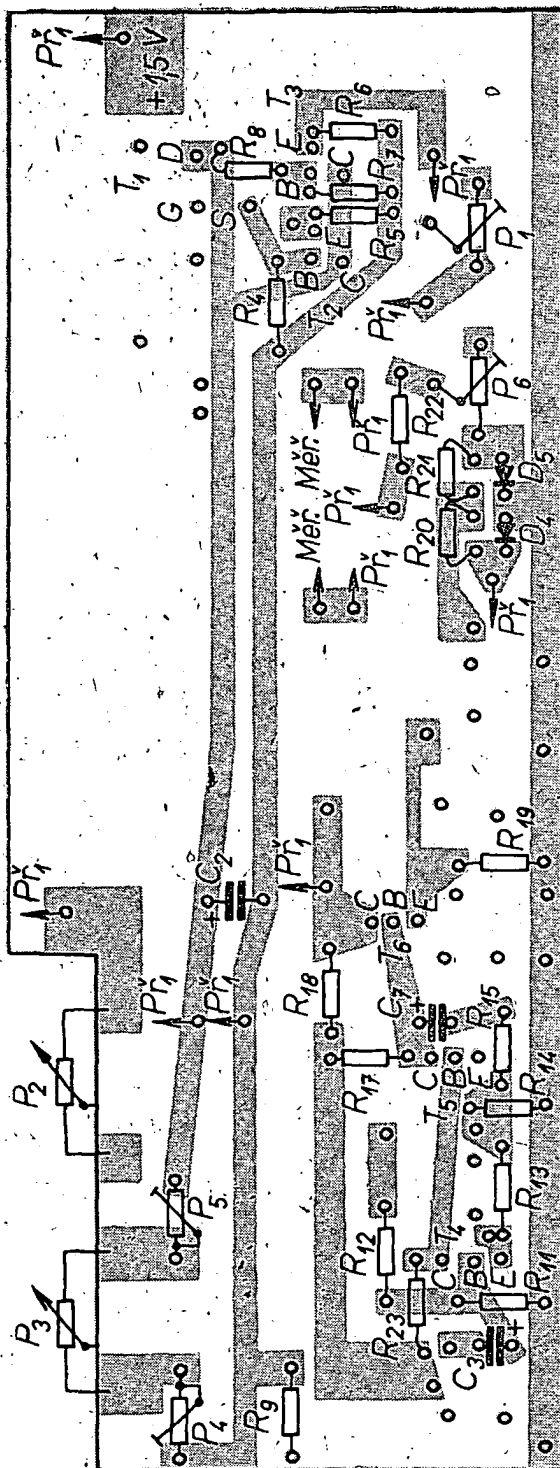
Pro nf milivoltmetr se používá tranzistorový stejnosměrný vázaný nf předzesilovač v běžném zapojení se zápornou zpětnou vazbou a emitorovým sledovačem na výstupu. Základní rozsah přístroje je 10 mV, získaných z děliče na vstupu. Horní konec děliče je propojen se svorkou 3 nf konektoru na přední desce. Kolík 2 je uzemněn a kolík 1 je spojen s kladným pólem baterie 9 V, abychom usnadnili její případné dobíjení. Vstupní dělič je složen z odporů tak, aby jeho celková impedance byla 100 k Ω . Také vstupní impedance nf zesilovače je 100 k Ω , takže celkový vstupní odpor na základním rozsahu je dán paralelním spojením těchto dvou odporů a je 50 k Ω . Při přepínání na další rozsahy jde již o zatížený dělič, jehož celková impedance je asi 100 k Ω . Tato impedance je ještě přijatelná; nemusíme při ní brát zřetel na rozmístění odporů a součástí s ohledem na kmitočtovou nezávislost. Velikosti odporů v děliči (a tím i rozsahy) doporučuji zachovat, neboť výpočet zatíženého děliče je dost obtížný. Signál ze vstupního děliče, zesílený tranzistory T_4 a T_5 , se přivádí přes C_7 a R_{15} zpět do emitoru T_4 . Tato smyčka záporné zpětné vazby určuje zesílení i vstupní odpor celého zesilovače. Tranzistor T_6 je zapojen jako emitorový sledovač. Dodává zesílený signál přes C_8 do usměrňovače, který tvoří diody D_3 , D_4 a odpory R_{20} , R_{21} . Tyto odpory jsou zapojeny místo obvyklých dalších dvou diod a značně linearizují průběh stupnice pro střídavá napětí. Umožňuje to odstupňování střídavých rozsahů 1 : 5 při dobrém čtení. Kondenzátor C_{10} filtruje zbytky střídavého napětí



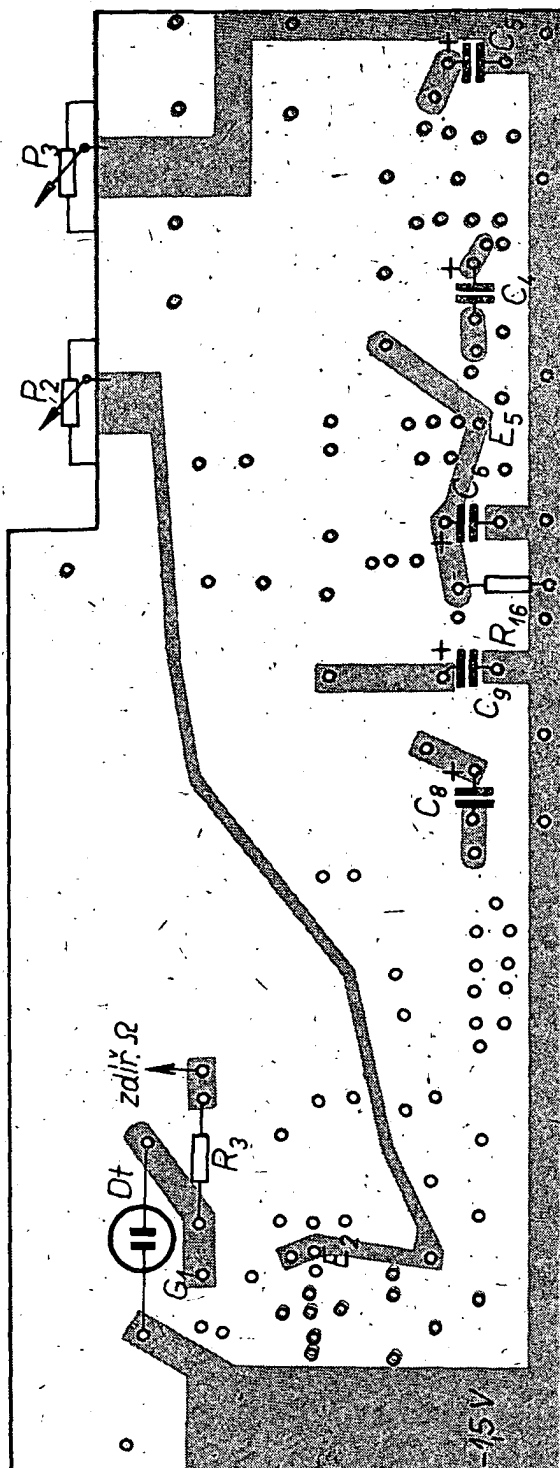
Obr. 4a. Mechanické uspořádání přístroje



Obr. 4b. Pohled do přístroje shora



Obr. 5a. Oboustranně plátovaná destička s plošnými spoji Smaragd C29 (cena 49,50. Kčs) – pohled shora (součástky jsou nahoře, plošné spoje dole)



Obr. 5b. Oboustranně plátovaná destička s plošnými spoji – pohled zdola (součástky jsou dole, plošné spoje nahoře). Kdo nemá k dispozici oboustranně plátovanou destičku cuprestitu, může zvolit toto řešení: vylepšit každou destičku (obr. 5a a 5b) zvlášť na běžný cuprestit, obě destičky navzájem sňýlovat a lepru pak vřít otvory (všechny přes celou tloušťku obou spojených destiček). Pokud se na destičce vyskytnou otvory, které procházejí na obou stranách, měřenou folii a nejsou osazeny žádnou součástkou, přijde folie na obou stranách destičky propojit tímto otvorem kouskem drátu (připájením na obou stranách).

za usměrňovačem. Citlivost nastavujeme trimrem P_6 .

Bočníky ampérmetru jsou v běžném Ayrtonově zapojení, jehož jednoduchý výpočet je uveden ve [4]. Toto zapojení vylučuje vliv přechodového odporu kontaktů přepínače na odpory děliče. Odpory $10\ \Omega$ a větší jsou hmotové, odpory $2\ \Omega$ a menší jsou vinuty manganinovým odporovým drátkem na odporová tělíska.

Mechanická konstrukce

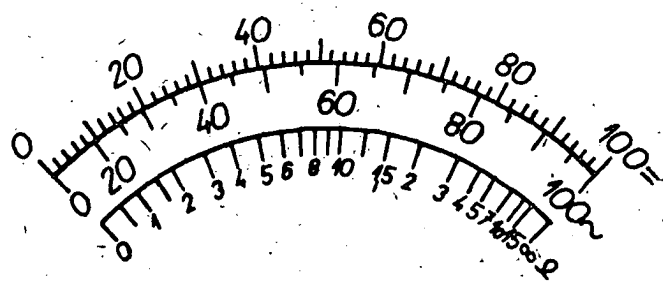
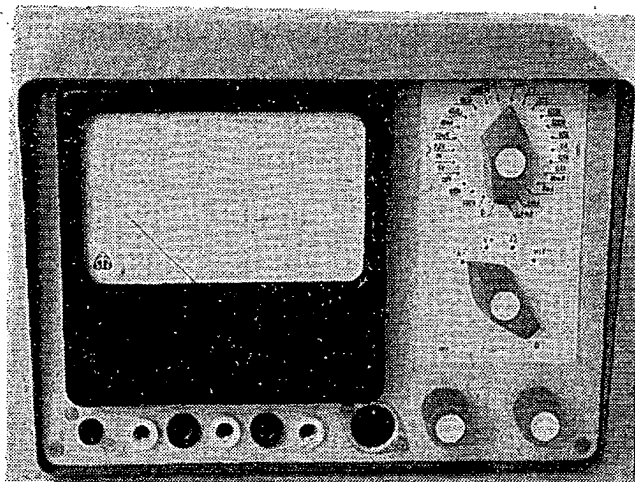
Mechanická konstrukce je patrná z obr. 4. Oba zesilovače, potenciometry pro nastavení citlivosti a tužkový článek jsou umístěny na desce s oboustrannými plošnými spoji C29 (obr. 5). Oboustranně plátovaná deska byla použita proto, aby bylo možné do ní elektrolytické

kondenzátory TC942 osadit zespodu. Deska je připájena na potenciometry P_2 , P_3 umístěné na předním panelu a na dva tlustší vodiče, které ji spojují se svorkami měřidla. Diody ZD , D_1 , D_2 a odpory R_1 , R_2 jsou pájeny přímo na přepínač P_1 . Ploché baterie drží ocelový pásek na zadní straně ručkového měřidla. Pod spodním okrajem ručkového měřidla je na přední stěně pět izolovaných zdírek v pořadí $+A$; $-A$; $+V$; $-V$; Ω (obr. 6). K měření odporů přitom slouží zdírky $-V$; Ω . Vedle zdírek je z jedné strany tlačítko přepínače P_7 , z druhé konektor pro vstup n napětí, dále knoflíky potenciometrů ∞ a 0 . Nad potenciometry je přepínač funkcí, nad ním přepínač rozsahů. Označení poloh těchto přepínačů je napsáno na kladívkovém papíře, pokrytém vystřiženým celuloidem.

Použité součásti

Typy přepínačů byly již popsány. Vlnový přepínač má vyjmutý plech stínění a obě sekce jsou posunuty blíže k sobě. Také výška radiče je zmenšena použitím nižších sloupek mezi sekcemi.

Ve stejnosměrném zesilovači jsou kromě tranzistoru KF520 dva křemikové tranzistory KF504 až 508. Oba mají mít přibližně stejný proudový zesilovací činitel β . Nf zesilovač je osazen levnějšími germaniovými tranzistory. T_4 je vř. typ 155 až 156NU70, T_5 a T_6 jsou 106 až 107NU70 nebo 101 až 104NU71,



Obr. 7. Stupnice měřidla DHR8

Obr. 6. Uspořádání čelní stěny přístroje

na místo T_5 vybereme tranzistor se zesilovacím činitelem β alespoň 100. Diody D_3, D_4 jsou hrotové typy OA5 až OA9, stačí také GA201 až 205 nebo 1 až 6NN40. Diody D_1, D_2 jsou křemíkové, typ KA501 až 503. Zenerova dioda je na 7,2 až 7,5 V, typ KZ721 nebo 3NZ70. Trimry P_4, P_5 jsou vrstevné, P_1, P_6 jsou miniaturní drátové potenciometry 0,5 W. Elektrolytické kondenzátory jsou typy do plošných spojů. Všechny odpory mohou být miniaturní, jen odpory 76,4 k Ω , 18,36 k Ω ve střídavém děliči a vinuté odpory pro ampérmetr musí snést větší zatížení. Odpory v děličích většinou neseženeme v předepsaných hodnotách. Musíme je proto složit ze dvou až tří odporů paralelně nebo sériově spojených.

Uvedení do chodu

Zesilovač pro stejnosměrný voltmetr nastavíme pomocí P_4 a P_5 tak, aby na R_5 bylo napětí 3,5 až 4 V. Přitom musí být potenciometr P_3 ve střední poloze a P_4, P_5 nastaveny do takových poloh, aby celkový odpor $P_4 + P_3 + P_5$ nebyl menší než 20 k Ω . Nepodaří-li se nám předepsané napětí nastavit, změníme odpor R_4 . Pak nastavíme odporem R_8 proud T_3 tak, aby na R_6 bylo stejné napětí jako na R_5 . Teprve potom můžeme připojit mezi emitory T_2 a T_3 měřidlo DHR8. Jeho ručka bude nyní ukazovat nulovou výchylku. Pokud se bude výchylka od nuly o několik dílků lišit, upravíme polohu ručky potenciometrem P_6 . Nyní přepneme přepínač rozsahů do polohy 1 V a na vstupní svorky voltmetru přivedeme vstupní napětí přesně 1 V. Trimrem P_1 nastavíme na přístroji maximální výchylku. Jsou-li všechny odpory ve vstupním děliči správné, je stejnosměrný voltmetr tímto postupem ocejchován na všech rozsazích. Odporové rozsahy ocejchujeme také najednou na rozsahu 1 k Ω . Nejprve přístroj vynulujeme, tím, že zkratujeme svorky —V a Ω a potenciometrem P_3 nastavíme nulu. Pak zkrat rozpojme a potenciometrem P_2 nastavíme na měřidle maximální výchylku ručky (nekonečný odpor). Nyní připojujeme na měřicí svorky postupně přesné odpory od 50 Ω do 15 k Ω a zapisujeme výchylky ručky na stupnici 0 až 100 pro každý odpor. Toto cejchování platí (řádově posunuté) pro všechny odporové rozsahy.

Střídavý nf milivoltmetr nastavujeme nejprve s odpojeným vstupním děličem. Měřidlo na výstupu nahradíme nf milivoltmetrem připojeným za C_8 . Stejnosměrný pracovní bod zesilovače nastavíme odporem R_{12} tak, aby na emitoru T_6 bylo $3,5 \pm 0,5$ V. Osciloskopem kontrolujeme, je-li sinusovka procházející zesilovačem při přebuzení ořezávána souměrně na obou půlvlnách. Ořezávání nastává asi při efektivním napětí 1,2 V na výstupu, přičemž vstupní nf napětí je 12 až 13 mV. Pak musíme nastavit vstupní odpor nf zesilovače (přesně 100 k Ω). Změny vstupního odporu dosáhneme změnou odporu R_{11} , popřípadě R_{15} . Změní-li se pak stejnosměrný pracovní bod, nastavíme jej znovu odporem R_{12} . Vstupní odpor tohoto zesilovače měříme takto: před kondenzátor C_3 zapojíme přesný odpor 100 k Ω . Připojíme-li nyní vstupní nf napětí před odpor 100 k Ω , musíme toto napětí zvětšit právě na dvojnásobek, abychom dosáhli stejné výchylky ručky nf milivoltmetru na výstupu, jako předtím. Pak je vstupní odpor zesilovače roven odporu, který jsme předřadili. Po nastavení nf zesilovače připojíme měřidlo a pro vstupní napětí 100 mV nastavíme potenciometrem P_6 plnou výchylku. Nyní můžeme připojit vstupní dělič a zkontrolovat ostatní rozsahy. Na každém rozsahu zvlášť změříme kmitočtovou charakteristiku, která by měla být od 20 Hz do 20 kHz v rozsahu —0,5 dB, tj. asi 5 %.

Přesnost ampérmetru závisí na správném změření bočníků. Základní rozsah cejchujeme případnou změnou odporu R_{30} .

Úprava stupnice měřidla

Měřidlo DHR8 lze lehce rozebrat odšroubováním čtyř šroubků M2, které uvolní celou přední stěnu přístroje. Dva šroubky M2 drží stupnici přístroje. Po jejím vyjmutí můžeme přikročit k úpravě. Nápis „ μA “ vyškábeme ostrou žiletkou. Původní lineární stupnici 0 až 100 zachováme pro stejnosměrné měření, popříp. jen pro proudové (viz poznámka výše). Stupnici nalepíme za okraje na kladívkovou čtvrtku a kružidlem a pravítkem najdeme střed kružnice oblouku původní stupnice. Z tohoto středu pak narýsuje oblouky ostatních stupnic (obr. 7). V kružidlo i tužce použijeme tvrdou, dobře ořezanou tuhu a stejnoměrným tlakem při rýsování zajistíme stejnou tloušťku čar. Také čísla na stupnici píšeme tužkou. Výsledný vzhled je

překvapivě dobrý. Stupnici můžeme zhotovit i fotografickou cestou, jak bylo v našem časopise již několikrát popsáno.

Napájení

Přístroj se napájí ze dvou plochých baterií napětím 9 V. Spotřeba přístroje je s novými bateriemi až 18 mA, později klesá až na 5 mA. Při poklesu napětí baterií pod 8 V (při zatížení) baterie vyměníme, neboť již není zaručena dobrá stabilizace Zenerovou diodou. Tužkový článek 1,5 V vydrží v přístroji velmi dlouho a vybíjí se jen vnitřními chemickými pochody.

Použití přístroje

Stejnosměrný voltmetr má velký vstupní odpor, daný součtem odporů ve vstupním děliči. Měří s dostatečnou přesností i stejnosměrná napětí v tranzistorových obvodech. Až na teplotní stabilitu se plně vyrovná elektronkovým voltmetrům. Ohmmetr umožňuje měření všech běžně se vyskytujících odporů.

Nf milivoltmetrem lze dělat všechna nf měření, pokud impedance, na níž měříme, nepřekročí 10 k Ω . Jinak musíme vzít v úvahu vstupní odpor milivoltmetru a naměřené údaje korigovat.

Při měření je třeba si uvědomit, že kovová skříňka přístroje je spojena se zemním vodičem v přístroji (tak je tomu u všech nízkofrekvenčních milivoltmetrů). Chceme-li měřit i síťové napětí, popřípadě v přístrojích spojených přímo se sítí, je lépe vyřešit stínění jiným způsobem, skříňku se zemním vodičem z bezpečnostních důvodů nepropojovat a od vnitřního zapojení ji dobře odizolovat.

Seznam součástek

R_1	— TR 112, 100 Ω
R_2	— TR 112, viz text
R_3	— TR 113, 3,3 M Ω
R_4	— TR 112, 6,8 k Ω
R_5	— TR 112, 10 k Ω
R_6	— TR 112, 10 k Ω
R_7	— TR 112, 33 k Ω
R_8	— TR 112, 18 k Ω
R_9	— TR 112, 0,1 M Ω
R_{10}	— TR 112, 1 k Ω
R_{11}	— viz text, 0,2 až 1 M Ω
R_{12}	— viz text
R_{13}	— TR 112, 5,5 k Ω
R_{14}	— TR 112, 120 Ω
R_{15}	— TR 112, 12 k Ω
R_{16}	— TR 112, 6,8 k Ω
R_{17}	— TR 112, 4,7 k Ω
R_{18}	— TR 112, 220 Ω
R_{19}	— TR 112, 2,2 k Ω
R_{20}	— TR 112, 3,9 k Ω
R_{21}	— TR 112, 3,9 k Ω
R_{22}	— TR 112, 560 Ω
R_{23}	— TR 112, 15 k Ω
R_{24}	— 700 Ω (viz text)
R_{25}	— 0,025 Ω
R_{26}	— 0,1 Ω
R_{27}	— 0,375 Ω
R_{28}	— 2 Ω
R_{29}	— 10 Ω
R_{30}	— 37,5 Ω
R_{31}	— 200 Ω
R_{32}	— 250 Ω
R_{33}	— 8 M Ω
R_{34}	— 1,5 M Ω

R_{41} — 0,4 M Ω
 R_{42} — 80 k Ω
 R_{43} — 20 k Ω
 R_{44} — 9,9 M Ω
 R_{45} — 99 k Ω
 R_{46} — 990 Ω
 R_{47} — 9,1 Ω
 R_{48} — 76,4 Ω , 2 W
 R_{49} — 18,36 Ω , 0,5 W
 R_{50} — 4,23 k Ω , 0,1 W
 R_{51} — 810 Ω
 R_{52} — 150 Ω
 R_{53} — 40 Ω
 R_{54} — 8 Ω
 R_{55} — 2 Ω

Kondenzátory:

C_1 — TC 184, 10 μ F
 C_2 — TC 942, 100 μ F
 C_3 — TC 942, 10 μ F
 C_4 — TC 942, 100 μ F
 C_5 — TC 942, 100 μ F
 C_6 — TC 942, 100 μ F
 C_7 — TC 942, 20 μ F
 C_8 — TC 942, 100 μ F
 C_9 — TC 942, 100 μ F
 C_{10} — TC 942, 100 μ F

Potenciometry:

P_1 — 1 k Ω , drátový
 P_2 — 5 k Ω , lineární
 P_3 — 2,5 k Ω , lineární
 P_4 — 47 k Ω , trimr vrstvý
 P_5 — 47 k Ω , trimr vrstvý
 P_6 — 1 k Ω , drátový

Polovodiče:

T_1 — KF520
 $T_{2,3}$ — KF504 + KF508
 T_4 — 155 až 156NU70
 $T_{5,6}$ — 106 až 107NU70, 101 až 104NU71
 ZD — KZ721, 3NZ70
 $D_{1,2}$ — KA501 až 503, KY701 až 702
 $D_{3,4}$ — OA7 až 9, GA201 až 205

Ostatní:

M — měřidlo DHR8, 100 μ A
 Dt — doutnavka FN2
 Pf_1 — vlnový přepínač, 4 polohy, 2 patra
 Pf_2 — třípatrový řadič, 26 poloh
 Pf_3 — tlačítko přepínací, dvoupolohové

Literatura

- [1] Hyan, J. T.: Univerzální tranzistorový voltohmmetr. AR 5/68.
- [2] Radiový konstruktér 5/67.
- [3] Hyan, J. T.: Nf milivoltmetr. AR 9/61.
- [4] Havlík, L.: Rychlý výpočet bočníku. ST 5/61.

* * *

Důležitá pomocníci

Již před časem jsme psali o čistících a jiných prostředcích pro opravy a pro prevenci např. před korozi, které jsou běžně dostupné v zahraničí. Od té doby jsme se mohli mnohokrát přesvědčit o účincích těchto prostředků, které se vyrábějí ve formě rozprašovačů. Bylo by dobré, kdyby i náš chemický průmysl vyráběl tyto prostředky – při jakosti našich přepínačů a potenciometrů by jejich používání přineslo spotřebitelům velké úspory peněz a lhůty na opravy by mohly být mnohem kratší.

Jedním z největších a nejznámějších výrobců je firma Kontakt-Chemie v Linzi. Z jejího výrobního programu zaslouží pozornost výrobky Kontakt 60 a Kontakt 61, které konzervují a současně zbavují koroze přepínače, spínače apod., Kontakt WL, desoxidující prostředek s rychlým účinkem, Plastik-spray 70, transparentní ochranný lak, Isolier-spray 72, silikonový izolační olej s elektrickou pevností do 20 kV/mm, Kälte-spray 75, např. pro ochlazování pájených polovodičových součástí (chladí postříknutý předmět až na teplotu -42 °C), Graphit-spray 33 pro opravy setřených grafitových nátěrů obrazovek osciloskopů a televizorů, pájecí lak SK 10 pro ochranu a současně jako pájecí prostředek na měděnou fólii plošných spojů, Antistatic-spray apod.

—chá—

STMÍVAČ

s tyristorem

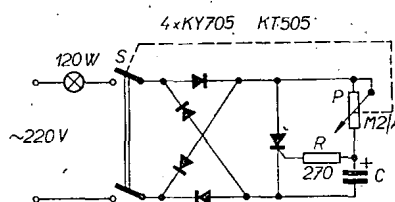


Karel Krmenčík, ing. Jan Mach

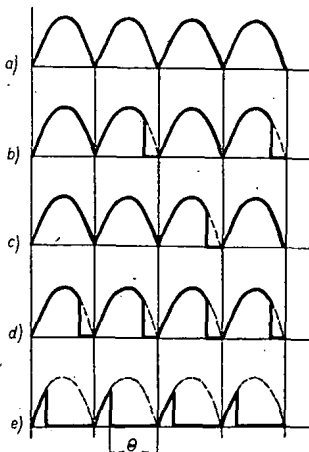
V AR 2/69 na str. 57 byl popsán stmívač se čtyřmi diodami, jedním tyristorem a dvěma tranzistory. Stejných výsledků, i když s menším úhlem fázového řízení tyristoru (5 až 140° el.), můžeme dosáhnout i při podstatném zjednodušení řídicího obvodu (obr. 1).

Princip činnosti

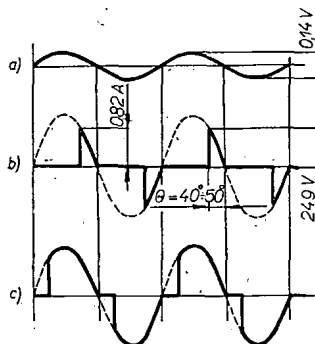
Přes potenciometr P se nabíjí kondenzátor C o kapacitě 1 μ F. Až se kondenzátor nabije na spínací napětí tyristoru, tyristor sepne a kondenzátor se přes něj vybije. V nové půlplně anodového napětí se celý pochod opakuje. Nevýhodou je, že se tyristor otevírá již při 130° až 140° kladné půlperiody anodového napětí (obr. 2d). To se pro-



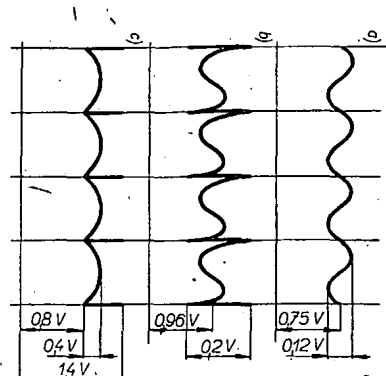
Obr. 1. Zapojení stmívače světla



Obr. 2. Průběh napětí a proudu na tyristoru: a) napětí na tyristoru (žárovka nesvítí); b) napětí na tyristoru ($C = 10 \mu$ F, žárovkou teče proud – čárkovaná část); c) napětí na tyristoru ($C = 20 \mu$ F); d) napětí a proud tyristoru ($C = 1 \mu$ F nebo přechod skokem z průběhu b); e) tyristor otevřen po dobu θ



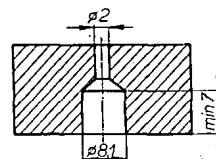
Obr. 3. Napětí a proudy na žárovce: a) žárovka nesvítí; b) napětí a proud žárovky při úhlu otevření tyristoru 40° až 50° el.; c) napětí a proud žárovky při velkém úhlu otevření



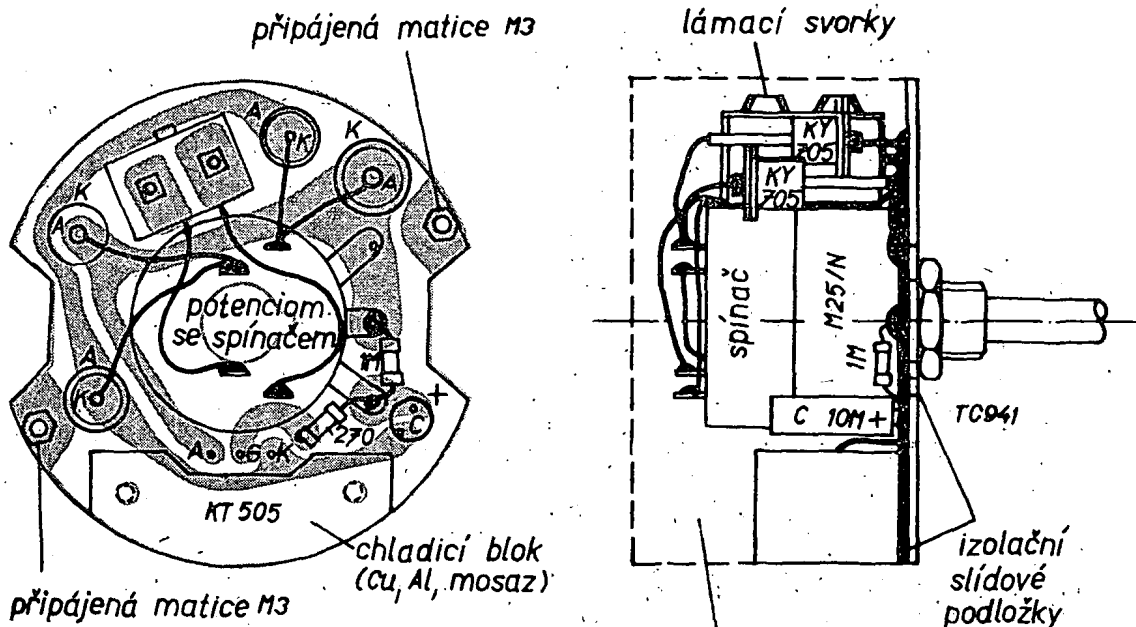
Obr. 4. a) napětí na kondenzátoru C , žárovka nesvítí; b) napětí na kondenzátoru C , žárovka plně svítí; c) zbytkové napětí na tyristoru

jevuje jako skokové počáteční rozsvícení žárovky (obr. 3b); znamená to, že nemůžeme regulovat průběh rozsvícení od nuly. Téměř úplného odstranění tohoto světelného skoku a stejných výsledků regulace jako v zapojení s tranzistory lze dosáhnout vhodnou volbou kapacity C . Zvětší-li se C na 10 μ F a otáčíme-li hřídelem potenciometru P , bude na tyristoru průběh napětí a proudu podle obr. 2b. To znamená, že během první půlperiody anodového napětí se kondenzátor nestíhá nabít na potřebné spínací napětí. Teprve při druhé půlperiodě se kondenzátor dobije na potřebné napětí a tyristor povede. Vzhledem k nelineárnímu průběhu závislosti odporu vlákna žárovky na proudu dosáhneme značného snížení svítivosti, která už plně odpovídá požadavkům na stmívač.

Použijeme-li kondenzátor o velké kapacitě ($C = 20 \mu$ F), nastane případ podle obr. 2c. Při rozsvícení žárovky se zvětšení kapacity kondenzátoru příliš neprojeví. Při zhasínání dostává však žárovka napěťové pulsy o kmitočtu 33,3 Hz, které způsobují znatelné blikání. Nejvhodnější je proto kondenzátor o kapacitě $C = 10 \mu$ F. Přechod z průběhu obr. 2b na 2d se děje sice skokem, ale na svítivosti žárovky se to téměř neprojeví.



Obr. 5. Mosazná deska pro uložení tyristoru



Obr. 6. Plošné spoje Smaragd C30 (9,40 K Ω s) a mechanické uspořádání stmívače

volný prostor pro případné umístění odruš. kondenzátoru

Volba součástek

V zapojení na obr. 1 byl použit tyristor typu KT505. Výrobce uvádí proud tyristoru $I = 1$ A (střední usměrněný proud) s chlazením a 0,4 A bez chlazení pro teplotu pouzdra $t_{c \max} = 60$ °C, při úhlu otevření zatěžovacího proudu $\Theta = 180^\circ$. Pulsující proud tyristorem $I_{T \text{ imp}}$ může být až 15 A. V našem případě (při zátěži 120 W) byl naměřen špičkový proud $I_{Ts} = 0,82$ A (obr. 3b). Přitom zbytkové napětí tyristoru bylo 1,4 V, jak je vidět na obr. 4c.

S ohledem na teplotní stabilitu je vhodné pracovat s výkonem do 150 W. Tepelné namáhání tyristoru se projevuje v různé závislosti úhlu natočení potenciometru P na svítivosti žárovky při zhasnutí za studena a za tepla, tj. po delší době provozu, kdy se tepelné podmínky na tyristoru ustálí. Dobrých výsledků bylo dosaženo vložením tyristoru do mosazné desky o rozměrech $30 \times 20 \times 15$ mm (obr. 5). Otvor v desce vyplníme před

vložením tyristoru silikonovou vazelinou. Zasunutím tyristoru přebytečná vazelina vyteče horním otvorem. Celý chladicí blok je možné upevnit různými způsoby, např. přilepením, přichytkou nebo vyříznutím závitů do tělesa desky a přišroubováním.

Potenciometr P stačí dimenzovat na 0,3 W; jako nejvhodnější se ukazuje odpor 200 k Ω . Získáme jej úpravou odporu potenciometru 250 k Ω paralelním připojením odporu 1 M Ω . Vhodný je potenciometr se spínačem.

Kondenzátor $C = 10$ μ F stačí (jak je vidět z obr. 4a, b) na napětí 3, 6 nebo 12 V.

Velikost odporu R je omezena dole plynulostí rozsvícení a nahoře časovou konstantou pro dostatečné vybití kondenzátoru C . Stačí použít miniaturní odpor na zatížení 0,125 W.

Celý stmívač je tak malý, že je možné jej i s jednoduchým odrušovacím filtrem umístit do spínačové krabičky ve dří.

Mechanické uspořádání stmívače

Nejvhodnější je umístit všechny součástky na cuprexitovou destičku a tu uložit místo vlastního systému spínače do krabičky spínače.

Další postup závisí na rozhodnutí, jaký potenciometr použijeme k regulaci. Vzhledově vypadá nejlépe knoflíkový potenciometr o \varnothing 40 mm (250 k Ω) s lineárním průběhem na zatížení 0,3 W. Jako kryt lze v tomto případě použít původní kryt pro páčkový spínač. Nevýhodou použití tohoto potenciometru je obtížnější mechanické připevnění na desku s plošnými spoji a také to, že potenciometr nemá spínač, takže tyristor je stále napětově namáhán. Proto se zdá výhodnější použití vrstvého potenciometru o \varnothing 28 mm s dvou-pólovým spínačem, který po dobu, kdy světlo nepoužíváme, galvanicky odpojuje celé zařízení od sítě.

Plošné spoje jsou na cuprexitové destičce tloušťky 2 mm (obr. 6). Chladicí žebro tyristoru upravíme podle obr. 7 a při montáži odizolujeme od spoje podložním (nejlépe slídovou destičkou) stejně jako potenciometr. Přívodní dráty síťového napětí upevníme od dvou

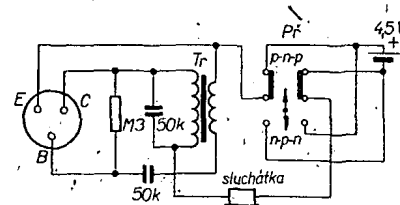
lámacích svorek o rozměrech $20 \times 17 \times 14$ mm. Hotové zařízení pak vložíme do krabičky spínače podle výřezu, otočíme a upevníme dvěma šroubky M3 do připájených matic.

Délku hřídele potenciometru je třeba upravit tak, aby po upevnění knoflíku nemohlo při manipulaci dojít k přímému styku kovu s rukou.

* * *

Rychlé zkoušení tranzistorů

Obvod podle obrázku umožňuje rychlou orientaci, je-li zkoušený tranzistor dobrý nebo vadný. Obvod je zapojen jako jednoduchý nízkofrekvenční generátor. Místo tranzistoru je v zapojení objímka se třemi kontakty, do níž připojujeme zkoušený tranzistor. Je-li v pořádku, oscilátor se rozkmitá a ve



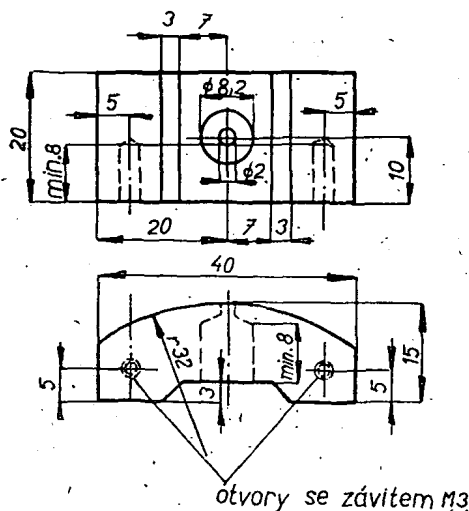
sluchátkách je slyšet tón. Přepínač P mění polaritu baterie a tím umožňuje zkoušet tranzistory p-n-p i n-p-n. Lze zkoušet germaniové i křemíkové tranzistory.

DL-QTC 4/69

* * *

Zajímavá čísla uveřejnil spolek německých obchodníků o prodeji komerčních elektronických zařízení; za rok 1968 se prodalo např. 2 600 000 televizních přijímačů, z toho 10 % barevných; proti roku 1967 to znamená o 25 % větší prodej (u barevné televize o 70 %). Rozhlasových přijímačů všech možných druhů se prodalo 5 500 000 kusů. Z tohoto počtu bylo 76 % přenosných přijímačů a přijímačů pro motorová vozidla a 24 % přijímačů stolních. Zajímavá by byla tato čísla ve srovnání s našimi údaji - ty však zatím nejsou známy.

-ou-



Obr. 7. Chladicí žebro pro tyristor

INTEGROVANÁ elektronika

Ing. Jiří Zima

Protože rozvoj integrované elektroniky dosáhl již u nás určitého stupně, rozhodli jsme se uveřejnit několik článků, které by čtenáře informovaly o této nejprogresivnější formě polovodičové techniky. Seriál zahajujeme základními informacemi a stručným přehledem nepoužívanějších termínů, jejichž ovládnutí je nutné k porozumění dalším výkladům.

Základem nástupu integrované elektroniky byl badatelský výzkum z fyziky tuhých látek, zvláště polovodičů. Uplatnění výsledků výzkumu bylo umožněno rozpracováním a zvládnutím moderních technologií pro přípravu materiálu i pro vlastní řešení integrovaných obvodů. Současně bylo třeba vypracovat nové metody návrhu a analýzy integrovaných obvodů, které přihlížejí k možnostem výrobních technologií a vycházejí ze skutečnosti, že funkční prvky obvodu jsou z hlediska funkce i z hlediska geometrie struktury částečně nebo zcela spojitě rozprostřeny ve vnitřních a po-

některé technologické principy z obou technik a přejít na vytváření hybridních obvodů. Rozdělení integrované elektroniky na hlavní a odvozené směry je na obr. 1.

V technologii obvodů z tenkých vrstev se pasivní část obvodu vytváří napařováním nebo naprašováním, popř. i jinou nanášecí technologií na povrchu nosné izolační destičky ze skla nebo keramiky. Aktivní polovodičové prvky se do obvodu vkládají ve tvaru polovodičových destiček nebo v miniaturních pouzdrech a elektricky se spojují s pasivní částí obvodu. Fotografie obvodu z tenkých vrstev je na obr. 2.

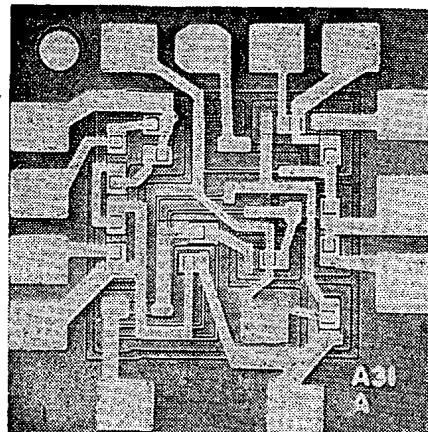
Ve výzkumu jsou již rozpracovány obvody, jejichž pasivní i aktivní prvky jsou vytvořeny vhodnou nanášecí technikou z tenkých vrstev. Jakmile budou tyto obvody dořešeny, dosáhne se úplné funkční i-geometrické integrace prvků.

Monolitické obvody lze rozdělit podle technologie a způsobu izolace, funkčních prvků na tzv. jednofázové a vícefázové monolitické obvody. Protože vícefázové monolitické obvody jsou prozatím předmětem výzkumu, mají nyní hlavní význam jednofázové monolitické obvody, které pracují s izolací pomocí přechodů p-n, pro něž se používá epitaxně planární technologie. S ohledem na větší praktický význam se obvykle pod názvem monolitické obvody rozumí jednofázové monolitické obvody. Fotografie monolitického obvodu s izolací pomocí přechodu p-n je na obr. 3.

Zvláštní skupinu obvodů, které jsou technologicky blízké monolitickým obvodům, tvoří polovodičové obvody z více destiček. K řešení polovodičového obvodu z více destiček se využívá epitaxně planární technologie. Podle potřeby obsahují jednotlivé křemíkové destičky jeden nebo více funkčních prvků. Uložením destiček do společného pouzdra a vhodným propojením se dosáhne příslušné funkce obvodu. Obvod z více destiček je na obr. 4.

Současné způsoby výroby monolitických obvodů jsou založeny na využití planární technologie, která je doplněna o některé další vytvářecí pochody. Mezi základní technologické pochody, které se ve výrobě monolitických obvodů opakují vícekrát, patří především: epitaxní růst monokrystalických i polykrystalických vrstev, vytváření vrstev z kyslíčnicku křemičitého nebo nitridu křemíku, fotochemické obrábění, difúze příměsí, technologie vytváření tenkých vrstev a technologie vytváření tlustých vrstev.

Kromě těchto technologických pochodů se při výrobě monolitických obvodů používá ještě celá řada dalších technologických operací, jako jsou mechanické a chemické obrábění, termokompresní připojování vodičů ze zlata nebo hliníku, slévací pochody a další

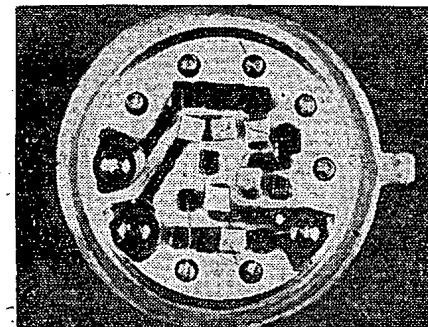


Obr. 3. Fotografie monolitického obvodu s izolací pomocí přechodu p-n

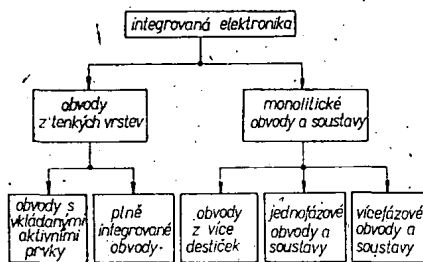
operace. Značný význam pro dosažení potřebné výtečnosti celé technologie má správné začlenění a využití efektivních měřicích a kontrolních operací po všech rozhodujících technologických operacích při výrobě monolitických obvodů. Velmi důležitým souborem operací, které rozhodujícím způsobem zajišťují úspěšnou aplikaci monolitických obvodů v elektronických systémech, jsou různé tepelné, mechanické a jiné zkoušky a měření všech základních vlastností na zapouzdřených monolitických obvodech.

Při výrobě monolitických obvodů se využívá toho, že značná část technologického postupu probíhá na celé soustavě obvodů na společné křemíkové destičce. Jsou to především: epitaxní růst, oxidace nebo nitridace, fotochemické obrábění, difúze příměsí a vytváření tenkých vrstev. Při těchto operacích, které se během výrobního postupu obvykle několikrát opakují, se běžně zpracovávají desítky až stovky křemíkových destiček současně. Jen závěrečné výrobní operace, jako je dělení velké křemíkové destičky na obvodové destičky, montáž do pouzdra, termokompresní apod. se dělají již na jednotlivých monolitických obvodech.

Tento technologický princip spolu se zlepšováním výtečnosti technologie a se zmenšováním plošné geometrie obvodů umožňuje dosáhnout příznivých relací ve výrobních nákladech. Přechodem na nové technologie; jako je např. použití iontového svazku a elektronového svazku, se v budoucnu dosáhne nejen výrazného zlepšení ve funkčních vlastnostech obvodů, ale i dalšího pronikavého snížení výrobních nákladů na monolitické obvody. Velká opakovatelnost většiny technologických operací při značném počtu současně rozpracovávaných obvodů umožňuje dosažení vysoké produktivity.



Obr. 4. Příklad obvodu z více destiček

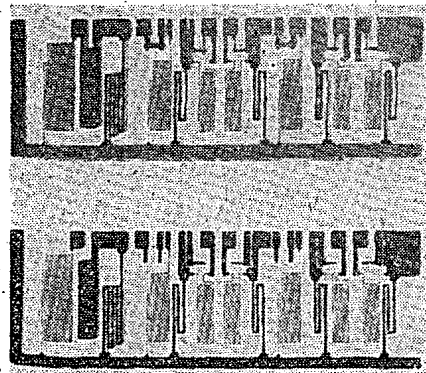


Obr. 1. Rozdělení integrované elektroniky

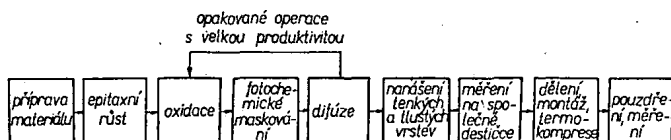
vrchových oblastech funkčního materiálu.

Účinnost využití integrované elektroniky závisí především na volbě technologické koncepce obvodů. Od roku 1958, kdy byl ve větším měřítku zahájen soustavný výzkum v integrované elektronice, bylo rozpracováno několik technologií integrovaných obvodů. Některé jsou založeny na úplné integraci obvodů, jiné umožňují jen integraci částečnou.

Z mnoha technologických směrů integrované elektroniky mají zásadní význam technika monolitických obvodů a technika obvodů z tenkých vrstev. Jsou založeny na odlišných technologických principech a dosahuje se jimi rozdílného stupně integrace obvodů. Pro řešení některých druhů obvodů se ukázalo jako výhodné sloučit vhodné



Obr. 2. Fotografie obvodů z tenkých vrstev



Obr. 5. Schematické vyjádření základních částí technologického pochodu při výrobě monolitických obvodů

vaných obvodů během větší části technologického pochodu je schematicky vyjádřena na obr. 5.

S postupným zlepšováním reprodukovatelnosti technologických operací se dosáhlo v monolitické technologii takové výtečnosti, že se ukázalo technicky i eko-

nomicky účelné přejít na řešení monolitických soustav. Místo toho, aby se společná křemíková destička dělila, propojuje se přímo jednotlivé obvody na této destičce do funkční soustavy. Tím se získá soustava, která obsahuje stovky i několik tisíc funkčních prvků a může zastávat

velmi složité funkce. Rozhodující přitom je, že výrobní náklady na monolitický obvod nebo na soustavu rostou podstatně pomaleji než složitost obvodu nebo soustavy.

Použití slučitelných materiálů a stejných technologií pro monolitické obvody a monolitické soustavy má hlavní podíl na dosažení velké spolehlivosti. Kromě toho se dosáhne značného zmenšení rozměrů, váhy, objemu a požadavků na spotřebu energie, neboť je to v souladu se snahou o zmenšování geometrie funkčních prvků a se zvětšováním výtečnosti technologie.

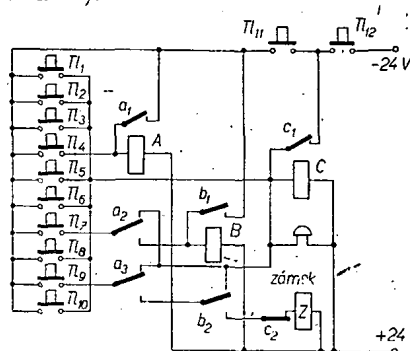
Podobně jako technická náplň není dosud jednoznačně ustálena ani terminologie z oblasti integrované elektroniky. Podle současných zahraničních i našich zkušeností a představ se ukazuje jako účelné použití základních termínů ve smyslu definic uvedených v tabulce. Za poznámku stojí, že další rozvoj progresivních směrů integrované elektroniky vede k soustavnému zavádění dalších termínů a někdy i k přehodnocování významu termínů již zavedených.

Současné s úspěchy, jichž bylo dosud v rozvoji monolitických obvodů dosaženo, se ukazuje, že další vývoj technologické koncepce monolitických obvodů spojitě pokračuje směrem k řešení složitých funkčních soustav a systémů. Tím se monolitické technologii postupně otevírají další rozsáhlé oblasti uplatnění.

Elektrický zámek na kód

Na obr. 1 je schéma zařízení, dovolujícího odemknout dveře jen osobám, které znají kód.

Při sepnutí tlačítek Tl_4 , Tl_7 a Tl_9 v zapojení podle obr. 1 se odemkne elektrický zámek Z . Chceme-li zámek uvést do klidové polohy, stiskneme tlačítko Tl_{11} . Dojde-li neznalosti kódu ke zmáčknutí jiného tlačítka, sepne relé C , které zablokuje zámek Z a zapne zvonek. Tento stav lze zrušit stisknutím tlačítka Tl_{12} . (Tl_{12} a Tl_{11} jsou rozpinací tlačítka).



Relé a napájecí zdroj umístíme do zamykaného objektu, tlačítka Tl_1 až Tl_{11} připevníme zvenčí. Tlačítko Tl_{12} umístíme rovněž zvenčí, ale na skryté místo, známé jen povoláním osobám. Zamykáme-li tímto zámek místnost, zamontujeme v místnosti tlačítko sériově s Tl_{11} .

Relé jsou nejvhodnější telefonní, ostatní součásti jsou libovolné.

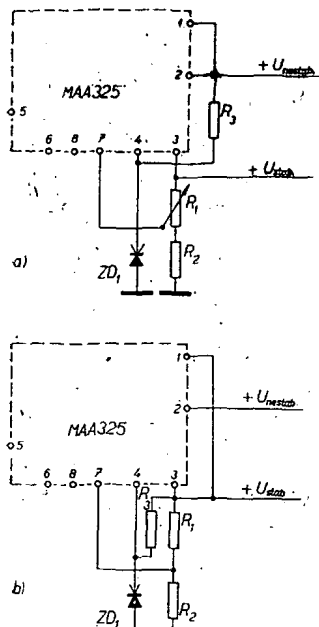
Ž. Šinkorů

Diodový číslicový ukazatel

Nový způsob výroby číslicových indikátorů zavedla firma Hewlett-Packard. Jde o diodové indikátory číslic 0 až 9; vyrábějí se ze světla červené zářivky galium-arsenid-fosfidu. Včetně integrovaného obvodu k dekodování má celek rozměry $15 \times 25 \times 4$ mm. Provozní napětí je jen 5 V.

-Mi-

Termín	Definice termínu
Integrovaná elektronika	Obor mikroelektroniky, zahrnující vytváření mikroelektronického zařízení na základě integrovaných obvodů.
Molekulární elektronika	Obor mikroelektroniky, zahrnující komplex fyzikálních, chemických a technologických problémů, souvisejících s realizací mikrominiaturního elektronického zařízení s použitím různých fyzikálních jevů v molekulách pevných látek.
Obvodová technika integrované elektroniky	Obor mikroelektroniky, zahrnující otázky výpočtu a konstrukce mikroelektronického zařízení na základě integrovaných obvodů.
Mikroelektronická zařízení	Elektronická zařízení, která jsou sestavena převážně z mikroelektronických obvodů.
Mikroelektronický obvod	Obvod v mikrominiaturním provedení, zhotovený na povrchu nebo v objemu pevné látky.
Integrovaný obvod	Obvod zhotovený tak, že prvky v něm obsažené jsou neoddělitelné od povrchu nebo objemu použitého materiálu.
Propojovací síť	Soustava vodičů v obvodu, spojující součástky (spojovací obrazec) navzájem nebo s kontaktními plochami.
Technologie obvodů	Obor mikroelektroniky, zkoumající principy a metody racionálního rozmístění součástí obvodů s přihlédnutím k posloupnosti technologických operací při zhotovování obvodů.
Planární technologie	Souhrn technologických operací k vytvoření polovodičových integrovaných obvodů, jejichž charakteristickým rysem je použití kyslíkové masky k lokální difúzi a k ochraně přechodu p-n a použití fotochemického maskování.
Fotochemické maskování	Způsob získávání mikrolieftu na polovodičové destičce selektivním leptáním přes masku ze světlocitlivé hmoty.
Epitaxe	Pochod při vytváření krystalických polovodičových vrstev, orientovaných určitým způsobem vzhledem k monokrystalickému substrátu.
Reotaxe	Pochod při vytváření krystalické vrstvy na podložce pokryté tenkou vrstvou jiného materiálu, nacházejícího se obvykle v tekutém stavu při formování krystalické vrstvy a odstraňujícího tak vliv struktury podložky.
Předloha mikroobvodu	Topologický výkres integrovaného obvodu zhotovený s velkou přesností ve zvětšeném měřítku vzhledem k rozměrům hotového mikroobvodu.
Fotografická matrice	Negativní nebo pozitivní zobrazení originálu, zhotovené jeho fotografováním s velkou přesností v měř. 1:1 vzhledem k rozměrům hotového mikroobvodu.
Maska	Technologická pomůcka zhotovená s velkou přesností, která zabezpečuje selektivní vytváření jednotlivých částí mikroobvodu tím, že chrání ostatní část podložky před odpovídajícím působením.
Obvod z tenkých vrstev	Obvod, v němž většina součástek funkčního celku je zhotovena technikou tenkých vrstev na společné izolační podložce.
Obvod z tlustých vrstev	Obvod, v němž většina součástek funkčního celku je zhotovena technikou tlustých vrstev na společné izolační podložce.
Monolitický obvod	Obvod zhotovený v jediném krystalu polovodičového materiálu, jehož jednotlivé oblasti zastávají základní elektrické funkce.
Hybridní integrovaný obvod	Obvod zhotovený společným využitím dvou nebo více technologických pochodů.
Molekulární obvod	Obvod uskutečňující přeměnu elektrických signálů na základě využití fyzikálních jevů v molekulách pevné látky, přičemž je v něm nesnadné určit části, odpovídající klasickým součástkám.
Polovodičový obvod, z více destiček	Obvod zhotovený na několika navzájem spojených polovodičových destičkách.
Monolitická soustava se střední složitostí (MSI)	Soustava s méně než sto propojenými obvody, které jsou zhotoveny v jediném krystalu polovodičového materiálu, jehož jednotlivé oblasti zastávají elektrické funkce.
Monolitická soustava s velkou složitostí (LSI)	Soustava s více než sto propojenými obvody, které jsou zhotoveny v jediném krystalu polovodičového materiálu, jehož jednotlivé oblasti zastávají elektrické funkce.
Podložka (substrát)	Základní destička, na jejímž povrchu se zhotovují prvky mikroobvodu.
Polovodičový plátek	Plochý polotovar z polovodičového materiálu, určený k zhotovení monolitických obvodů nebo diskretních součástek.
Destička	Část polovodičového plátku, z něhož je vytvořena diskretní součástka nebo základní monolitický obvod.
Diskretní součástka	Součástka ukončeného konstrukčního provedení, zastávající elementární elektrickou funkci.
Kontaktní plocha	Pokovená plocha, sloužící k připojení diskretních prvků a vnějších vývodů obvodu.

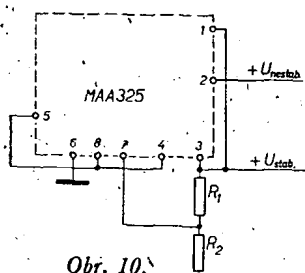


Obr. 9.

výstupního stabilizovaného napětí U_{stab} a odpor R_3 se Zenerovou diodou ZD_1 ve funkci zdroje referenčního (operního) napětí. Varianta na obr. 9a je vhodná pro říditelné výstupní napětí, varianta na obr. 9b pro neříditelné.

Další otázkou je využití zbývajících tranzistorů T_1 . V časopisecké literatuře je publikována řada prací [4], [5], [6] o náhradě Zenerovy diody jinými prvky, nejčastěji kombinací několika přechodů p-n plošného tranzistoru a plošné diody v propustném směru. Důvody pro náhradu bývají různé: cenové (tři germaniové tranzistory staršího typu jsou levnější než jedna Zenerova dioda [4]), lepší tepelná stabilita referenčního napětí, opačný teplotní součinitel zdroje referenčního napětí vzhledem k teplotnímu součiniteli napětí na přechodu báze-emitor tranzistoru porovnávacího zesilovače (tím dochází k vzájemné kompenzaci), apod. Proč se nepokusit využít stejným způsobem zbývajících tranzistorů integrovaného obvodu?

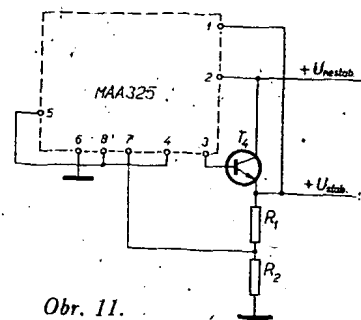
Spojení kolektorového odporu tranzistoru T_1 se společnou svorkou 1 dovolí realizovat jen variantu pro neříditelné výstupní napětí podle obr. 9b. Zapojení celého stabilizátoru je na obr. 10. Počet vnějších součástek se zmenšil na dva odpory R_1 , R_2 pro nastavení úrovně výstupního stabilizovaného napětí U_{stab} . V této aplikaci je třeba dodržet maximální dovolenou kolektorovou ztrátu tranzistoru T_3 , jehož emitorový proud



Obr. 10.
(Odpor R_3 je uzemněn)

je proudem do zátěže stabilizátoru. Výrobce udává [3] pro tranzistor T_3 maximální emitorový proud $I_3 = 40$ mA, napětí mezi kolektorem a emitorem $U_{3,3} = 7$ V a maximální celkovou ztrátu $P_D = 300$ mW. S ohledem na tyto omezující parametry měl by být úbytek napětí na regulačním tranzistoru v rozsahu 1 až 7 V při zatěžovacím proudu stabilizátoru do 40 mA. Jmenovitá hodnota odporů integrovaného obvodu MAA325 je 3,5 k Ω . Odhadneme-li dynamický odpor zdroje referenčního napětí na hodnotu řádově stejnou s malými Zenerovými diodami, tj. kolem 100 Ω , lze očekávat stabilizační činitel $\Delta U_{nestab}/\Delta U_{stab}$ kolem 35. Bude-li proudové zesílení regulačního členu a porovnávacího zesilovače jen 20, lze očekávat, že vnitřní odpor stabilizátoru bude asi 5 Ω . Při změně zatěžovacího proudu od nuly do maxima by výstupní napětí pokleslo o 200 mV za předpokladu konstantního vstupního napětí. Stabilizátor by byl vhodný pro napájení celé vř a mř části kvalitního tranzistorového komunikačního přijímače.

Pro větší zatěžovací proudy není problémem doplnit integrovaný obvod vnějším regulačním tranzistorem T_4 typu n-p-n s větší kolektorovou ztrátou. Zapojení rozšířeného stabilizátoru je na obr. 11.



Obr. 11.

Literatura

- [1] Halbleiter Schaltbeispiele Siemens. Vydání duben 1968.
- [2] Stehno, J.: Integrované obvody Tesla. AR 1/68, str. 17.
- [3] Katalogové listy lineárních integrovaných obvodů Tesly Rožnov.
- [4] Leibowitz, J.: Three low-cost transistors give temperature-stable Zener. Electronic Design, únor 1968.
- [5] Scidmore, F.: Simple diodes keep voltages constant. Electronics 18/65, str. 68.
- [6] Williams, J.: Very low-voltage DC reference. Electronic Engineering, červen 1968, str. 348.

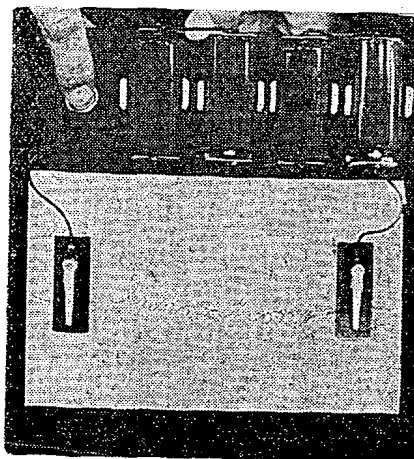
-istor.

Drát s „pamětí“

Při výzkumech nových materiálů v jednom americkém leteckém výzkumném ústavu se jednomu z pracovníků podařilo vyvinout zajímavou slitinu – drát z ní zhotovený má schopnost „pamatovat si“ tvar. Jde o slitinu niklu a titania, zvanou 55-Nitinol.

Během laboratorních zkoušek tohoto nemagnetického a nekorodujícího materiálu se ukázalo, že drát z této slitiny, zformovaný do libovolného tvaru v ohřátém stavu, ochlazený a znovu narovnaný, získá při opětovném zahřátí stejný tvar, jaký měl při původním zformování. Dokladem toho jsou obr. 1 a 2, na nichž je drát v zahřátém stavu uspořádán do tvaru slova Innovation, pak ochlazen a různě zprohýbán (obr. 1). Po zahřátí se drát vrací do původního tvaru (obr. 2).

Zdálo by se, že tento objev není prakticky příliš využitelný – je to však jen zdání. Firma Goodyear Aerospace Corp. předváděla z této slitiny anténu pro družici, která se na zemi vytvaruje do potřebného tvaru, pak se složí do velmi malého prostoru a je-li družice na oběžné dráze, složená anténa se ohřeje proudem ze slunečních baterií a tím se rozvine do



Obr. 2.

tvaru, do něhož byla za tepla na zemi původně zformována.

Vynálezce tvrdí, že tohoto objevu lze využít např. i k přeměně tepelné energie na mechanickou a k jiným ryze praktickým účelům.

Time Magazine 1968

-Mi-

Stroj pro vyučování hudbě

Firma Philips uvedla na veletrhu ve Frankfurtu zajímavý vyučovací stroj, na němž se simultánně může vyučovat hudbě. Jeden učitel může pomocí tohoto stroje vyučovat několik žáků současně a stroj zabezpečuje maximální učební možnosti pro každého jednotlivého žáka.

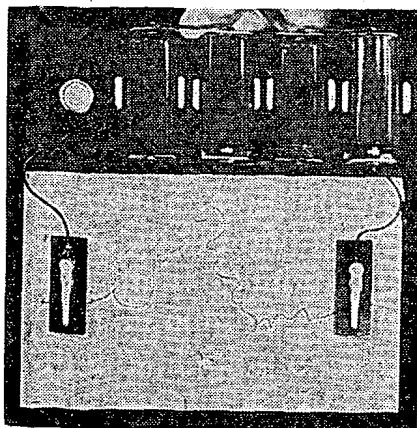
Funktechnik 6/69

-Mi-

P-n-p versus n-p-n

Ke snadné orientaci v polaritě tranzistorů zavedla firma Intermetall u svých nových výrobků zajímavou novinku: tranzistory, vyráběné dosud všechny v pouzdech z černé plastické hmoty, budou mít napříště, jde-li o typy p-n-p, pouzdro ze zelené plastické hmoty.

-chá-



Obr. 1.

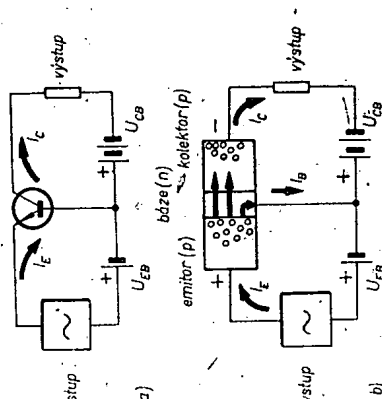
Kontrolní test 2-38: A 3), B 3), C 2).
Kontrolní test 2-39: A 1), B 2).

Na obrázku 103 jsou současně pro porovnání i odpovídající základní zapojení vakuové triody. Zapojení tranzistoru se společnou bází odpovídá zapojení vakuové triody se společnou mřížkou; zapojení tranzistoru se společným emitemorem odpovídá zapojení vakuové triody se společnou — (1) a konečně zapojení tranzistoru se společným kolektorem odpovídá zapojení vakuové triody se společnou anodou.

Zapojení tranzistoru se společnou bází — zkráceně je označujeme symbolem SB — je i s odpovídajícím zapojením vakuové triody na obr. 103a. Zapojení tranzistoru se společným emitemorem (SE) je s odpovídajícím zapojením vakuové triody na obr. 103b. (2) a zapojení tranzistoru se společným kolektorem (SC) s odpovídajícím zapojením vakuové triody na obr. 103c.

Odpovědi: (1) katoda, (2) 103b.

Podmínkou dobré činnosti tranzistoru je vhodné nastavení jeho pracovního režimu. Připomeňme si podmínky nutné pro činnost vakuové triody. Vakuové triody musí být především vyžhaveny, dále se musí mezi jejich anodu a katodu připojit vhodné stejnosměrné napětí (obvykle tak, aby anoda byla — (1) proti katodě), a konečně musí mít určité stejnosměrné napětí i mřížka triody (zpravidla to bývá tzv. záporné mřížkové předpětí — to znamená, že mřížka má jisté záporné napětí proti katodě triody). Nastavením těchto obvodových veličin jsou vytvořeny podmínky pro uspokojivou činnost vakuové triody — říkáme, že je nastaven její pracovní režim. Také pro uspokojivou činnost tranzistoru je třeba nastavit jeho správný pracovní režim — znamená to připojit správně potřebná stejnosměrná napětí na jednotlivé elektrody tranzistoru. Pro správnou činnost tranzistoru je třeba připojit stejnosměrná napětí tak, aby jeho přechod emitor – báze (tzv. emitorová dioda) byl zapojen v propustném směru, přechod kolektor – báze



Obr. 104.

(Šipka na emitoru tranzistoru má směřovat k bází) (tzv. — (2) díloda) musí být zapojen v nepropustném směru.

Jak tyto požadavky zajistíme? U tranzistorů typu p-n-p to znamená, že je třeba připojit vnější zdroje (nebo zdroje) stejnosměrného napětí k tranzistoru tak, aby emitor byl připojen na kladný pól zdroje (opět vzhledem k bází kolektor na záporný pól). Jak je tomu u tranzistorů typu n-p-n? Aby přechod emitor-báze byl zapojen v propustném směru, musíme připojit stejnosměrný zdroj tak, aby emitor byl proti bází tranzistoru — (3). Aby byl přechod kolektor-báze zapojen v nepropustném směru, musíme připojit stejnosměrný zdroj tak, aby kolektor tranzistoru byl proti bází kladnější.

Tím přicházíme k důležitému poznatku: polarita stejnosměrných napětí zdrojů pro nastavení pracovního režimu musí být u tranzistorů typu n-p-n opačná než u tranzistorů typu p-n-p.

Odpovědi: (1) kladná, (2) kolektorová, (3) záporná.

Zapojení tranzistoru typu p-n-p se společnou bází včetně stejnosměrných zdrojů je na obr. 104. Emitor je připojen na kladný

PROGRAMOVANÝ KURS ZÁKLADŮ RADIOELEKTRONIKY

v zapojení se společnou bází nebo se společným emitemorem.

Výstupní odpor: malý, nejmenší ze všech tří základních zapojení tranzistoru.

Proudové zesílení: velké, přibližně stejné jako v zapojení se společným emitemorem.

Napětové zesílení: menší než jedna, výstupní napětí je ve fázi se vstupním napětím.

Výkonové zesílení: menší než v zapojení se společnou bází nebo se společným emitemorem.

Odpovědi: (1) kolektorem, (2) propustným, (3) velký, (4) báze, (5) 2a.

Porovnáme-li jednotlivá zapojení tranzistoru podle jejich hlavních vlastností, zjistíme, že nejvýhodnější vlastnosti má zapojení se společným emitemorem. Jediné u tohoto zapojení se setkáváme s proudovým napětovým i — (1) zesílením. Rozdíl mezi velikostí vstupního a výstupního odporu je u tohoto zapojení nejmenší; zapojení se společným kolektorem má vstupní odpor mnohem větší než výstupní, zapojení se společnou bází má naopak vstupní odpor mnohem — (2) než výstupní. Podstatně menší rozdíl velikosti vstupního a výstupního odporu tranzistoru zapojeného se společným emitemorem je výhodný při spojování několika tranzistorových stupňů. Stejně výhodné vlastnosti má u vakuových elektronek zapojení se společnou katodou, které je také jejich nejpoužívanějším zapojením. I v tranzistorové technice se nejčastěji používá zapojení se společným emitemorem. Zapojení se společnou bází nebo se společným kolektorem se používá méně často, jen ve zvláštních případech.

Odpovědi: (1) výkonovým, (2) menší.

- KONTROLNÍ TEST 2-41
- Nejpoužívanějším zapojením tranzistoru je 1) zapojení se společnou bází, 2) zapojení se společným emitemorem, 3) zapojení se společným kolektorem.
 - Nejpoužívanějším zapojením tranzistoru odpovídá zapojení vakuové triody 1) se společnou katodou, 2) se společnou mřížkou, 3) se společnou anodou.
 - U zapojení tranzistoru se společným emitemorem se přivádí vstupní signál mezi 1) bází a kolektorem, 2) mezi emitem a kolektorem, 3) mezi emitem a bází.
 - Pro určitý typ tranzistoru udává výrobců $\alpha = 0,98$. Proudový zesilovací činitel tohoto tranzistoru zapojeného se společným emitemorem je $\beta =$ —.

Zapojení se společným emitemorem (obr. 103b)

Vstupní odpor: malý, avšak větší (asi desetkrát) než v zapojení se společnou bází.

Výstupní odpor: velký, ale menší (asi stokrát) než v zapojení se společnou bází.

Proudové zesílení: velké, prakticky řádu desítek až kolem několika set. Obvykle se uvádí proudový zesilovací činitel tranzistoru v zapojení se společným emitemorem

$$\beta = \frac{I_c}{I_b}$$

Tento činitel je určen podobně jako u zapojení tranzistoru se společnou bází, tj. jako poměr změny výstupního proudu ke změně proudu vstupního. Výstupním proudem je i v tomto případě, stejně jako u zapojení se společnou bází, kolektorový proud, vstupním proudem je však proud — (4). Mezi proudovým zesilovacím činitelem β tranzistoru zapojeného se společným emitemorem a proudovým zesilovacím činitelem α tranzistoru zapojeného se společnou bází platí vztah:

$$\beta = \frac{\alpha}{1 - \alpha}$$

Předpokládejme např. tranzistor, pro který udává výrobce $\alpha = 0,96$. Použijeme-li tento tranzistor v zapojení se společným emitemorem, bude jeho proudový zesilovací činitel

$$\beta = \frac{0,96}{1 - 0,96} = \text{— (5) —}$$

Napětové zesílení: velké, přibližně stejné jako v zapojení se společnou bází. Výstupní napětí je však proti vstupnímu napětí otočeno o 180° .

Výkonové zesílení: velké, větší než v zapojení se společnou bází.

Zapojení se společným kolektorem (obr. 103c)

Vstupní odpor: velký, mnohem větší než

pól zdroje stejnosměrného napětí (vzhledem k bázi tranzistoru), kolektor je připojen na ————— (1) pól zdroje vzhledem k bázi. Touto polaritou vnějších stejnosměrných zdrojů je splněn požadavek, aby emitorová dioda byla zapojena v ————— (2) směru a kolektorová dioda ve směru nepropustném.

Na obr. 104b jsou naznačeny poměry uvnitř vlastního tranzistoru. Všimněme si nejprve samotné kolektorové diody, tj. přechodu kolektor–báze, který je zapojen v ————— (3) směru. Zdroj emitorového napětí není zatím připojen; emitorovým přechodem tedy neprotéká žádný proud. Ani kolektorovým přechodem neprotéká proud vzhledem k tomu, že je zapojen v nepropustném směru (nepatrný závěrný proud způsobený minoritními nositeli zatím zanedbáme). Kolektorový proud můžeme tedy napsat jako $I_c = 0$.

Zamyslete se nyní nad tím, jak se změní poměry, připojíme-li zdroj stejnosměrného napětí v emitorovém obvodu!

Odpovědi: (1) záporný, (2) propustným, (3) nepropustným.

Pročtože zdroj v emitorovém obvodu je připojen tak, aby emitorový přechod byl zapojen v propustném směru, začne po jeho připojení protékat přechodem emitor–báze proud I_E . To znamená, že z emitoru do báze začnou přecházet majoritní nositele proudu, v našem případě kladné díry. Díry začnou tedy přecházet z emitoru do ————— (1) tranzistoru. Část proudu odtече obvodem báze – proud báze I_B . Pročtože báze tranzistoru je velmi tenká, pronikne většina děr z emitoru přes bázi až ke kolektorovému přechodu. Kolektorový přechod nepředstavuje vzhledem k polaritě kolektorového stejnosměrného napětí pro díry překážku – víme, že v našem případě je kolektor záporný – a proto bude díry pronikající z emitoru přes bázi ke kolektorovému přechodu přitahovat. Díry proniknou tedy i přes ————— (2) přechod a kolektorovým obvodem, jímž původně proud neprotékal, začne protékat proud I_C .

Vlivem toho, že emitorovým obvodem začal protékat emitorový proud I_E , začal tedy protékat proud i jeho kolektorovým obvodem, jinými slovy můžeme říci, že proud proudu vstupním obvodem tranzistoru (tj. emitorovým obvodem) vyvolá průtok proudu i jeho výstupním obvodem (tj. ko-

lektorovým). Pokusem si lze snadno ověřit, že např. zvětšení vstupního proudu I_E vyvolá úměrně zvětšení výstupního proudu I_C ; podobně zmenšení vstupního proudu se projeví úměrným ————— (3) výstupním proudem.

Kolektorový proud I_C je ovšem vždy poněkud menší než emitorový proud I_E . Je to proto, že z emitoru do kolektoru neprojdou všechny díry – část jich ubude v podobě proudu ————— (4) I_B . Vychází to z tzv. proudový zesilovací činitele tranzistoru α , který je definován jako poměr změny vstupního proudu a odpovídající změny výstupního proudu

$$\alpha = \frac{\Delta I_C}{\Delta I_E}$$

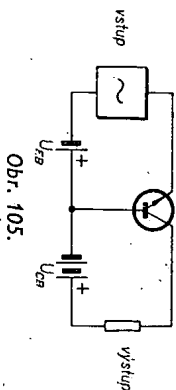
Pročtože změna kolektorového proudu je vždy menší než změna emitorového proudu, nemůže být velikost proudového zesilovacího činitele α větší než ————— (5). Zesilovací čítnel α bude tím větší, čím je báze tranzistoru tenčí, neboť tím více elektronů pronikne z emitoru až do kolektoru a méně jich tedy odtече v podobě proudu ————— (6). U běžných tranzistorů se velikost α pohybuje mezi 0,95 až asi 0,98.

Odpovědi: (1) báze, (2) kolektorový, (3) zmenšením, (4) báze, (5) jedna, (6) báze.

Přestože proudové zesílení tranzistoru v zapojení se společnou bází je menší než jedna, lze v tomto zapojení získat zesílení napětí a výkonu. Vstupní odpor tranzistoru, tj. odpor emitorové diody zapojené v propustném směru, je totiž mnohem menší než jeho výstupní odpor, tj. odpor kolektorové diody, která je zapojena v ————— (1) směru. Kolektor tranzistoru proto dává na svém pracovním odporu větší výkon a napětí, než je výkon a napětí na jeho vstupu, tj. na emitoru.

Vlastnosti ostatních dvou zapojení tranzistoru, tj. zapojení se společným emitemorem a se společným ————— (2) si všimneme později. Nyní si ještě vysvětlíme funkci tranzistoru typu n–p–n. Vydáme opět ze zapojení se společnou bází.

Funkce tranzistoru typu n–p–n je podobná funkci tranzistoru typu p–n–p, kterou jsme si již zjednodušeně popsal. Opět musí být splněny podmínky, že emitorová dioda je zapojena v propustném směru a kolektor-



Obr. 105.

vá dioda v ————— (3) směru. U tranzistoru typu n–p–n jsou tyto podmínky splněny tehdy, má-li emitor tranzistoru proti bázi ————— (4) stejnosměrné předpětí; kolektor proti bázi musí mít předpětí ————— (5) (viz základní zapojení na obr. 103).

Je-li nastaveno předpětí požadované polaritě v emitorovém i kolektorovém obvodu, vznikne v emitorovém obvodu pohyb majoritních nositelů, v tomto případě ————— (6) směrem k bázi. Emitorový

přechod je zapojen v propustném směru, emitorový jím tedy snadno projdou, vznikne emitorový proud I_E . Část elektronů odtече v podobě proudu báze I_B , větší část elektronů projde bázi ke kolektorovému přechodu a dále přes něj, neboť při dané polaritě kolektorového napětí není tento přechod pro ně překážkou. Vznikne tedy i u tohoto typu tranzistoru vlivem protékajícího emitorového proudu proud kolektorový. Podobně jako u tranzistoru p–n–p platí, že kolektorový proud je o něco menší než proud emitoru, takže proudový zesilovací čítnel je menší než ————— (7); dochází však k zesílení napětí i výkonu.

Odpovědi: (1) nepropustným, (2) kolektorovým, (3) nepropustným, (4) záporné, (5) kladné, (6) elektronů, (7) jedna.

- KONTROLNÍ TEST 2–40**
- Elektrody tranzistoru a vakuové triody můžeme vzájemně porovnávat, pokud jde o jejich základní funkci. Emitoru tranzistoru přitom odpovídá v vakuové triodě 1) smířka, 2) anoda, 3) katoda.
 - K zajištění uspokojivé funkce tranzistoru p–n–p musí být tažba polarita vnějších stejnosměrných napětí:
 - emitor proti bázi kladný, kolektor proti bázi záporný,
 - emitor proti bázi záporný, kolektor proti bázi kladný,
 - emitor proti bázi záporný, kolektor proti bázi záporný.
 - K zajištění uspokojivé funkce tranzistoru typu n–p–n musí být tato polarita vnějších stejnosměrných napětí:
 - emitor proti bázi kladný, kolektor proti bázi záporný,
 - emitor proti bázi záporný, kolektor proti bázi kladný,
 - emitor proti bázi záporný, kolektor proti bázi záporný.
 - Proudový zesilovací čítnel tranzistoru a je 1) menší než jedna, 2) větší než jedna, 3) rovný jedné.

Základní zapojení tranzistorů

Při výkladu funkce tranzistoru jsme vyšli z jeho zapojení se společnou bází – přitom jsme poznali i některé nejdůležitější vlastnosti tranzistoru v tomto zapojení. Také jsme se již zmínili o dalších možných zapojeních tranzistoru, tj. o zapojení se společným emitemorem a o zapojení se společným ————— (1). Tato tři základní zapojení tranzistoru jsou zakreslena i s odpovídajícími zapojeními vakuové triody na obr. 103. Shrňme si nyní stručně hlavní vlastnosti těchto zapojení. Předem můžeme říci, že tyto základní vlastnosti jednotlivých zapojení tranzistoru se v mnohém podobají vlastnostem odpovídajících zapojení s vakuovými elektronkami:

Zapojení se společnou bází (obr. 103a)

Vstupní odpor: velmi malý, řádu desítek až stovek ohmů [jde o odpor emitorové diody, tj. diody zapojené v ————— (2) směru a vykazující tedy jen malý odpor].
Výstupní odpor: velký, řádu stovek kilohmů až několika megaohmů, [jde o podstatě o odpor kolektorové diody, tj. diody zapojené v nepropustném směru a vykazující tedy ————— (3) odpor].
Proudové zesílení: menší než jedna.

$$\frac{\Delta I_C}{\Delta I_E} < 1$$

Napětové zesílení: velké, výstupní napětí je ve fázi s napětím vstupním.
Výkonové zesílení: velké (vzhledem k velkému výstupnímu odporu).

PROGRAMOVANÝ KURS ZÁKLADŮ RADIOELEKTRONIKY

Typ	Druh	Použití	U_{CE} [V]	I_C [mA]	h_{FE} h_{FE}^*	f_T [MHz]	T_a [°C]	P_{tot} P_{C^*} max [mW]	U_{CE} max [V]	U_{CE} max [V]	I_C max [mA]	T_j max [°C]	Pouzdro	Výrobce	Patice	Náhrada TESLA	Rozdíly					
																	P_C	U_C	f_T	h_{FE}	S_{pin} [V]	F
AC342	Gj n	NF	2	3	80—150		45	50*	24		10	60	TO-1	Ei	3	GC526m	>	>				
AC350	Gj n	NF	2	10	40—120		45	90*	32		50	60	TO-1	Ei	3	101NU71	>	=				
AC351	Gj n	NF	2	10	45—330		45	90*	32		125	60	TO-1	Ei	3	102NU71	>	=				
AC502	Gj p	NF	1	20	34—65	>1	25	150	16	16	100	85	TO-5	Iskra	2	GC516	=	>	<			>
AC503	Gj p	NF	1	20	53—121	>1,2*	25	150	16	16	100	85	TO-5	Iskra	2	GC517	=	>	<			>
AC504	Gj p	NF	1	20	72—189	>1,6*	25	150	16	16	100	85	TO-5	Iskra	2	GC518	=	>	<			>
AC508	Gj p	NF-nš	1	20	100—198	>2,4*	25	150	16	16	100	85	TO-5	Iskra	2	GC519	=	>	<			>
AC509	Gj p	NF-nš	1	20	100—198	>2,4*	25	150	16	16	100	85	TO-5	Iskra	2	GC519	=	>	<			>
AC515	Gj p	NF	1	20	60	2,5*	25	150	25	16	100	85	TO-5	Iskra	2	GC517	=	>	<			
AC516	Gj p	NF	1	20	95	3*	25	150	25	16	100	85	TO-5	Iskra	2	GC518	=	>	<			
AC517	Gj p	NF	1	20	45	2*	25	240	30	20	200	85	TO-5	Iskra	2	GC507	<	=	<			>
AC518	Gj p	NF	1	20	85	3*	25	240	30	20	200	85	TO-5	Iskra	2	GC507	<	=	<			>
AC519	Gj p	NF	1	20	25—45	>0,8*	25	200	30	20	200	85	TO-5	Iskra	2	GC507	<	=	<			>
AC520	Gj p	NF	1	20	34—65	>1*	25	200	30	20	200	85	TO-5	Iskra	2	GC507	<	=	<			>
AC521	Gj p	NF	1	20	53—121	>1,6*	25	200	30	20	200	85	TO-5	Iskra	2	GC508	<	=	<			>
AC524	Gj p	NF, Sp	1	20	19—42	>0,8*	25	225	45	30	500	85	TO-5	Iskra	2	GC502	>	<			n	=
AC525	Gj p	NF, Sp	1	20	34—65	>1*	25	225	45	30	500	85	TO-5	Iskra	2	GC502	>	<			n	=
AC526	Gj p	NF, Sp	1	20	53—90	>1,3*	25	225	45	30	500	85	TO-5	Iskra	2	GC502	>	<			n	=
AC527	Gj p	NF, Sp	1	20	72—121	>1,5*	25	225	45	30	500	85	TO-5	Iskra	2	GC502	>	<			n	=
AC540	Gj p	NF	3	2	30—70*	0,5*	25	150	24	15	10	75	TO-58	Ei	2	GC516	<	>				=
AC541	Gj p	NF	3	2	50—100*	0,75*	25	150	24	15	10	75	TO-58	Ei	2	GC517	<	>				=
AC542	Gj p	NF	3	2	80—200*	1*	25	150	24	15	10	75	TO-58	Ei	2	GC518	<	>				=
AC550	Gj p	NF	1	50	40—150	1*	25	220	32	15	200	75	TO-58	Ei	2	GC507	<	=				=
AC551	Gj p	NF	3	10	50—300	1,5*	25	220	32	15	200	75	TO-58	Ei	2	GC508	<	=				=
AC551R	Gj p	NF-nš	3	10	50—300	1,5*	25	220	32	15	200	75	TO-58	Ei	2	GC508	<	=				>
AC552	Gj p	NF	3	10	50—120	1*	25	220	60	24	200	75	TO-18	Ei	2	GC509	<	=				=
AC553	Gj p	NF	1	50	50—150	1,5*	25	220	20	15	300	75	TO-18	Ei	2	GC500	>	>				=
AC554	Gj p	NF	1	50	75—150	1,5*	25	220	24	15	300	75	TO-18	Ei	2	GC501	>	=				=
AC555	Gj p	NF	1	50	50—250	2*	25	220	32	15	300	75	TO-18	Ei	2	GC502	>	=				=
AC570	Gj p	NF, Sp	1	100	17—40	>0,8*	25	225	70	40	500	85	TO-5	Iskra	2	GC509	<	<			n	=
AC571	Gj p	NF, Sp	1	100	30—62	>1*	25	225	70	40	500	85	TO-5	Iskra	2	GC509	<	<			n	=
AC572	Gj p	NF, Sp	1	100	47—84	>1,3*	25	225	70	40	500	85	TO-5	Iskra	2	GC509	<	<			n	=
AC573	Gj p	NF, Sp	1	100	65—110	>1,5*	25	225	70	40	500	85	TO-5	Iskra	2	GC509	<	<			n	=
AC577	Gj p	NF, Sp	1	100	45—110	>1,3*	25	225	70	30	500	85	TO-5	Iskra	2	GC509	<	<				=
AC598	Gj p	NF	1	100	20—60	>1*	25	150	105	60	200	85	TO-5	Iskra	2							
ACY16	Gj p	NF	1	300	60 > 40		45c	800	40	30	400		TO-1K	T	2	GC510K	>	<				>
ACY17	Gj p	NF	0	300	50—150	1	45	180	70	32	500	90	TO-5	M	2	GC509	=	<	<			n
ACY18	Gj p	NF	0	300	40—120	1	45	180	50	30	500	90	TO-5	M	2	GC509	=	>	<			n
ACY19	Gj p	NF	0	300	80—250	1,3	45	180	50	30	500	90	TO-5	M	2	GC509	=	>	<			n
ACY20	Gj p	NF	0	50	50—145	1	45	180	40	20	500	90	TO-5	M	2	GC507	=	<	<			n
ACY21	Gj p	NF	0	50	90—250	1,3	45	180	40	20	500	90	TO-5	M	2	GC508	=	<	<			n
ACY22	Gj p	NF	0	300	30—300	1	45	180	20	15	500	90	TO-5	M	2	GC501	=	=	<			
ACY23	Gj p	NF	5	1	V:50—100* VI:75—150*	1,5 > >0,5	45	150	32	30	200	90	1A3	S	2	GC517 GC518	=	=				n
ACY24	Gj p	NF	1	150	40 > 25		45c	530	70	50	300	85	TO-1K	T	2	—						n
ACY27	Gj p	NF	0,2	20	20—60	0,5—2	25	200	40	20		75	SO-2	STC	8	GC515 GC516	<	<				=
ACY28	Gj p	NF	0,2	20	33—100	0,5—3	25	200	40	15		75	SO-2	STC	8	GC508	<	<				>
ACY29	Gj p	NF-nš	12	1	45—150*	0,5—3	25	200	40	15		75	SO-2	STC	8	GC517	<	<				>
ACY30	Gj p	NF	0,3	125	31—120	0,7—3	25	200	40	20		75	SO-2	STC	8	GC517	<	<				=
ACY31	Gj p	NF	12	1	35—70*	0,7—2	25	200	40	30		75	SO-2	STC	8	GC517 GC509	=	<				=
ACY32	Gj p	NF-nš	5	1	V:50—100 VI:75—150	1,5 > >0,5	45	150	32	30	200	90	1A3	S	2	GC517 GC518	=	=				>
ACY33	Gj p	NF	0	300	V:50—100 VI:75—150 VII:125—250	1,5 > >0,5	45c	1,1 W	32	32	1 A	90	1A3	S	2	GC510K GC510K GC511K	=	=				n
ACY34	Gj p	NF	2	0,5	20—40	>0,2	25	200	30	10		75	SO-2	STC	8	GC515	<	=				=
ACY35	Gj p	NF	2	3	30—75	>0,3	25	200	30	10		75	SO-2	STC	8	GC516	<	=				=
ACY36	Gj p	NF	0,7	80	30—90	>0,35	25	200	32	16		75	SO-2	STC	8	GC507	=	=				=
ACY38	Gj p	NF-nš	6	1	VI:75—150* VII:125—250*	15 > 5	25	150	15		100	85	TO-5	C	2	—						
ACY38W	Gj p	NF-nš	6	0,3	VI:80* VII:140*	15 > 5	25	150	15		100	85	TO-5	C, D	2	—						
ACY39	Gj p	NF, Sp	0	2 A	20—65	1	45	180	110	40	2 A	90	TO-5	M	2	—						
ACY40	Gj p	NF, Sp	0	2 A	10—25	0,8	45	180	32	18	2 A	90	TO-5	M	2	GC510K	>	=				
ACY41	Gj p	NF, Sp	0	2 A	20—80	0,6	45	180	32	18	2 A	90	TO-5	M	2	GC510K	>	=				
ACY44	Gj p	NF, Sp	0	500	30—110	1	45	180	50	30	2 A	90	TO-5	M	2	GC510K	>	=				
ACZ10	Gj p	NFv	1	150	50 > 25		45c	400	70	70	300	75	TO-1	T	1	GC509	<	<				

Typ	Druh	Použití	U _{CE} [V]	I _C [mA]	h _{FE} h _{FE} *	f _T [MHz]	T _c [°C]	P _{tot} P _C * [mW]	U _{CB} max [V]	U _{CE} max [V]	I _C max [mA]	T _j max [°C]	Pouzdro	Výrobce	Patice	Náhrada TESLA	Rozdíly:					
																	P _C	U _C	f _T	h _{FE}	Spin. vl.	F
AD103	Gj p	NFv	0,5	500	30—75	0,2*	45c	22,5W	50	32	15 A	90	TO-3	S	31	2NU74	>	=	=	=	=	n
AD104	Gj p	NFv	0,5	500	28—70	0,2*	45c	22,5W	65	45	10 A	90	TO-3	S	31	4NU74	>	=	=	=	=	n
AD105	Gj p	NFv	0,5	500	25—40	—	60c	15 W	85	60	8 A	90	TO-3	S	31	6NU74	>	=	=	=	=	n
AD130	Gj p	NFv, Sp	1	1 A	III: 20—40 IV: 30—60 V: 50—100	0,35	45c	30 W	32	30	3 A	90	TO-3	S	31	2NU74 2NU74 3NU74	>	>	>	>	>	n
AD131	Gj p	NFv, Sp	1	1 A	III: 20—40 IV: 30—60 V: 50—100	0,35	45c	30 W	64	45	3 A	90	TO-3	S	31	4NU74 4NU74 5NU74	>	>	>	>	>	n
AD132	Gj p	NFv, Sp	1	1 A	III: 20—40 IV: 30—60 V: 50—100	0,35	45c	30 W	80	60	3 A	90	TO-3	S	31	6NU74 6NU74 7NU74	>	>	>	>	>	n
AD133	Gj p	NFv, Sp	0,5	5 A	III: 20—40 IV: 30—60 V: 50—100	0,3	45c	36 W	50	32	15 A	100	TO-41	S	31	2NU74 2NU74 3NU74	>	>	>	>	>	n
AD134	Gj p	NFv, Sp	0,5	5 A	III: 20—40 IV: 30—60 V: 50—100	0,3	45c	36 W	65	45	10 A	90	TO-41	S	31	4NU74 4NU74 5NU74	>	>	>	>	>	n
AD135	Gj p	NFv, Sp	0,5	5 A	II: 12—25 III: 20—40 IV: 30—60	—	45c	30 W	80	60	8 A	90	TO-41	S	31	6NU74 6NU74 6NU74	>	>	>	>	>	n
AD136	Gj p	NFv, Sp	0,5	5 A	III: 20—40 IV: 30—60 V: 50—100	0,3	45c	11 W	40	22	10 A	100	TO-8	S, T	2	OC26 OC26 OC27	>	>	>	>	>	n
AD138	Gj p	NFv	1,5	5 A	42 > 25	—	45c	30 W	40	30	8 A	90	TO-3	T	31	2NU74	>	>	>	>	>	n
AD138/50	Gj p	NFv	1,5	5 A	42 > 25	—	45c	30 W	70	50	8 A	90	TO-3	T	31	6NU74	>	>	>	>	>	n
AD139	Gj p	NFv	0	3 A	19—85	> 0,4	38c	13 W	32	16	1 A	90	SOT-9	P, V, T, S	31	OC26	=	=	<	=	=	n
AD140	Gj p	NFv	1	1 A	30—100	—	38c	35 W	55	40	3 A	90	TO-3	M	31	3NU74	>	=	=	=	=	n
AD142	Gj p	NFv	2	1 A	4:30—60 5:50—110 6:100—170	0,45	35c	30 W	80	50	10 A	100	TO-3	ATES	31	4:6NU74 5:7NU74 6:7NU74	>	>	>	>	>	n
AD143	Gj p	NFv	2	1 A	4:30—60 5:50—100 6:100—170	0,45	35c	30 W	40	40	10 A	100	TO-3	ATES	31	4:2NU74 5:3NU74 6:3NU74	>	>	>	>	>	n
AD145	Gj p	NFv	2	1 A	> 30	—	55c	30 W	30	15	10 A	100	TO-3	ATES	31	2NU74	>	>	>	>	>	n
AD148	Gj p	NFv	1	1 A	IV: 30—60 V: 50—100	0,45	45c	13,5W	32	32	2 A	100	SOT-9	S	31	OC26 OC27	=	=	=	=	=	n
AD149	Gj p	NFv, HZv	0	1 A	IV: 30—60 V: 50—100	> 0,3	45c	27,5W	50	30	3,5 A	100	TO-3	S, T, V, P	31	—	>	>	>	>	>	n
AD150	Gj p	NFv	1	1 A	IV: 30—60 V: 50—100	0,45	45c	27,5W	32	30	3,5 A	100	TO-3	S, T	31	—	>	>	>	>	>	n
AD152	Gj p	NFv	1	500	35—160	—	45c	6 W	45	23	1 A	90	9A2	T	31	OC30 4NU72	>	>	>	>	>	n
AD153	Gj p	NFv	2	2 A	Y: 30—70 X: 50—100	0,5	45c	33 W	40	40	3 A	95	TO-3	D	31	2NU74 3NU74	>	>	>	>	>	n
AD155	Gj p	NFv	1	500	115 > 35	—	45c	6 W	25	15	1 A	90	9A2	T	31	OC30	>	>	>	>	>	n
AD156	Gj p	NFv	1	300	V: 50—100 VI: 75—150 VII: 125—250	1,5	45c	6 W	32	15	2 A	90	SOT-9	S	31	V: OC30	>	>	>	>	>	n
AD157	Gj p	NFv	1	300	50—250	1,5	45c	6 W	32	24	2 A	90	SOT-9	S	31	OC30	>	>	>	>	>	n
AD159	Gj p	NFv, Sp	0,5	5 A	48 > 15	0,3	45	9 W	40	25	8 A	90	8A3	T	2	4NU73	>	>	>	>	>	n
AD160	Gj p	NFv, Sp	0,5	5 A	105 > 50	0,3	45c	9 W	40	30	10 A	90	8A3	T	2	3NU74 OC27	>	>	>	>	>	n
AD161	Gj n	NFv	1	500	50—350	3 > 1	64c	3 W	32	20	1 A	90	SOT-9	S, T, V	31	GD607 GD608	>	>	>	>	>	n
AD162	Gj p	NFv	1	500	V: 50—100 VI: 75—150 VII: 125—300	1,5 > 1	64c	3 W	32	20	1 A	90	SOT-9	S, T, V	31	GD617 GD617 GD618	>	>	>	>	>	n
AD163	Gj p	NFv	0,5	1 A	II: 12—25 III: 20—40 IV: 30—60	0,35	45c	30 W	100	80	3 A	90	TO-3	S	31	6NU74 6NU74 6NU74	>	>	>	>	>	n
AD164	Gj p	NFv	1	500	185 > 60	—	45c	6 W	25	20	2 A	90	9A2	T	31	OC30 GD617	>	>	>	>	>	n
AD165	Gj n	NFv	1	500	185 > 60	—	45c	5,3 W	25	20	2 A	90	9A2	T	31	GD607	>	>	>	>	>	n
AD166	Gj p	NFv	2	1 A	40—250	3	45c	27,5W	60	40	5 A	100	3B2	S	31	5NU74	>	=	<	<	<	n
AD167	Gj p	NFv	2	1 A	100—250	4	45c	27,5W	75	50	5 A	100	3B2	S	31	5NU74	>	=	<	<	<	n
AD169	Gj p	NFv	1	500	35—160	—	45c	6 W	45	26	1 A	90	9A2	T	31	GD617	>	>	>	>	>	n
AD430	Gj p	NFv	7	500	25—50	0,2	25	5 W	16	16	1,4 A	75	TO-3	Ei	31	OC30	=	=	=	=	=	n
AD430/20	Gj p	NFv	1	200	30	—	25	5 W	30	20	1 A	80	9A2	Iskra	31	3NU72	=	=	=	=	=	n
AD430/40	Gj p	NFv	1	200	30	—	25	5 W	50	40	1 A	80	9A2	Iskra	31	4NU72	=	=	=	=	=	n
AD430/60	Gj p	NFv	1	200	30	—	25	5 W	70	60	1 A	80	9A2	Iskra	31	5NU72	=	=	=	=	=	n
AD431	Gj p	NFv	7	500	75 > 50	0,2	25	5 W	16	16	2 A	75	TO-3	Ei	31	OC30	=	=	=	=	=	n
AD431/20	Gj p	NFv	1	500	30	—	25	5 W	30	20	1,5 A	85	9A2	Iskra	31	3NU72	<	=	=	=	=	n
AD431/40	Gj p	NFv	1	500	30	—	25	5 W	50	40	1,5 A	85	9A2	Iskra	31	4NU72	<	=	=	=	=	n
AD432	Gj p	NFv	7	300	16—90	0,2	25	6 W	24	16	1,5 A	75	TO-3	Ei	31	OC30	<	>	=	=	=	n
AD433	Gj p	NFv	7	300	16—90	0,2	25	6 W	32	32	1,5 A	75	TO-3	Ei	31	OC30	<	=	=	=	=	n
AD434	Gj p	NFv	1	1 A	26 > 18	0,2	25	6 W	30	30	3 A	75	TO-3	Ei	31	OC26	>	=	=	=	=	n
AD436	Gj p	NFv	2	3,5 A	20 > 12	0,2	25	12 W	32	20	3,5 A	75	TO-3	Ei	31	OC26	=	=	=	=	=	n

Třípovelový přijímač pro modely

František Kosina

Modelář, který se zabývá stavbou radiem řízených modelů, se těžko obejde bez pomoci radioamatéra, není-li jím sám. Radioamatér dovede použít měřicí techniku a tím dosáhne lepších výsledků. Tento článek obsahuje zkušenosti, které jsem získal zkoušením některých zapojení z různé literatury během posledních čtyř let. Výsledky jsem uplatnil v návrhu na třípovelový přijímač, který však může být postaven i jako jednopovelový a teprve později doplněn o další obody. Přitom nebude nutné přestavovat tu část, kterou již máme hotovou.

Zapojení přijímače

Zapojení přijímače je na obr. 1. První stupeň s tranzistorem T_1 je superreakční detektor. Má jiné zapojení, než jaké se v návodech nejčastěji vyskytuje. Dvoustupeňový zesilovač je osazen tranzistorem T_2 a T_3 , emisorový sledovač tranzistorem T_4 . Zapojení zesilovače je dnes běžné, rezonanční filtry s tranzistory T_5 , T_6 a T_7 však nebyly dosud nikde uveřejněny.

Zesilovač

Prvním dílem, který postavíme, bude zesilovač. Poslouží nám ke kontrole činnosti superreakčního detektoru, který na destičku zapojíme až po seřízení zesilovače. Uvedené zapojení zesilovače používají tovární výrobci i amatéři a bylo již mnohokrát popsáno. Budu se proto důkladněji zabývat jeho seřízením, které dosud autoři návodů podceňovali.

Seřizování začínáme nastavením odporu R_9 , jímž současně nastavujeme pracovní bod tranzistorů T_2 a T_3 . Jeho odpor rozhoduje i o maximálním zesílení a správném omezení výstupního napětí. Omezování je nutné s ohledem na různou vzdálenost modelu od vysílače.

Tónový generátor připojíme na bázi tranzistoru T_2 přes kondenzátor $0,1 \mu\text{F}$. Druhý přívod od tónového generátoru připojíme na záporný pól zdroje. Vstupní napětí měříme elektronickým voltmetrem přímo na bázi T_2 . Nastavíme je na velikost $0,3 \text{ mV}$. Na výstupu kontrolujeme napětí osciloskopem a elektronickým voltmetrem připojeným na emitor T_4 přes kondenzátor $0,1 \mu\text{F}$. Změnami odporu R_9 v rozmezí 5 až $15 \text{ k}\Omega$ nastavíme největší zesílení. (Odpor R_9 je vhodné při nastavování nahradit odporovou dekádou). Budou-li mít tranzistory zesílení alespoň 60 , bude zisk zesilovače asi $3\,000$. Při uvedeném vstupním napětí zesilovač ještě neome-

zuje. Při změnách odporu R_9 je třeba udržovat stále vstupní napětí.

Vstupní napětí nastavíme na 1 mV . Na osciloskopu zjistíme oboustranné omezení signálu. Případnou nesymetrii omezování napravíme opět změnou odporu R_9 . Zisk zesilovače bude vlivem omezování asi $1\,600$. Při zvětšování vstupního napětí nad 1 mV se výstupní napětí příliš nemění; při vstupním napětí $1,6 \text{ mV}$ je výstupní napětí asi $1,7 \text{ V}$. Po nastavení nahradíme odporovou dekádou nebo odporový trimr R_9 pevným odporem. Úplná přesnost odporu při nahradě není nutná, stačí nejbližší vyráběná hodnota.

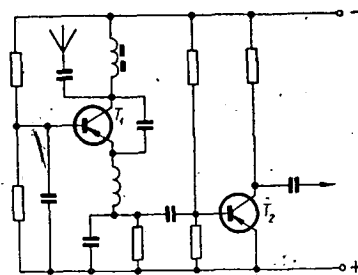
Kmitočtová charakteristika zesilovače je v rozmezí 1 až 10 kHz téměř přímková, zařízení lze tedy seřizovat signálem libovolného kmitočtu v tomto rozmezí.

Do zapojení na obr. 1 jsou vepsána naměřená napětí. Bez závorek jsou stejnosměrná napětí zjištěná přístrojem DU10, v závorkách střídavá napětí naměřená elektronickým voltmetrem. Odběr zesilovače při napětí zdroje 6 V byl $2,5 \text{ mA}$.

Každý amatér, který zhotoví jakýkoli přístroj, by jej měl proměřit a údaje si poznamenat. Usnadní to práci při případné opravě.

Superreakční detektor

Nejčastěji se vyskytující zapojení je na obr. 2. Detekovaný signál se odebrá z emisorového odporu T_1 . Další stupeň zesilovače má tranzistor p-n-p (T_2); tedy shodný s typem tranzistoru superreakčního detektoru T_1 . Vyskytují se i zapojení, v nichž jsou tranzistory zesilovače typu n-p-n. Měřením na jednom vzorku zapojením je asi o 30% menší než při použití tranzistoru p-n-p. Zapojení podle obr. 2 zahrnuje zesilovač rázováním ve větší míře než zapojení podle obr. 1.



Obr. 2.

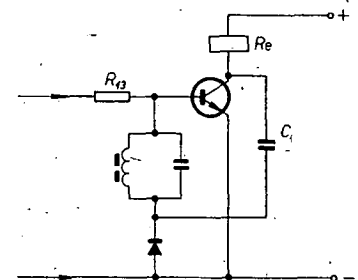
Rázování bývá omezováno filtrem složeným z tlumivky a kondenzátoru.

Zapojení superreakčního detektoru, které jsem použil, je na obr. 1. Detekovaný signál se odebrá z odporu R_4 , zapojeného do kolektoru tranzistoru T_1 OC170. Toto zapojení má na výstupu menší úroveň rázování; k filtraci výstupního napětí stačí odpor R_5 a kondenzátor C_6 .

Je ještě nutné si všimnout kmitočtu superreakčních kmitů. Měnil jsem jej od 40 kHz do 120 kHz ; vliv na citlivost detektoru však nebyl patrný. Je však výhodnější vyšší kmitočet (vzhledem k dokonalejší filtraci, která méně „posílne“ podstatně nižší kmitočet modulace).

Tranzistory zesilovače budou při odběru signálu z odporu v kolektoru T_1 typu n-p-n. Použití tranzistorů opačné vodivosti v tomto uspořádání by zhoršilo citlivost.

Superreakční detektor se osvědčilo seřizovat osciloskopem. Je zapojen na vý-

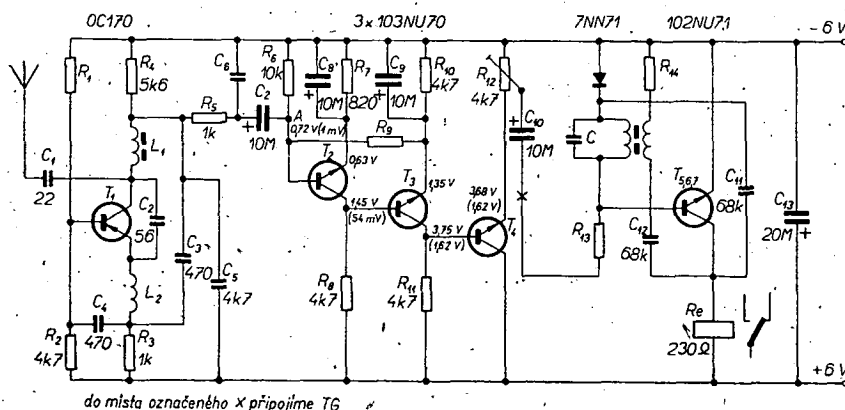


Obr. 3.

stup zesilovače jako při jeho seřizování. Odpor R_1 nahradíme odporovým trimrem $0,1 \text{ M}\Omega$, nastaveným na plný odpor. Do přívodu ze zdroje zařadíme ampérmetr, jímž měříme proud detektoru ze zesilovačem. Odběr nemá překročit 6 mA , abychom se vyhnuli poškození tranzistoru OC170.

Při seřizování zmenšujeme odpor trimru R_1 , až se na stínítku obrazovky osciloskopu objeví svíslé čáry husté u sebe, které jsou charakteristické pro šum. Elektronický voltmetr připojený paralelně k osciloskopu udává napětí šumu asi 1 V . Napětí mírně kolísá. Při seřizování detektoru nezapomeneme připojit anténu!

Při dalším seřizování použijeme signální generátor s vypnutou modulací. Generátor je nastaven na kmitočet $27,120 \text{ MHz}$. Na výstup generátoru je připojen vodič o délce asi 30 cm jako anténa. Generátor je od přijímače vzdálen asi 1 m . Jádrem cívky L_1 nastavujeme nejmenší výstupní napětí, které nemá být větší než $0,3 \text{ V}$. Toto napětí reprezentuje rázování bez šumu. Nastavíme-li vhodný kmitočet časové základny osci-



Obr. 1.
($C_6 = 0,1 \mu\text{F}$)

loskopu, zjistíme na osciloskopu sinu-
sovkou s čistými obrysy. Odpor R_1 se
můžeme pokusit zmenšit výstupní na-
pětí rázování při současném zmenšování
velikosti napětí šumu.

Pro další kontrolu bude signální gene-
rátor modulován kmitočtem 2 kHz. Hloubka
modulace je 80 až 90 %. Na výstupu
zjistíme omezené napětí asi 1,6 V. Je-li
menší, měníme opět odpor trimru R_1 .
Šum a rázování nesmějí však
ztratit dříve popsané vlastnosti.

Nastavený odpor trimru R_1 zjistíme
nejlépe porovnávací metodou (použi-
jeme odporovou dekádu nebo ohmmetr).
Odpor zapojený do přijímače musí být
shodný, i kdybychom jej měli sestavit
z několika odporů.

Ne-každý tranzistor OC170 ve funkci
superreakčního detektoru vyhoví. Nas-
tavování detektoru podle šumu ve slu-
chátkách je nepřesné. I při šumu, s nímž
budeme spokojeni, může být nastavení
dost vzdáleno od optimálního seřízení
detektoru.

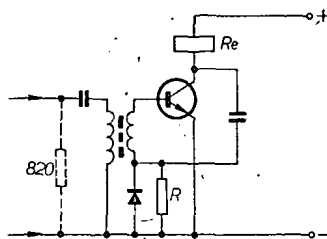
Budeme-li nuceni měnit kmitočet rá-
zování, lze to udělat změnou kapacity
kondenzátoru C_5 . Popisovaný přijímač
má tento kmitočet 105 kHz. Na výstupu
zesilovače byly naměřeny tyto údaje: na-
pětí šumu 0,8 V, rázování 0,2 V, modu-
lace 1,6 V. V bodě A měl šum napětí
1,26 mV, rázování 0,2 mV a modulace
4 mV. Měření v bodě A nelze podceňo-
vat. Při omezování napětí zesilovačem
nemáme totiž jistotu, že vstupní napětí
modulačního kmitočtu přichází na ze-
silovač tak velké, aby mělo dostatečnou
rezervu. V kapitole o zesilovači jsme
zjistili, že pro výstupní napětí 1,6 V
potřebujeme na vstupu 1 mV.

Obvody pro třídění povelů

Tyto obvody jsou mezi modeláři ozna-
čovány jako kanály, filtry nebo rezo-
nanční filtry. Ve skutečnosti jsou to
klopné obvody, které spínají při urči-
tém kmitočtu. Nejrozšířenější kategorie
v leteckém modelářství dovoluje u moto-
rových modelů ovládat směr letu na obě
strany a řídit rychlost otáčení motoru.
Pro plné využití této možnosti stačí tři
povely, které vyhoví i lodnímu mode-
láři. Přijímač je tedy navržen jako tří-
povelový. Přijímač i klopné obvody tvo-
ří jeden celek.

Obvody pro třídění povelů se vysky-
tují ve dvou poněkud rozdílných zapo-
jeních. Na obě zapojení jsou rozdílné
názory. Zapojení jsem vyzkoušel a pro-
měřil.

Nejčastěji se vyskytuje zapojení podle
obr. 3. Střídavé napětí se přivádí na
dělič, který tvoří odpor R_{13} a rezonanční
obvod. Při rezonančním kmitočtu
vznikne na rezonančním obvodu nej-
větší napětí, které tranzistor zesílí. Ze-
silené napětí odebíráme z vinutí relé za-
pojeného do kolektoru. Kondenzátor C_{11}
přivádí zesílené napětí zpět do báze po
předcházející detekci. Tím se zvětší
proud báze i proud kolektoru na velikost
odpovídající rozpojenému stavu. Odpor
 R_{13} spolu s velikostí vstupního napětí
rozhodují o selektivitě obvodu. Měre-
ním jsem zjistil shodnou selektivitu pro
vstupní napětí 0,3 až 1,4 V při změnách
odporu R_{13} v rozmezí 22 až 100 k Ω . Do-
poručuji volit vstupní napětí 0,6 až
0,8 V. V přijímači je nastavíme trimrem
 R_{12} . Odpor R_{13} nastavíme při zvoleném
vstupním napětí tak, aby se maximální
proud kolektoru mírně zmenšil. Selektivita
bude/pak nejlepší.



Obr. 4.

I když tento obvod nebyl v přijímači
použit, uvedu pro zájemce potřebné
údaje. Cívka je navinuta na feritovém
jádru 4k0930-14 a má 1 800 závitů drátu
o \varnothing 0,05 mm. Odpor vinutí je 310 Ω .
Vzduchovou mezerou jsem nastavil in-
dukčnost 0,18 H (měřeno RLC10 Metra).
Další údaje jsou v tab. 1. Vstupní napětí
bylo 0,6 V. Šířka pásma platí pro po-
kles kolektorového proudu na 4 mA.

Tab. 1.

C_{11} [nF]	R_{13} [k Ω]	I [mA]	f [kHz]	Šířka pásma [kHz]
10	44	19,0	3,62	3,28 až 4,00
22	22	19,5	2,37	2,04 až 2,70
68	10	19,0	1,47	1,28 až 1,75

Klopné obvody s paralelními rezo-
nančními obvody jsou dobře použitelné.
Nelze se však spoléhat, že počty závitů
uváděné v návodech vždy vyhoví; jádra
cívky mají totiž rozdílné vlastnosti. Bez
měření bude správné seřízení více po-
velů jen výsledkem náhody.

Na obr. 4 je klopný obvod se sériovým
rezonančním obvodem, který je přímo
připojen na výstup přijímače. Sériový
rezonanční obvod má minimální odpor
při střídavém napětí rezonančního kmi-
točtu. Při něm prochází obvodem maxi-
mální proud. Do vazebního vinutí zapo-
jeného do báze se přitom indukuje velké
napětí, které je při jiných kmitočtech
zanedbatelné. Činnost stupně dále od-
povídá zapojení podle obr. 3. Odpor R_1
připojený paralelně k diodě, má zaručit
shodnou činnost všech filtrů při stálém
vstupním napětí. Jeho použití však ne-
příznivě ovlivňuje selektivitu obvodu;
bez něho je selektivita velmi dobrá.

Abych mohl porovnat vlastnosti zapo-
jení podle obr. 3 a 4, používal jsem
v obou případech cívky shodné indukč-
nosti. Cívky měly přivínuty vazební
vinutí o 300 závitů shodným vodičem.
Obvod jsem proměřoval bez připojení
k přijímači. Čárkované přikreslený od-
por nahrazoval vnitřní odpor výstupu
zesilovače. Při použití kondenzátorů
o kapacitě 10 nF a 22 nF byly výsledky
shodné (tab. 1). Při kapacitě kondenzá-
toru 68 nF byla rezonance nevýrazná.
Tento stav, který nebyl překvapením,
potvrdil i matematický rozbor.

K ověření předpokladů jsem navinul
cívku o indukčnosti 1 H. Měla 2 800 zá-
vitů a vazební vinutí 530 závitů drátu
o \varnothing 0,05 mm. Měření s ní jsou shrnuta
v tab. 2. Šířka pásma platí opět pro po-
kles kolektorového proudu na 4 mA.

Tab. 2.

C [nF]	U_{vstup} [V]	f [kHz]	Šířka pásma [kHz]	I [mA]
2,2	0,16	3,06	2,90 až 3,36	19,0
3,7	0,16	2,50	2,38 až 2,77	19,0
4,7	0,19	2,09	1,96 až 2,34	19,0
5,7	0,21	1,87	1,74 až 2,10	19,0
10	0,25	1,36	1,24 až 1,58	18,5

vitů a vazební vinutí 530 závitů drátu
o \varnothing 0,05 mm. Měření s ní jsou shrnuta
v tab. 2. Šířka pásma platí opět pro po-
kles kolektorového proudu na 4 mA.

Výsledek je dobrý. Šířka pásma je
lepší než u paralelního obvodu. Nedo-
statkem je rozdíl v potřebném vstupním
napětí. Použití odporu R (obr. 4) zmen-
šovalo šířku pásma. Nepříznivě se pro-
jevilo i používání většího napětí pro
obvody, které vystačí s menším. Cestou
k nápravě je změna počtu závitů vazeb-
ního vinutí. To lze zjistit zkoušením,
které je sice pracné, ale vyplatí se.

Klopný obvod se sériovým rezonanč-
ním obvodem lze doporučit, je však
třeba dodržet některé zásady. Pro kmi-
točty 1 až 3 kHz musí mít cívka indukč-
nost asi 1 H. Pro vyšší kmitočty může
být indukčnost úměrně menší. Vyhle-
dáním počtu závitů vazebního vinutí je
třeba zajistit pro všechny obvody shodné
vstupní napětí. Použití odporu R z obr. 4
nedoporučuji.

Aktivní filtr

Cívka s dvojnásobným vinutím mě vedla
k pokusu o aktivní filtr. Pokus se vyplatil,
zapojení je na obr. 1. Vazebního vi-
nutí se využívá k získání kladné zpětné
vazby. Obvod zpětné vazby je připojen
na kolektor T_5 kondenzátorem C_{12} . Stu-
peň zpětné vazby je nastaven odporem
 R_{14} . K porovnání vlastností s předchá-
zejícími obvody rozhodl jsem se pro
kmitočty shodné s kmitočty obvodů s pa-
ralelním rezonančním obvodem. Cívky
všech tří filtrů jsou opět navinuty na fe-
ritovém jádru 4k0930-14. Laděné vinutí
má 1 800 závitů, vazební 300 závitů; obě
vinutí drátem o \varnothing 0,05 mm CuP. Vzdu-
chovou mezerou byla nastavena indukč-
nost 0,18 H.

Při seřizování každého filtru postup-
ujeme takto:

1. Odpor R_{13} a R_{14} nahradíme odpor-
ovými dekádami nebo jiným promě-
nným odporem 0,1 M Ω .
2. Při odpojení tónového generátoru
nastavíme R_{14} tak, až dosáhneme kmi-
tání, které se projeví zvětšením kolekto-
rového proudu. Nedosáhneme-li kmi-
tání, přehodíme konce jedné z obou cí-
vek.

3. Odpor R_{14} zvětšíme tak, až ustane
kmitání; poznáme to podle poklesu
proudu tranzistoru na velikost rovnou
zbytkovému proudu.

4. Připojíme tónový generátor, jeho
výstupní napětí nastavíme na 0,3 V
a změnou kmitočtu nastavíme rezonanci.
Odpor R_{13} je přitom nastaven na 10 k Ω .
Rezonance se projeví vráskem kolekto-
rového proudu na maximum (20 mA).

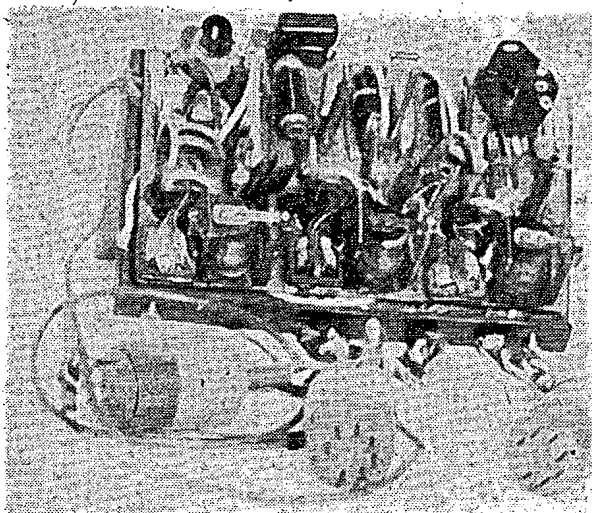
5. Zvětšováním odporu R_{13} dosáhne-
me mírného zmenšení kolektorového
proudu.

6. Odpojením tónového generátoru
se přesvědčíme o nastavení zpětné vazby.
Stupeň nesmí kmitat. Dokazuje to kolek-
torový proud, který se po odpojení tóno-
vého generátoru zmenšil na velikost
zbytkového proudu. Při kmitání by bylo
třeba poněkud zvětšit odpor R_{14} .

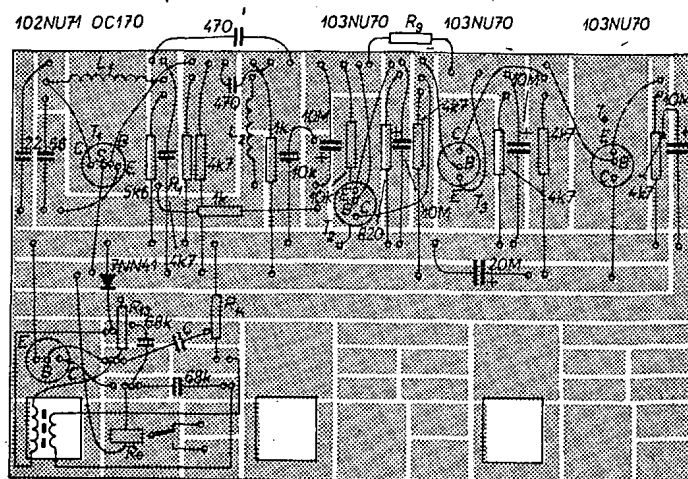
Takto postupujeme u každého obvodu.
(výsledky jsou v tab. 3). Šířka pásma

Tab. 3.

C [nF]	R_{13} [k Ω]	R_{14} [k Ω]	I [mA]	f [kHz]	Šířka pásma [kHz]
10	68	5,6	19,5	3,62	3,50 až 3,88
22	47	3,3	19,0	2,30	2,28 až 2,44
68	14	0,2	18,0	1,58	1,40 až 1,70



Obr. 5.



Obr. 6.

byla opět kontrolována pro pokles kolektorového proudu na 4 mA a je opravdu minimální. Kmitočty pro filtry by mohly být voleny blíže u sebe, pro třípovelový přijímač to však není nutné. Rozhodující je modulátor vysílače, u něhož v mém případě nastavuji kmitočty proměnnými odpory. Šířka nastavitelného pásma kmitočtu je omezena na poměr asi 1:2,5.

Poslední poznámky k filtrům patří kondenzátoru C_{11} (obr. 1). Tyto kondenzátory bývají elektrolytické a mívají svody, které ohrožují spolehlivou činnost zařízení. Činnost filtrů neohrozí menší kapacita použitých plochých keramických nebo jiných miniaturních kondenzátorů s kapacitou 47 až 68 nF.

Relé mají označení AR-2 a odpor 230 Ω . Pro modeláře je to známý výrobek MVVS Brno.

Konstrukce přijímače

Předpokládám, že přijímač podle tohoto návodu bude stavět zkušenější radioamátér. Jeho vyspělost předpokládá celý tento článek, v němž je popsáno použití maximální měřicí techniky. Přijímač (obr. 5) je zapojen na destičce s plošnými spoji (obr. 6). Destičku s plošnými spoji s dělicími čarami lze získat vykrábáním gramofonovou jehlou s ulomenou špičkou. Je to i rychlejší než všechny práce spojené s leptáním destičky. Rozměr destičky je 55 \times 90 mm.

Odpory jsou pro zatížení 0,05 až 0,1 W. Kondenzátory jsou miniaturní na 160 V. Rozměrově výhodnější by byly ploché keramické kondenzátory. Elektrolytické kondenzátory jsou pro napětí 6 V.

Všechny součástky jsou na destičce ve vodorovné poloze. Tranzistory přijímače jsou k destičce přivázány, tranzistory rezonančních filtrů jsou pevně vsazeny do otvorů destičky. Kondenzátory filtrů jsou v kolmé poloze a jsou navzájem svázány. Odpory filtrů jsou připájeny na straně kovové fólie. Mechanické zajištění součástek je nutné, protože přistávání modelů letadel bývá dost tvrdé.

Přijímač je v provozu dva roky. Přezil i těžkou havárii modelu, zaviněnou pilotem. Z havarovaného modelu zůstal nedotčen právě jen přijímač. Je to určitě i zásluhou krabičky, která je zhotovena z materiálu používaného na plošné spoje. Její vnitřní rozměry jsou 57 \times 93 \times 32 mm. Jednotlivé stěny jsou navzájem po celé délce spájeny. Dno

krabičky tvoří destička, na níž je uchyten přijímač. Dno je ke krabičce upevněno šroubkem.

Hodnoty součástek jsou ve schématu a na obr. 6. Cívka L_1 je navinuta na kostře o \varnothing 10 mm s jádrem M7. Má 12 závitů spojovacího káblíku o \varnothing 0,5 mm. Cívka L_2 má 60 závitů drátu o \varnothing 0,1 mm CuP na papírové trubičce o \varnothing 4 mm. Délka antény je 50 až 70 cm.

V terénu zkoušíme přijímač před prvním použitím a vždy po tvrdších pádech. Na svorky vypnutého spínače připojíme Avomet. Změnami modulačního kmitočtu ve vysílači (vzdáleném asi

20 m) nastavíme každý kanál na největší výchylku ručky měřidla. Po seřízení ověřujeme činnost na větší vzdálenost. Dosah soupravy byl vždy větší než vzdálenost, na kterou bylo možné zrakem pozorovat smluvené dorozumívání.

V loňském roce se tento přijímač přičinil o úspěch na závodech v Tišnově a Jaroměři. V Tišnově obstál i v konkurenci továrních souprav ze zahraničí.

Destičku s plošnými spoji C31 pro tento přijímač si můžete koupit v prodejně Radioamátér v Praze nebo objednat u Radioklubu Smaragd, poštovní schránka 116, Praha 10. Dostanete ji na dobírku, cena 13 Kčs.

Kopírovací přístroj fy Rank Xerox

Pro malé náklady tiskopisů, rozmnožování různých zpráv a nakresů se dnes ve světě používá s výhodou tzv. xerox. Je to způsob rozmnožování, který „suchou cestou“ umožňuje přenést obraz nebo text během zlomku vteřiny na zcela běžný papír obvyklých formátů.

Systém je překvapivě jednoduchý: podobně jako u fotografie se přenáší světla i tmavá místa. Úkol filmu zde přejímá selenová vrstva, která je citlivá na světlo. Tato selenová vrstva, která se obvykle nanáší, na válec přístroje fy Rank Xerox, je nabitá kladným elektrostatickým nábojem. Originál se musí osvětlit a opticky se promítá na tuto selenovou vrstvu. Na ozářených místech se zmenšuje počet kladných částic

náboje. Prášek se záporným nábojem se musí buďto rozprostřít na tomto válci nebo na desce a zachytí se na místech neosvětlených (s kladným nábojem). Pak se tedy stane obrazem originálu viditelným na selenové vrstvě.

Obraz se musí přenést na list papíru: obrazový prášek se nejdříve nalisuje na papír a potom při teplotě asi 400 $^{\circ}\text{C}$ se musí „vpálit“ do horní plochy papíru.

Celý pochod trvá velmi krátkou dobu. Kopii, která se vyjme z přístroje, lze okamžitě použít (je odolná proti otěru).

Přístroj umožňuje zhotovit 3 600 kopií za hodinu; stroj kromě toho rovná strany až do počtu 50 v kopírovacím pořadí, takže s kopiemi není již třeba dále manipulovat, lze je přímo sešít nebo vložit do desek.



BARVENÁ HUDBA

Jindřich Drábek

V poslední době používají různé hudební soubory, převážně beatové, při svých vystoupeních přístroje, které barevnými efekty na promítací ploše prohlubují vnímání hudby. Těchto barevných efektů spojených s hudbou se v mnoha městech využívá také ve spojení s vodní fontánou. Někteří zahraniční výrobci rozhlasových přijímačů přistoupili dokonce k výrobě podobného zařízení pro využití v pokojovém provedení. Možností praktického využití je mnoho stejně jako způsobů realizace po stránce elektrotechnické. Článek přináší přehled tří základních typů pro různé účely využití.

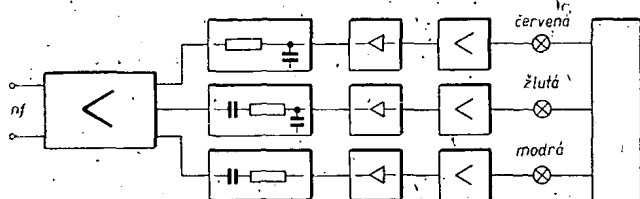
Základní poznatky

Základní myšlenkou zařízení je známa reakce lidského vnímání na změny akustických signálů. Tato reakce je podobná i při různém vnímání barev. Uvedme si např. rozdíl působení hlubokých a vysokých tónů, červené a zelené barvy, spojíme oba vjemy a výsledek je velmi působivý. Tím jsme se dostali k podstatě přístrojů pro tzv. „barevnou hudbu“. Princip spočívá v tom, že nízké, střední a vysoké kmitočty na

nebo reflektorů. Světelnost (jas) žárovek závisí na amplitudě (hlasitosti) řídicího signálu na vstupu. Ve složitějších přístrojích se tato závislost spojuje i se závislostí na kmitočtu. Je třeba ještě představit, že pokud jde o barevnou „reprezentaci“ jednotlivých kmitočtů, zahraniční výrobci se nedohodli na jednotném uspořádání. U zařízení pro domácí potřebu to však není na závadu.

Základní koncepce zařízení

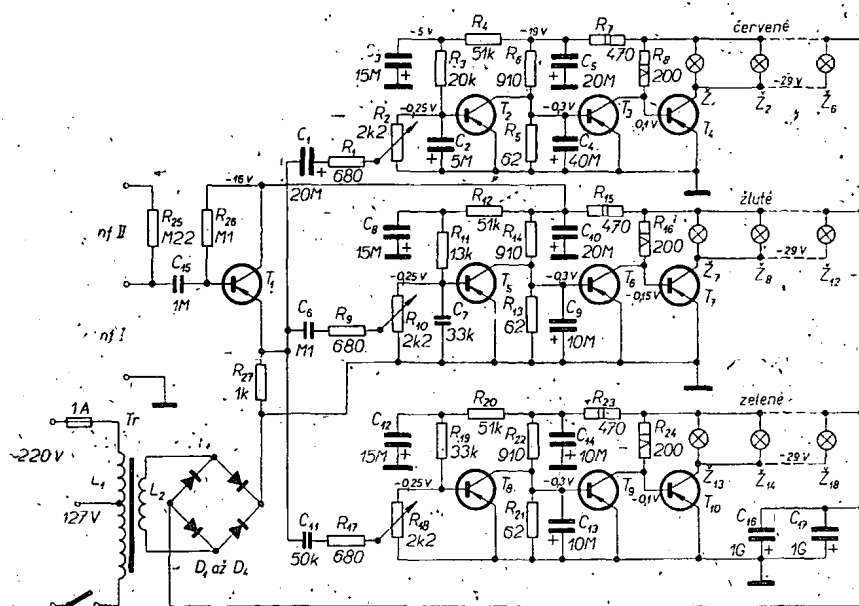
Na obr. 1 je blokové schéma základ-



Obr. 1.

výstupu z přijímače, magnetofonu, zesilovače apod. jsou na výstupu příslušného zařízení reprezentovány třemi základními barvami. Z toho je zřejmé, že celý kmitočtový průběh signálu, který je na nf výstupu přístroje, můžeme filtry, elektrickými výhybkami atd. rozdělit na libovolný počet kanálů, na jejichž výstupu je opět libovolný počet žárovek

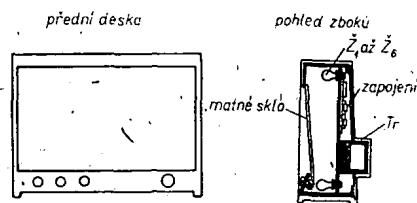
niho řešení. Na vstup první, společné části přístroje – předzesilovače – přivádíme signál z výstupu (5 Ω) rozhlasového přijímače, magnetofonu atd. Zesílený signál vedeme dále na tři kanály, které jsou již konstruovány jako samostatné díly. Na vstupu každého světelného kanálu je filtr RC, který propouští do dalšího obvodu jen kmitočty odpoví-



Obr. 2.

$T_1, T_2, T_3, T_4 - P14, P15, P16V$ (OC72, GC500), $T_5, T_6, T_7 - P202, P201, P203$ (OC26, 2NU73), $T_8, T_9, T_{10} - P4D, P4V, P213, P214$ (4NU74 nebo 3NU73 s dostatečnou chladičovou plochou). Diody mohou být D214, D231 (KY708 až KY712), pro stabilizaci v napájecím obvodu D808 (3NZ70). Žárovky jsou na 26 V/0,15 A

vidající nastavené propusti. Po detekci a zesílení se napětí přivádí na výkonové koncové stupně, do jejichž obvodů jsou zapojeny žárovky. Celkové zapojení je na obr. 2. První stupeň s tranzistorem T_1 je emitorový sledovač se vstupním odporem 20 až 40 k Ω . Tranzistory T_2, T_5 a T_8 v jednotlivých kanálech slouží k detekci a zesílení signálů. Poslední dva tranzistory každého kanálu jsou zesilovače stejnosměrného proudu. Filtry se nastavují kondenzátory C_1 a C_2 . V klidovém stavu je tranzistor T_3 otevřen, T_2 a T_4 jsou zavřeny. Signál postupující na T_2 jej překlopí, napětí na bázi T_3 se zmenší na 0,1 až 0,15 V a T_3 se uzavře. T_4 se otevírá a proud přes žárovky Z_1 až Z_6 se zvětšuje až na maximum. Při uvádění do chodu je třeba pozorně sledovat činnost koncových tranzistorů. V klidovém stavu jsou T_4, T_7 a T_{10} uzavřeny. Proud kolektorů je asi 15 mA, potřebný výkon je nepatrný. Zvětšením proudu



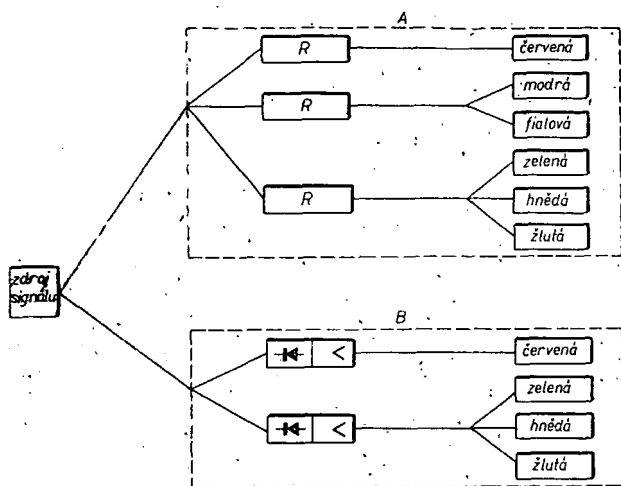
Obr. 3.

po překlopení tranzistoru a v závislosti na teplotní změně vlákna žárovky se mění odpor v obvodu napájení. Abychom tranzistory nezničili, je třeba pro tranzistor, který máme k dispozici na koncový stupeň, graficky vypočítat závislost výkonu na změně proudu. Sestrojíme-li ještě graf závislosti výkonu na změně teploty tranzistorů, máme předpoklady k bezporuchovému provozu zařízení.

Při záměně tranzistorů je třeba nastavit odpory v bázích T_4, T_7 a T_{10} , popřípadě i T_3, T_6 a T_9 . Pro tranzistory použité v původním prameni (P4V) je proud kolektorů 3 A při $I_B = 110$ až 130 mA ($\beta = 30$). Bude-li zesilovací činitel menší než 30, je třeba počítat se zvětšením I_B . Pro bezporuchový provoz tranzistorů je nutné umístit T_4, T_7, T_{10} , popřípadě i T_3, T_6 a T_9 na chladičové radiátory. Svítí-li žárovky po přivedení signálu na vstup slabě, je třeba nastavit R_8, R_{11} a R_{19} . K odstranění rušivých vlivů, které mohou přes napájecí obvody zasáhnout do jednotlivých stupňů, můžeme zvětšit kapacitu C_{16} a C_{17} na 2 000 μF . Je také možné a účelné stabilizovat napájecí obvod T_2, T_5 a T_8 Zenerovou diodou – zvětší se tím současně citlivost celého zařízení. Transformátor Tr má jádro III25, L_1 má 1 000 závitů o \varnothing 0,41 mm CuP, L_2 100 závitů drátu o \varnothing 1,25 mm CuP, odběr ze sekundárního vinutí je 4 až 5 A, vstup nf I má citlivost 0,5 až 1 V (šířka středního sloupku transformátoru je 25 mm).

Na obr. 3 je příklad umístění žárovek a konstrukce tohoto zařízení.

Další vylepšování tohoto zapojení různými zesilovači, zvětšováním počtu žárovek atd. by nevedlo k lepším výsledkům, spíše naopak. Je třeba si uvědomit, že lidské oko může přijmout jen omezené množství informací. Všeobecně známe z praxe, že např. sledování televize je založeno na nedokonalosti lidského oka, které neregistruje kmitočty obrazového rozkladu. Totéž platí i o filmu. Právě tak by člověk při rychlých změnách spektra barev nevnímal změny, spíše by se oko brzy unavilo.

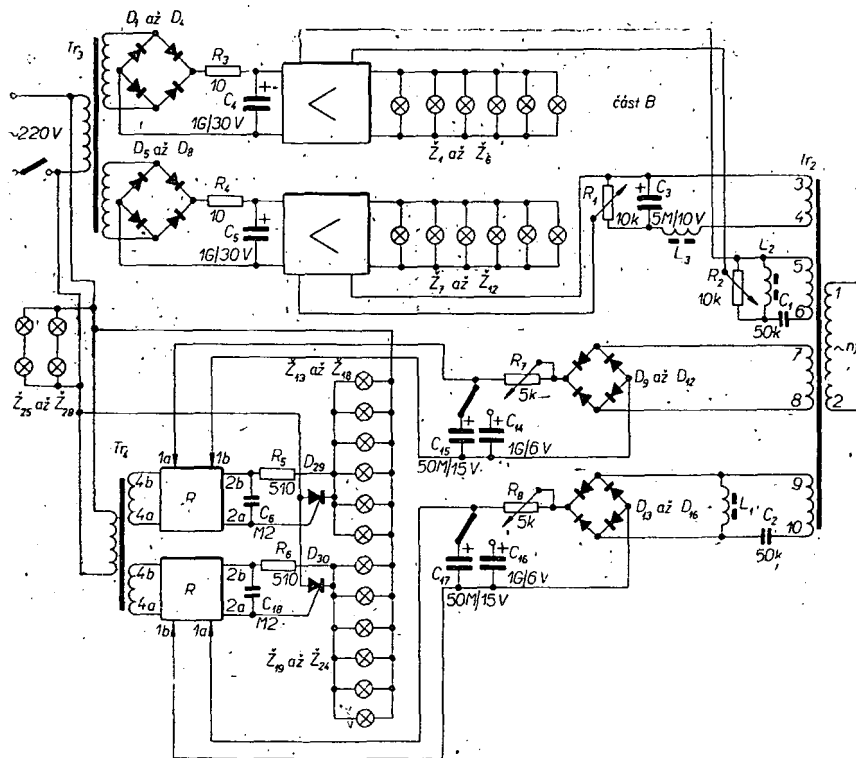


Obr. 4.

Na obr. 4 je blokové schéma zařízení, které se skládá ze dvou částí s odlišnou funkcí. Díl A vytváří časovými zpoždovacími základní světelný obraz, jehož barevné složení se mění plynule. Jsou v něm použity žárovky většího výkonu. Intenzita žárovek červeného světla je úměrná amplitudě zvuku – čím silnější zvuk, tím jasněji červená svítí. Jas modrofialové žárovky závisí na amplitudě opačně – čím menší amplituda, tím větší jas. Jas zelené, žluté a hnědé je vázán jednak na amplitudu, jednak na kmitočet. Čím vyšší kmitočet, tím jasněji svítí zelená, hnědá a žlutá. V části B časové zpoždovace nejsou, takže barevné změny jsou úměrné rytmickým změnám melodii.

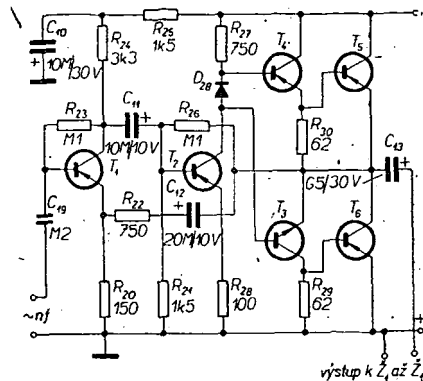
Tato část tedy „kreslí“ obraz. Žárovky této části jsou na malý výkon i napětí. Jas červené je opět závislý na kmitočtu i amplitudě. Jas je tím větší, čím nižší je kmitočet a větší amplituda zvuku. Jas zelené, hnědé a žluté je rovněž závislý

na kmitočtu a amplitudě, jas je však tím větší, čím větší jsou kmitočet i amplituda zvuku. Na obr. 5 je schéma zapojení tohoto zařízení. Část A se skládá z filtru L_1 , C_2 pro výběr kmitočtu, usměrňovače D_{13} až D_{16} , D_9 až D_{12} , integrátoru R_7 , C_{15} , C_{14} , dále R_8 , C_{17} a C_{16} . Signál přichází dále na obvod R , který řídí tyristory rozsvěcování skupin žárovek. Žárovky Z_{13} až Z_{24} jsou červené, zelené, hnědé, žluté, Z_{25} až Z_{28} modrofialové. Ze zapojení je zřejmé, že modrofialové žárovky jsou trvale zapojeny a svítí i tehdy, není-li na vstupu zařízení signál. Přivede-li se na Tr_2 signál, rozsvěcují se ostatní žárovky a modrofialová se stává nevýraznou. Je to způsobeno jednak větším jasnem ostatních barev, jednak malou citlivostí oka v této spektrální oblasti. V části B jsou nejdůležitějšími prvky filtry C_1 , L_2 ; C_3 , L_3 , regulátor jasu R_1 , R_2 , napájecí díl zesilovače nf a červené, hnědé, zelené a žluté žárovky Z_1 až Z_{12} .



Obr. 5.

T_1 , T_2 – P41 (0C75, 0C76), T_3 – P11 (0C71 až 0C75), T_4 – P27A (0C75, 0C76, GC500), T_5 , T_6 – P201 (0C26, 2NU73), T_7 , T_8 – P26 (0C75, 0C76, GC500), T_9 – MP42 (0C76), D_1 až D_2 – D226 (KY705), D_3 až D_{12} – D2E (GA204), D_{13} až D_{16} – D223V (KA501), D_{17} – D808 (KZ704, 3NZ70), D_{18} až D_{24} – D223V (KA501), D_{25} – 2C156A (1NZ70, KZ703), D_{26} – D223V (KA501), D_{27} – D7G (KZ705), tyristory D_{28} , D_{29} , D_{30} – KY-201A, čs. období ČKD 16/30. Žárovky Z_1 až Z_{12} jsou na 6,3 V/0,3 A, Z_{13} až Z_{28} na 110 V/8 W



Obr. 6.

Činnost přístroje

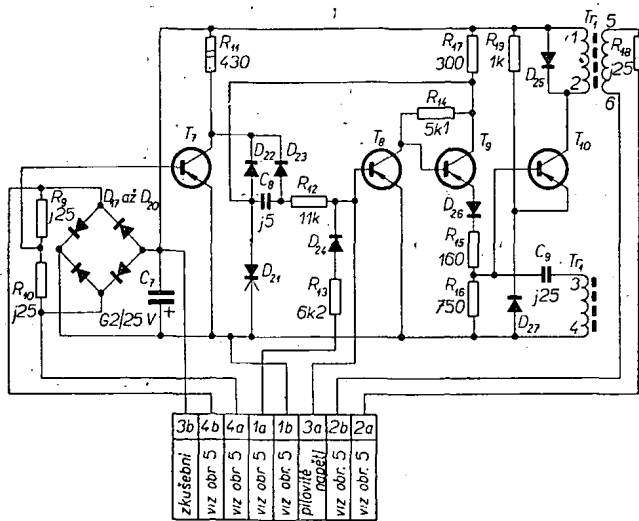
Výstup přijímače, magnetofonu nebo jiného zdroje akustického signálu se přivádí na vstupní transformátor Tr_2 . Ze sekundárního vinutí (svorky 3, 4) přichází signál na filtr nízkých kmitočtů L_3 , C_3 a z tohoto filtru na nf zesilovač, na jehož výstupu jsou zapojeny červené žárovky Z_7 až Z_{12} . Z vinutí 5, 6 přes filtr vysokých kmitočtů C_1 , L_2 jde signál opět na nf zesilovač a žárovky Z_1 až Z_6 . Z vinutí 7, 8 přivádíme signál na usměrňovač D_9 až D_{12} a dále na integrátor R_7 , C_{14} , C_{15} . Pak jde signál na vstup obvodu R pro úpravu signálu a řízení tyristorem D_{29} , za nímž jsou zapojeny červené žárovky Z_{13} až Z_{18} . Za vinutím 9, 10 následuje filtr vysokých kmitočtů L_1 , C_2 , usměrňovač D_{13} až D_{16} , integrátor R_8 , C_{17} , C_{16} a opět tyristorový regulátor R . Za ním jsou zapojeny žárovky Z_{19} , Z_{20} (zelené), Z_{21} , Z_{22} (hnědé), Z_{23} , Z_{24} (žluté). Modrofialové žárovky Z_{25} až Z_{28} jsou stále zapojeny do napájecího obvodu sítě.

Na obr. 6 je schéma zapojení nf zesilovače. Zapojení je běžné, proto není nutné zabývat se popisem podrobně. Na obr. 7 je schéma zapojení obvodu R . Transistory T_7 až T_{10} slouží k přeměně stejnosměrného napětí na pulsy. Na výstupu tranzistoru T_8 získáváme pulsy pravouhlého průběhu, T_7 vytváří napětí pilovitého průběhu, T_9 pracuje jako zesilovač výkonu a T_{10} je zapojen jako rázující oscilátor. Na vývody 4a, 4b se přivádí střídavé napětí, které se po usměrnění diodami D_{17} až D_{20} používá k napájení celého stupně. Dále se síťový kmitočet přivádí na vstup T_7 . Na vstup T_8 přichází napětí pilovitého průběhu vytvořené tímto stupněm a současně se ze svorek 1a, 1b přivádí řídicí signál. Ke stabilizaci amplitudy pulsu slouží stabilizátor ZD_1 . Na výstupu T_8 dostáváme pulsy pravouhlého průběhu, jejichž tvar je závislý na řídicím signálu.

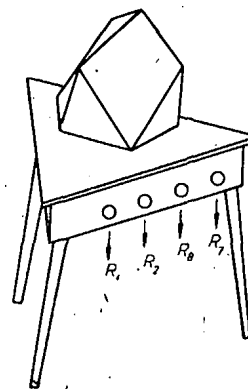
Po zesílení pulsu výkonovým zesilovačem T_9 následuje rázující oscilátor s T_{10} a s transformátorovou zpětnou vazbou. Takto získané řídicí pulsy přivádíme ve formě skupin pulsu o nestejné velikosti ze sekundární strany Tr_1 na tyristory, které rozsvěcují tu či onu skupinu barevných žárovek.

Konstrukční detaily

Cívky filtrů L_1 , L_2 , L_3 jsou na feritovém jádru 20×5 cm, vinutí má 120 závitů drátu o \varnothing 0,14 mm CuP; na stejném jádru je Tr_1 , počet závitů je u všech vinutí stejný (40 závitů drátu o \varnothing 0,25 mm CuP). Transformátor Tr_2 je na jádru III12, primární vinutí má 730 závitů drátu o \varnothing 0,12 mm CuP, sekun-



Obr. 7.



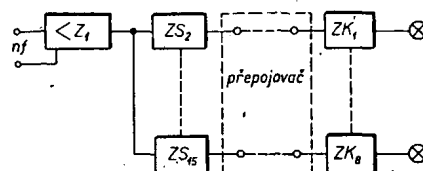
Obr. 8.

dární vinutí mají po 750 závitů drátu o \varnothing 0,12 mm CuP. Transformátor T_{r3} je na jádru III19, primární vinutí má 1 060 závitů drátu o \varnothing 0,2 mm CuP. Obě sekundární vinutí mají po 133 závitů drátu o \varnothing 0,41 mm CuP (číslo za znakem transformátoru znamená šířku středního sloupku). Transformátor T_{r4} má stejné jádro jako T_{r2} . Primár má 2 900 závitů drátu o \varnothing 0,2 mm CuP, sekundární vinutí po 210 závitů drátu o \varnothing 0,15 mm CuP. Příkon ze sítě 220 V je asi 160 W (díl A má spotřebu 150 W, díl B 10 W). Žárovky jsou uloženy v mo-

delu symetrického krystalu z průhledné hmoty (matné sklo, organické sklo atd.). Elektrická část je uložena v pokojovém stole, na němž krystal stojí (obr. 8). Pro zvýšení efektu je možné přilepit na vnější stěny krystalu barevné kovové piliny nebo hranolky, které se při prosvětlení třpytí.

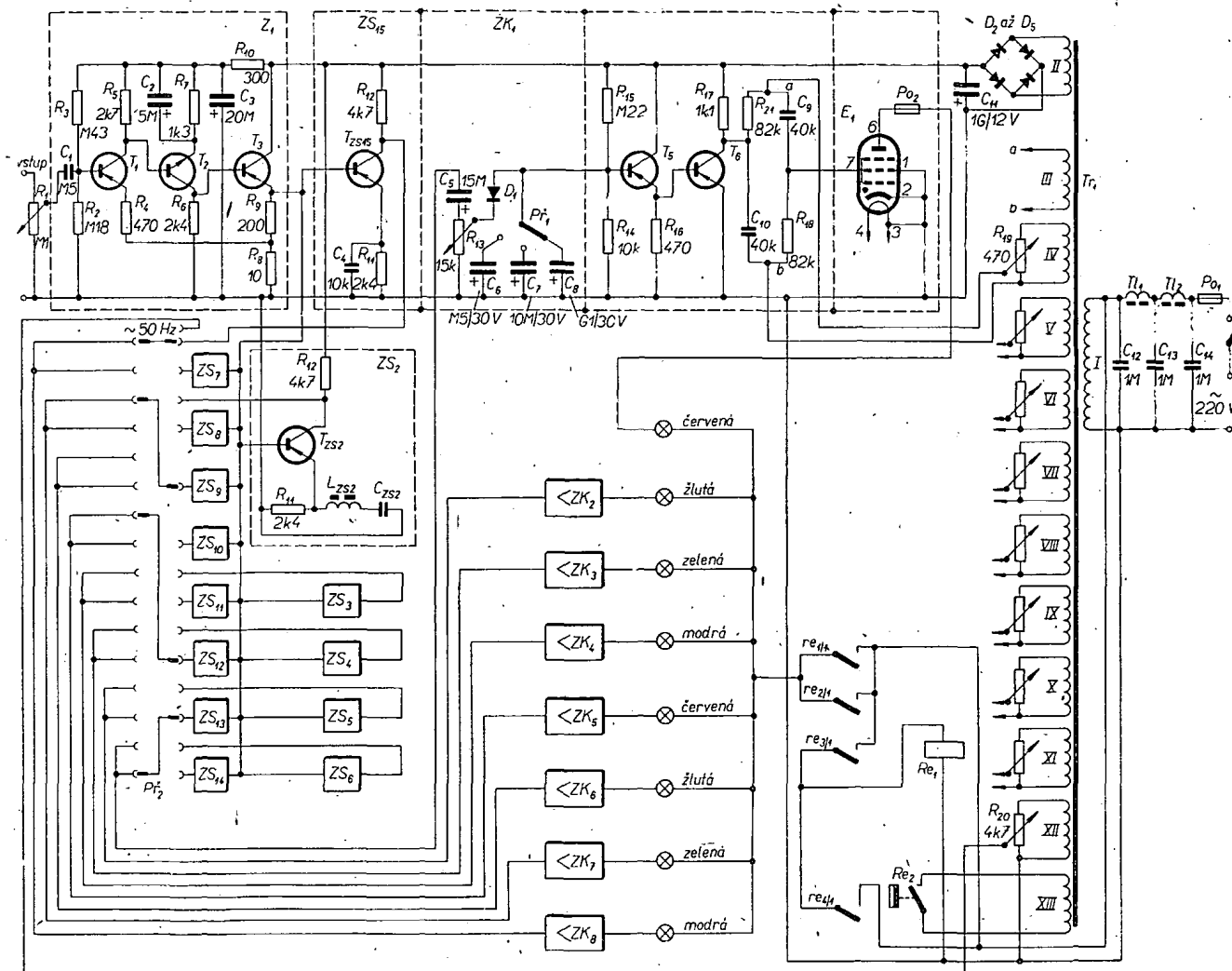
„Barevná hudba“ pro divadla

Zařízení pro použití barevné hudby v divadlech, na estrádách, tanečních zábavách nebo v cirkusech pracuje na podobném principu jako předcházející

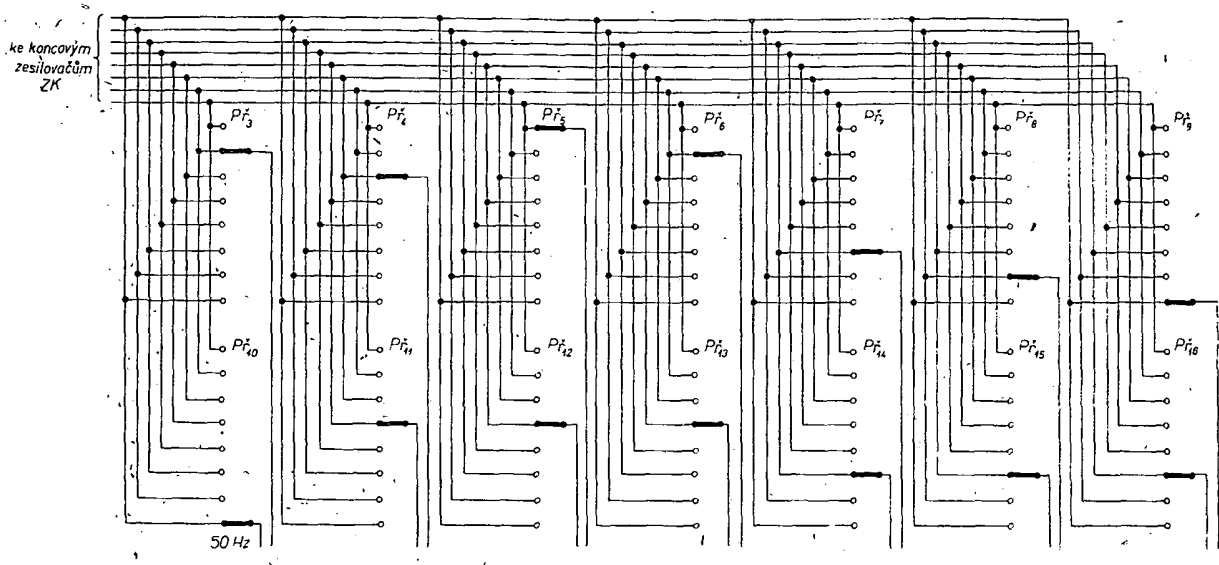


Obr. 9.

dvě zapojení, rozdíl je jen v tom, že v koncových stupních jsou zapojeny reflektory se žárovkami 127 V/75 W. Na obr. 9 je blokové schéma tohoto zařízení. Nf signál přichází nejprve na předzesilovač. Zesílený a s minimálním



Obr. 10.



Obr. 11.

od ZS_2 až ZS_{15}

zkreslením se přivádí na zesilovač-selektory ZS , které propustí jen nastavený kmitočet. Za zesilovačem-selektorem je zapojen přepojovač, který dovoluje propojovat signály z různých zesilovačů-selektorů s různými koncovými stupni. To je výhodné tehdy, chceme-li v závislosti na charakteru reprodukované hudby měnit její barevné vyjádření. Z přepojovače jde signál po detekci na D_1 na výstupní zesilovač. Pak následuje žárovka, umístěná v běžném reflektoru. Reflektory jsou zapojeny v anodovém obvodu tyratronu. Na jeho mřížku se přivádí napětí, jehož fáze je posunuta o 90° (vzhledem k anodovému napětí), dále stejnosměrné napětí získané detekcí a zesílením předcházejícího stupně. Tyratron zapálí při nulové úrovni signálu na konci kladné půlvlny anodového napětí. V tom okamžiku je jas reflektoru zanedbatelný. Zvětší-li se úroveň signálu na vstupu zařízení, zapálí tyratron dříve, tedy při větší úrovni napětí. Schéma zapojení jednotlivých obvodů je na obr. 10. Předzesilovač Z_1 je společný pro ostatní obvody. Je to zesilovač běžné koncepce se zápornou zpětnou vazbou. Napětí pro tuto vazbu se odebírá z R_8 a přivádí se na emitor T_1 . Vstupní odpor předzesilovače je 70 k Ω . Tranzistory T_1 až T_3 mají $\beta = 30$ až 40. Dolní hranice kmitočtů je 50 Hz, mezní kmitočet je dán vlastnostmi zařízení, z něhož se signál odebírá. Potenciometr R_1 slouží k regulaci jasu celého zařízení. Z T_3 jde signál na zesilovač-selektory. Kmitočtové propusti každého dílu jsou nastaveny rezonančními obvody v emitoru tranzistoru. Jen u ZS_{15} je emitorový odpor blokován malou kapacitou. Napětí vybraných kmitočtů jednotlivých stupňů postupuje dále na přepojovač. Toto napětí se odebírá z R_{12} v kolektorovém obvodu. Přepojovač má na jedné straně výstupy zesilovačů-selektorů, na druhé straně vstupy koncových zesilovačů. Na obr. 10 jsou pro každý koncový stupeň kresleny dva vývody. Je možné jich zapojit i více podle toho, kolik kombinací chceme získat. Na jeden vývod přepojovače se přivádí napětí 50 Hz z vinutí síťového transformátoru (XII). Toto napětí je důležité pro kontrolu a nastavení koncových stupňů. Z přepojovače přichází napětí na C_5 , R_{13} a na usměrňovač D_1 . Potenciometr R_{13} slouží k regulaci jasu reflektoru příslušného stupně.

Pomocí Pf_1 můžeme postupně připojovat C_6 až C_8 . Pf_1 je pro první čtveřici, pro druhou je v zesilovačích zapojen Pf_2 . Následující zesilovač stejnosměrného proudu má dva tranzistory. T_5 je zapojen se společným kolektorem, T_6 se společným emitorem. Tranzistory mají β 30 až 50. Za kolektorem T_6 následuje obvod, který posouvá fázi. Skládá se z R_{18} , R_{21} , C_9 a C_{10} . Do tohoto obvodu se přivádí střídavé napětí 6 až 7 V/50 Hz z vinutí síťového transformátoru IV, reguluje se R_{19} . Na přechodu katoda - mřížka tyratronu jsou tedy dvě napětí. Jedno střídavé (posunutě o 90°), druhé stejnosměrné, jehož velikost se mění od -8 V do -1 V podle amplitudy signálu na vstupu celého zařízení. Anodové napětí 220 V/50 Hz se přivádí na anodu přes kontakty $re_{1/1}$ relé Re_1 , žárovku a pojistku. Při změně stejnosměrného napětí -8 V až -1 V se jas reflektorů mění od minima do maxima. Protože tyratron špatně snáší větší proudy než 0,5 A, není-li dostatečně nazažhaven, je v obvodu zapojeno tepelné relé Re_2 , které spíná anodové napětí 1 minutu po zapnutí zařízení do sítě 220 V. Pro ochranu před rušícími vlivy, které vznikají při činnosti přístroje, je v síťovém přívodu filtr Th_1 , Th_2 , C_{12} , C_{13} , C_{14} .

Tab. 1.

ZS	Dolní hranice [Hz]	Horní hranice [Hz]	Počet závitů	Kapacita [μF]
2	50	100	zaplnit	5
3	100	160	zaplnit	1
4	160	240	zaplnit	1
5	240	360	330	0,5
6	360	520	320	0,5
7	520	720	300	0,25
8	720	960	280	0,25
9	960	1300	250	0,1
10	1300	1800	220	0,1
11	1800	2500	190	0,05
12	2500	3600	160	0,05
13	3600	5000	130	0,04
14	5000	8000	100	0,02
15	8000	—	—	0,01

Nastavování

Předzesilovač nepotřebuje zvláštní nastavování, jen změnou R_8 můžeme měnit zesílení, popřípadě zlepšit teplotní stabilizaci. Kmitočtový průběh můžeme zlepšit změnou kapacity C_2 . Přivedeme-li na vstup signál 100 mV, bude na výstupu předzesilovače napětí o amplitudě asi 1,2 V. Zkreslení je přibližně 5 %.

Při nastavování zesilovačů-selektorů ZS se omezíme na nastavení kmitočtové propusti. Zapojíme na vstup nf signál o amplitudě 1 V z generátoru. Na výstup připojíme elektronkový voltmetr nebo osciloskop. Měníme kmitočet generátoru a podle tab. 1 nastavíme postupně všechny propusti. Pokud je šířka propusti velká, zvětšíme počet závitů příslušné cívky (současně zmenšíme kapacitu). V některém případě stačí jen změna kapacity.

Koncové předzesilovače ZK_1 až ZK_8 se nastavují takto: odporem R_{13} nastavíme minimální jas a zvětšujeme střídavé napětí potenciometrem R_{19} až do okamžiku, kdy se žárovka rozsvítí. Potom toto napětí opět zmenšíme tak, až žárovka zhasne. Na vstup zařízení přivedeme kmitočet z generátoru nebo 50 Hz z přepojovače (amplituda 1 až 1,5 V). Potenciometrem R_{13} postupně zvětšujeme jas. V tomto případě se musí jas žárovky plynule měnit od minima do maxima. Nebude-li změna plynulá, popřípadě zhasne-li v určité poloze žárovka, je třeba přepojit konce a, b vinutí IV transformátoru T_1 za potenciometrem R_{19} . Na přepojovači odpojíme a opět připojíme vstup zesilovače od generátoru. Je-li Pf_1 přepojen na nejmenší kapacitu, zhasne žárovka rychle, při přepnutí na maximální kapacitu je zhasínání pozvolné. Stejně prověříme ostatní zesilovače. Po skončení je třeba nastavit R_{19} na minimální jas žárovek. Celý přístroj pak necháme asi 40 minut v provozu. Pokud se za tuto dobu podstatně nezmění jas žárovek, jsou obvody tranzistorů v pořádku. V opačném případě prověříme teplotu tyratronu (při konstrukci pamatovat na chlazení), tranzistorů, popřípadě nastavíme jejich kolektorové proudy. Je třeba počítat i se změ-

bočníky R_3 až R_6 volit podle použitého miliampérmetru

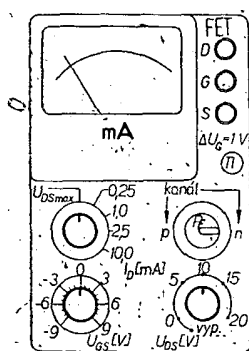
kde I_{DS} je proud elektrody D v saturační oblasti a při nulovém napětí elektrody G , tj. při $U_{GS} = 0$ a g_{mo} strmost převodní charakteristiky v saturační oblasti při $U_{GS} = 0$.

Vztah (1) vyplývá z obr. 1b, na němž je převodní charakteristika tranzistoru řízeného elektrickým polem v jeho saturační oblasti.

Známe-li omezovací napětí U_p , můžeme snadno vypočítat pro dané napětí U_{GS} i tzv. napětí kolena U_k , tj. napětí elektrody D , při němž přechází výstupní charakteristika z oblasti činného odporu do oblasti saturační. Podle [1] je

$$U_k = U_{GS} - U_p$$

Napětí kolena lze ovšem měřičem stanovit přímo. Aby se však takto získaný údaj shodoval s teoretickou velikostí, bylo by nutné jej přesněji definovat, ne-



Obr. 3. Návrh předního panelu zkoušeče, sestaveného do bakelitové krabičky B6

boť přechod z oblasti činného odporu do saturační oblasti je neostrý.

Konstrukční řešení a realizace přípravku jistě nebude při jeho jednoduchosti působit potíže ani méně zkušenému čtenáři. Měřič lze vestavět, např. do bakelitové krabičky B6. Celkové uspořádání předního panelu pro tento případ je na obr. 3. K uchycení měřického tranzistoru slouží tři mosazné držáky, jejichž podrobný výkres byl v AR 12/68.

Poznámka. – Měření strmosti tranzistoru KF520 (MOSFET) nebude příliš přesné, protože je relativně malá (dosáhne se jí kromě toho až při poměrně velkých proudch výstupní elektrody D). Strmost dalších typů tranzistorů FET však nepochybně vzroste, takže tato nevýhoda zkoušeče se přestane při měření uplatňovat.

Literatura

[1] AR 3, 4 a 7/68 (články o základních vlastnostech tranzistorů FET).

* * *

Červená pájka

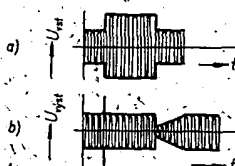
Ke snadné kontrole při pájení slouží nový typ pájky – pájka má výraznou červenou barvu. Jak se praktickými zkouškami ukázalo, je používání této pájky velmi výhodné především při ručním pájení v miniaturizovaných obvodech; u nichž je pak kontrola, jsou-li všechny spoje spájeny, snadná a rychlá. Pájka nekoroduje a také jinak má velmi dobré vlastnosti. Jde o výrobek firmy Multicore Solders Ltd. – Mi-

Kompresor dynamiky v nf zesilovači vysílacích

Ivan Kunc, OK1AFT

Kompresor dynamiky je zařízení profesionálně často používané; v amatérských podmínkách se s ním zatím setkáváme zřídka, ačkoli nejde o zařízení složité a možnosti jeho využití jsou velmi široké. Může podstatně usnadnit práci při různých druhích zpracování mluveného slova, tj. při amatérském vysílání, u hlasitých telefonů, u zesilovačů pro nedoslýchavé atd. (Zařízení se nehodí pro zařízení k věrné reprodukci, neboť v podstatě zmenšuje dynamiku signálu; u věrných elektroakustických přenosů naopak žádáme zachování co nejširšího dynamického rozsahu).

Ve všech případech zpracování ní signálů hraje důležitou roli nastavení úrovně. Prakticky jde o to, aby úroveň nepřesáhla hranici, kdy zařízení má již nepřijatelné zkreslení; současně však musí být úroveň tak velká, aby se využilo dynamiky zařízení a aby se udržel dostatečný odstup signálu od šumu. Přitom dynamika současných zařízení je podstatně menší než dynamika zvuků v prostorů, které může lidský sluch vnímat přímo. Tuto nepříznivou situaci pomůže zlepšit kompresor dynamiky. U vysílaců kromě toho ještě vyžadujeme dosažení velké komunikační účinnosti; z tohoto hlediska vyhovuje dynamika co nejmenší [6].

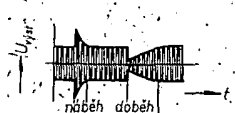


Obr. 1. a) Skokový průběh amplitudy zaváděný na vstup kompresoru, b) ideální komprese

Kompresor dynamiky je v podstatě obvod automatického řízení zesílení nf zesilovače. Je podobný obvodům AVC, které se používají k řízení vf zesílení v přijímačích. Požadavky kladené na kompresor jsou však poněkud odlišné; odpovídají spíše požadavkům na AVC pro příjem CW.

Funkci kompresoru hodnotíme pro skokové zvětšení a opět skokové zmenšení vstupního napětí. Při zesílení signálu má kompresor zmenšit zesílení co nejrychleji; ideální kompresor (obr. 1) by reagoval okamžitě.

Skutečný kompresor (obr. 2) však zmenší zesílení až za určitou dobu. Pro profesionální zařízení různé jakosti bývá tato doba (říkámé ji doba náběhu) 40 až 150 ms pro skok 20 dB. Při skokovém zmenšení hlasitosti nesmí však kompresor zvětšovat zesílení příliš rychle. Nesmí zvětšovat zisk při slabších slabkách a zvucích (musí zachovat dynamiku „uvnitř slov“) a musí zachovat tiché pauzy, které jsou mezi slovy a větami při přirozeném tempu hovoru. Proto



Obr. 2. Skutečná komprese

žádáme, aby doba opětového zvětšení zisku pro skokové zmenšení vstupní úrovně byla mnohem delší. Jako vhodná se uvádí doba minimálně 300 až 700 ms.

Obvod regulující zesílení tvoří spolu se zesilovačem vlastně servosystém, který musí být konstruován tak, aby odezva výstupu na pravoúhlý skok na vstupu probíhala bez rušivých překmitů. Na obr. 3 je reakce nevhodně voleného systému; je vidět, že obvod zmenšuje zesílení velmi rychle, ale značný překmit působí velmi rušivou „díru“ v modulaci.

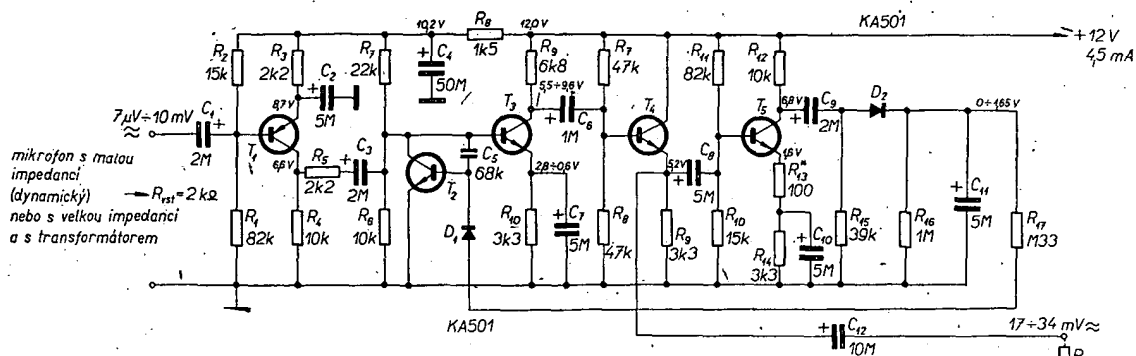
Kompresor popisovaný v tomto článku je navržen s ohledem na maximální jednoduchost zapojení, malou spotřebu a použití dostupných součástek s vyloučením transformátorů. Obsahuje jeden řízený stupeň.

Řídíme-li obvyklým způsobem zesílení tranzistoru v kompresoru (velikostí kolektorového proudu), dochází k nepříznivému jevu: čím je signál větší, tím více se tranzistor zavírá, až nakonec není schopen tento velký signál zpracovat bez zkreslení. V popisovaném kompresoru (obr. 4) slouží k regulaci tranzistor T_2 . Řídící napětí jej otevírá a napětí signálu na jeho kolektoru se zmenšuje, neboť R_5 , T_2 tvoří dělič napětí. Současně se však zavírá T_3 , jehož zesílení se zmenšuje. T_3 může být téměř úplně zavřen a ke zkreslení signálu nedojde. Tento obvod má značný regulační rozsah. Použil jsem jej také pro AVC při příjmu CW a SSB v tranzistorovém komunikačním přijímači, kde jsem dosáhl rozsahu přes 80 dB.

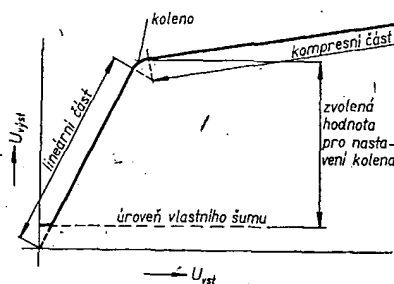


Obr. 3. Nevhodně volená servosmyčka kompresoru

Statická přenosová charakteristika kompresoru je na obr. 5. Má lineární část, v níž kompresor pracuje jen jako zesilovač. Při určitém napětí se charakteristika lomí a v tomto kolenu se teprve začne projevovat kompresní účinek. Skokové závislosti je proto třeba měřit na úrovni nebo za úrovni tohoto kolena.

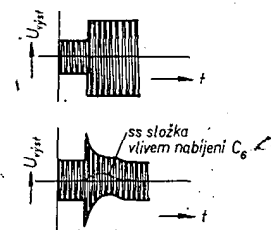


Obr. 4. Kompresor dynamiky v nf zesilovači. T_1 je tranzistor s malým šumem, např. OC603, BC214, BC107 až BC109, KG507 až KC509, T_2 křemíkový tranzistor s velkým zesilovacím činitelem (min. 150) KC507 až KC509, BC107 až BC109, T_3 , T_4 a T_5 jsou běžné nf germaniové tranzistory 105 až 107NU70. – Stejnosečná napětí ve schématu jsou měřena voltmetrem se vstupním odporem asi $1\text{ M}\Omega$

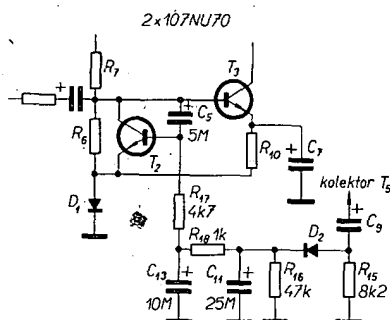


Obr. 5. Přenosová charakteristika kompresoru

časovou konstantu článku C_{11} , R_{17} . Velký vstupní odpor T_2 a jeho velký zesilovací činitel (používá se KC508 s $\beta = 300$) umožňují použít velký odpor R_{17} ; pak může mít C_{11} poměrně malou kapacitu. Současně je zajištěna dobrá filtrace, která zabraňuje pronikání zbytků nf z detektoru na bázi T_2 . Nemáme-li křemíkový tranzistor s velkým zesilovacím činitelem, použijeme tranzistor germaniový; vzhledem k menšímu vstupnímu odporu i zesilovacímu činiteli germaniových tranzistorů musíme však změnit obvod časových konstant. Kom-



Obr. 7. Stejnosečná složka ve výstupním napětí

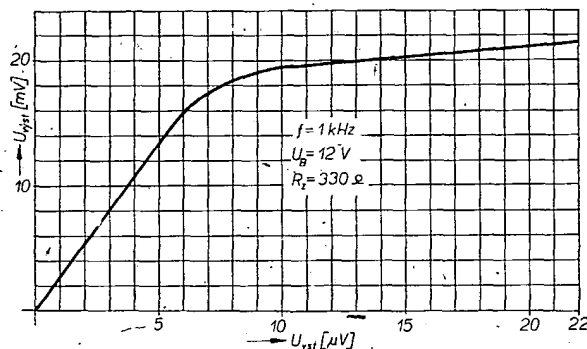


Obr. 6. Kompresor dynamiky s germaniovými tranzistory

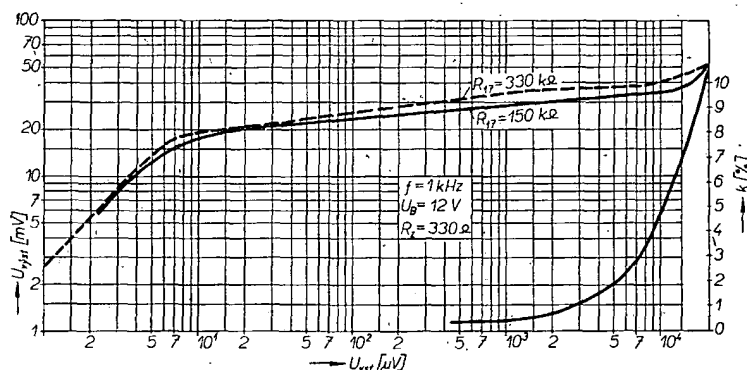
Popis zapojení

Vstup je přizpůsoben pro dynamický mikrofon s malou impedancí. Tranzistor T_1 je mikrofonní předzesilovač; je osazen tranzistorem s malým šumem, není to však nezbytné. T_2 a T_3 tvoří řízený obvod, T_4 je výstupní emitorový sledovač. Výstupní napětí je řádu desítek milivoltů. V mém případě to stačí, neboť zátěž tvoří kruhový modulator vysílače SSB. Na emitor T_4 je současně navázán zesilovač T_5 pro obvod řízení. Přes C_9 je navázán detektor s diodou D_2 . Doba náběhu je dána vnitřním odporem detektoru a kondenzátorem C_{11} , doba doběhu obvodem C_{11} , R_{17} . Dióda D_1 se otevře, teprve když napětí překročí asi 0,6 V. Křemíkový tranzistor T_2 se začne otvírat a tím regulovat zesílení; teprve když napětí na C_{11} bude asi 1,2 V. Kondenzátor C_5 zabraňuje rozkmitání řídicího obvodu zavedením silné záporné zpětné vazby v T_2 pro vyšší kmitočty. Nesmí být příliš velký, jinak ovlivňuje

Obr. 8. Statická charakteristika kompresoru v lineárních souřadnicích

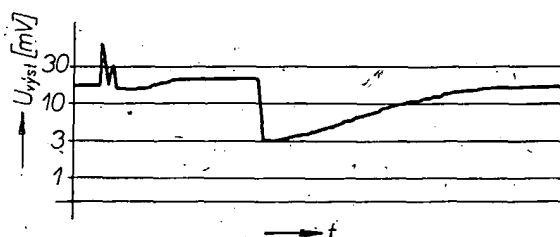


Obr. 9. Zkreslení a statická charakteristika kompresoru v logaritmických souřadnicích



Obr. 10. Odezn kompresoru na vstupní skok 20 dB.

$U_{vst} = 10\text{ }\mu\text{V}$,
 $f = 1000\text{ Hz}$,
 $15\text{ mm} = 1\text{ s}$



presor pak ovšem vyjde rozměrnější. Dioda D_2 vyhoví libovolná germaniová.

Obvod pro získání zpoždovacího předpětí je zapojen poněkud odlišně. Je na obr. 6 a má o něco horší vlastnosti než předcházející. Velikostí odporu R_{13} nastavujeme zisk T_5 a tím polohu kolena na statické charakteristice kompresoru. Přitom se mění výstupní napětí na zátěži, to však není rozhodující; napětí lze nastavit děličem na výstupu (za C_{12}). Rozhodující je odstup kolena od šumové úrovně na výstupu kompresoru (přičemž je vstup bez signálu). V mém případě je tento odstup nastaven na 20 dB. Přestanu-li tedy mluvit do mikrofonu, zvětší se po doběhu kompresoru zesílení tak, že vlastní šum na výstupu se ustálí na úrovni o 20 dB menší, než jakou měl předtím signál.

Při odezvě kompresoru na skokové zvýšení signálu vzniká ještě tento jev; při zavírání T_3 se zvětšuje stejnosměrné napětí na jeho kolektoru. Kondenzátor C_6 se dobíjí na toto větší napětí a tím se posouvá pracovní bod T_4 . Stejně vzniká tento jev na výstupu. Výstupní napětí pak obsahuje po dobu průběhu jevu stejnosměrnou složku (obr. 7). Pro zmenšení tohoto jevu volíme kapacitu C_6 co nejmenší – takovou, abychom právě dosáhli požadované dolní hranice kmitočtové charakteristiky; v tomto případě je charakteristika 200 Hz až 16 kHz pro pokles o 3 dB. Je třeba ji samozřejmě měřit ještě v lineární části přenosové charakteristiky, tj. pod „kolenem“. Nad ním se charakteristika vlivem kompresního účinku rychle rozšiřuje, např. pro vstupní signál 20 dB nad „kolenem“ jsem naměřil 40 Hz až 95 kHz pro 3 dB poklesu.

Při použití v modulatoru vysílače je nezbytné zařadit mezi kompresor a vysílač nf filtr, omezující kmitočty nad 2,4 kHz v souladu s novými povolenými podmínkami.

Obr. 8 ukazuje změřený začátek přenosové charakteristiky kompresoru. Je na něm vidět, že koleno je nastaveno asi na 7 μ V vstupního napětí. Výstupní napětí je přitom asi 17 mV. Zisk zesilovače v lineární části je asi 68 dB.

Na obr. 9 je celá statická charakteristika spolu s průběhem zkreslení až do 10 %. Z grafu je vidět, že výstupní napětí vzroste o 8 dB při zvětšení vstupního napětí asi o 68 dB. Kompresor tedy dokáže převést vstupní signál s dynamikou 88 dB (nad vlastním šumem) na výstupní signál s dynamikou 28 dB. Přitom zkreslení 10 % vzniká až při vstupní úrovni 20 mV. Tuto úroveň mikrofon ani neposkytne.

Obr. 10 ukazuje odezvu kompresoru na skok 20 dB z úrovně „kolena“, změřenou zapisovačem Brüel & Kjaer. Náběh je asi 160 ms, doběh asi 1,65 s. Tuto poměrně dlouhou dobu doběhu jsem po zkouškách poslechem zvolil jako nejvýhodnější. Komu by však nevyhovovala, může ji zmenšit podle potřeby zmenšením odporu R_{16} nebo kondenzátoru C_{11} . Kompresor je konstruován pro teploty okolí 10 až 40 °C. Při úpravě pro nižší teploty musíme počítat s teplotními závislostmi nejen tranzistorů, ale i elektrolytických kondenzátorů. Jako C_{11} je pak lepší použít tantalový kondenzátor.

Při konstrukci se řídíme zásadami obvyklými při stavbě citlivých nf zařízení, tj. spoje v obvodu R_2 , C_1 , R_1 co nejkratší; přívod od mikrofonní vložky samozřejmě stíněný atd.

Pro hlubší studium problematiky

kompresorů lze doporučit [5], kde je přehled používaných principů a seznam dalších pramenů.

Kompresor u vysílače zvětšuje komunikační účinnost zmenšením dynamického rozsahu signálu z mikrofonu. V každém okamžiku však dodržuje poměr signál/šum na vstupu (přesněji: na výstupu mikrofonního předzesilovače) na rozdíl od zařízení popsaného v [6], které nemění zisk, ale zvětšuje komunikační účinnost amplitudovým omezením (tvarové zkreslení je přitom vyloučeno převedením na SSB). Tento „nezkreslující omezovač“ vždy zhoršuje poměr signál/šum v takové míře, do jaké se signál omezuje. Obě zařízení tedy pracují na různých principech a lze je sloučit.

NÁVRH tranzistorových výkonových zesilovačů pro VKV

Ing. Vladimír Geryk

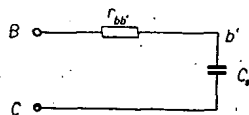
Možnosti našich amatérů získat vhodný výkonový tranzistor pro pásmo 2 m se zlepšují a podaří-li se některý typ sehnat, stojíme před otázkou realizace koncového stupně vysílače. I když Amatérské radio věnuje tranzistorovým obvodům dost místa, o výkonových zesilovačích pro VKV byly informace zatím velmi skromné, i když problémy jejich realizace nejsou malé. Tento článek nepřekládá sice přesný „kuchařský“ návod, chce však usnadnit pochopení problémů těchto obvodů.

Pod pojmem výkonový zesilovač budu v tomto článku popisovat zapojení, která jsou schopna dodat výstupní výkony řádu desítek wattů. Při takových zapojeních pracuje totiž tranzistor na rozdíl od nevykonových zapojení v režimu tzv. „velkého signálu“, což poněkud mění chápání jeho vlastností a chování. Výkonové vlastnosti výkonových tranzistorů pro VKV bývají v katalogích udávány pod anglickým názvem „large-signal parameters“. Obvykle udává výrobce kromě běžných údajů o výkonech, mezním kmitočtu atd. i další údaje, např. ekvivalentní vstupní paralelní kapacitu C_p , popřípadě odpor báze $r_{bb'}$, ekvivalentní výstupní kapacitu C_o a její závislost na kolektorovém napětí, často také výstupní kapacitu pro zapojení se společnouází C_{ob} . Dále bývá graficky vynesena závislost výstupního výkonu na výkonu budícím, pokles výstupního výkonu v závislosti na kmitočtu a účinnost.

Protože amatér nemá obvykle možnost všechny tyto údaje zjistit, budu se snažit použít při návrhu jen ty nejzákladnější.

Úvodem předpokládáme, že tranzistor má mezní kmitočet f_T alespoň dvakrát vyšší než je ten, na němž má výkonové zesilovat.

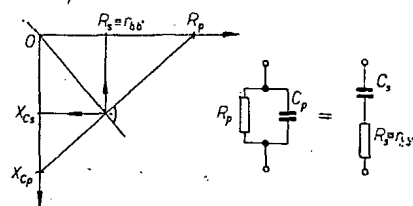
Vydeme-li z hybridního náhradního schématu vf křemíkového epitaxně planárního tranzistoru v zapojení se společným emitorem, můžeme si vstupní obvod představit jako sériovou kombinaci odporu $r_{bb'}$ a kapacity C_s (obr. 1). Ostatní prvky náhradního schématu pro jejich malý vliv zanedbáme.



Obr. 1.

Literatura

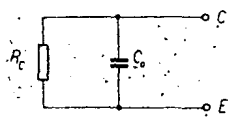
- [1] Dynamikkompresor. Funkschau 23/67, str. 723.
- [2] Kalb, J.: Die automatische Aussteuerungsregelung im Tonbandkoffer TK 19 Automatic. Funktechnik 9/63, str. 307.
- [3] Jakubasch, H.: Dynamikbegrenzer mit Transistor als veränderlichem Widerstand. Radio und Fernsehen 7/65, str. 216.
- [4] Huhn, W.: Vierspur-Magnetongerät mit automatischer Aussteuerungsregelung. Radio und Fernsehen 17/66 a 18/66.
- [5] Fortuna, J.: Kompresory dynamiky s polovodičovými prvky. ST 8/65.
- [6] Vitoš, V.: SSB s konstantní úrovní. AR 11 a 12/67.



Obr. 2.

Odpor $r_{bb'}$ si můžeme představit jako odpor materiálu báze, kapacita C_s je kapacita přechodu báze-emitor v ekvivalentní formě. Pokud máme k dispozici jen paralelní ekvivalentní hodnoty, převedeme je na sériové podle grafu (obr. 2). Počítáme zde s reaktancemi kapacit pro předpokládaný kmitočet a s odpory; reaktance paralelního zapojení v ohmech vyneseme na osy, spojíme a na spojnici spustíme kolmici z počátku; souřadnice takto získaného bodu určují použitelné hodnoty $r_{bb'}$ a C_s . Velikost $r_{bb'}$ nemá být u dobrých tranzistorů větší než 20 Ω . Tranzistory pro výkonové zesilovače v pásmu VKV mají obvykle $r_{bb'}$ menší než 10 Ω . Naproti tomu některé spínací tranzistory, ačkoli by na první pohled měly na požadovaném kmitočtu zesilovat, nedají vlivem velkého odporu $r_{bb'}$ předpokládaný výstupní výkon. Dále je třeba si uvědomit, že na tomto odporu se mění v teplo celý budící výkon, který nesmíme zapomenout zahrnout do celkového oteplení tranzistoru.

Představu o tom, jak se chová výstupní, tj. kolektorový obvod tranzistoru získáme, vydeme-li opět z náhradního schématu. Pro další výpočet bude důležité zjistit hodnoty náhradního sché-



Obr. 3.

matu tohoto obvodu, který je na obr. 3.

Odpor R_C je vlastně výstupní odpor tranzistoru pro výkonové zesílení, kapacita C_0 je výstupní kapacita tranzistoru. Pro zesilovač třídy B, popř. C určíme R_C s dostatečnou přesností ze vzorce

$$R_C = \frac{U_{CE}^2}{2P_{výst}},$$

kde U_{CE} je stejnosměrné napětí zdroje, jímž je koncový stupeň napájen a $P_{výst}$ požadovaný výstupní výkon.

Kapacita C_0 je také pro další výpočet důležitá a musíme ji vyhledat v katalogu. Je-li v katalogu udána jen kapacita pro zapojení se společnou bází C_{ob} , platí přibližný vztah

$$C_0 \approx 2C_{ob}$$

U dobrých tranzistorů se tato kapacita pohybuje v rozmezí 4 až 20 pF. Znat tuto kapacitu tranzistoru je nutné, velmi důležité je však také znát její závislost na napětí U_{CE} . Tranzistory, u nichž je tato závislost příliš velká, nejsou pro výkonové zesilovače vhodné. Vysvětlení je jednoduché; u takového tranzistoru je během periody výstupní obvod značně rozladován, tím se zmenšuje jeho rezonanční odpor a vznikají silné harmonické kmitočty.

Ostatní vlastnosti tranzistoru nejsou pro výpočet laděných obvodů důležité a nebudeme se jimi zabývat. Bude-li tranzistorový výkonový zesilovač dobře vyladěn a přizpůsoben, budou vstupní i výstupní impedance tranzistoru malé a prvky způsobující vnitřní zpětnou vazbu se neuplatní. Při dodržení zásad konstrukce pro VKV se neuplatní ani vnější zpětné vazby a zesilovač bude dostatečně stabilní.

Vstupní laděné obvody výkonových zesilovačů

Běžně používané laděné obvody mají při popsání impedančních poměrů a vysokých kmitočtech špatný koeficient vazby a přenos výkonu je velmi ztrátový. Proto se v těchto zesilovačích běžně používají neobvykle vypadající vazební obvody, které tento nedostatek nemají. Práce s nimi není složitá, jednoduchý výpočet je však nutný, neboť experimentálně se dobrých výsledků dosahuje jen velmi obtížně. Použijeme-li logaritmické pravítko, je návrh jednoduchou záležitostí.

Při výpočtu dále uvedených obvodů pracujeme s obvodovými prvky jako s reaktancemi; velikost kapacit a indukčností převádíme podle tabulky 1, která je vypočítána pro kmitočet 145 MHz. Hodnoty, které v tabulce nejsou, získáme interpolací.

Pozornost musíme věnovat i volbě Q_z , tj. činiteli jakosti indukčností zatížených obvodů. Pro obvody v kolektoru, tj. výstupní, budeme volit Q_z v rozmezí 5 až 15 a pro budící obvody v rozmezí 5 až 10. Jakost Q nezatížených cívek se budeme snažit přirozeně dosáhnout co nejlepši.

Tab. 1.

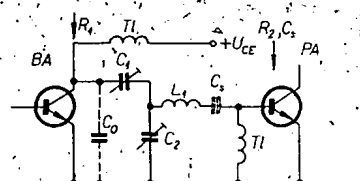
$X_C, X_L [\Omega]$	$C [pF]$	$L [nH]$
5	220	5,5
10	110	11,0
15	73	16,5
20	55	22
25	45	28
30	36,6	33
35	31,4	38
40	27,5	44
45	24,4	50
50	22,0	55
55	20,0	60
60	18,3	66
70	15,7	77
80	13,7	88
90	12,2	99
100	11,0	110
120	9,1	132
140	7,9	154
160	6,9	176
180	6,1	198
200	5,5	220
250	4,5	275
300	3,6	330
350	3,1	385
400	2,8	440

$$X_C = \frac{1}{\omega C}$$

$$\omega = 2\pi f$$

$$X_L = \omega L$$

$$f = 145 \text{ MHz}$$



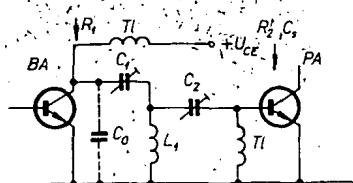
Obr. 4.

podmínka: $|X_L| > |X_{Cs}|, R_1 > R_s$

$$X_{C1} = X_{C0} \sqrt{\frac{(Q_z^2 + 1)R_s}{R_1} - 1}$$

$$X_{C2} = \frac{R_s(Q_z^2 + 1)}{Q_z} \frac{1}{1 - \sqrt{\frac{R_1 R_s (Q_z^2 + 1)}{X_{C0}^2 Q_z^2}}}$$

$$X_{L1} = Q_z R_s$$



Obr. 5.

$$X_{L1} = \frac{R_s(Q_z^2 + 1)}{Q_z} \frac{1}{1 + \sqrt{\frac{R_1 R_s (Q_z^2 + 1)}{X_{C0}^2 Q_z^2}}}$$

$$X_{C1} = X_{C0} \sqrt{\frac{R_1 (Q_z^2 + 1)}{R_s} - 1}$$

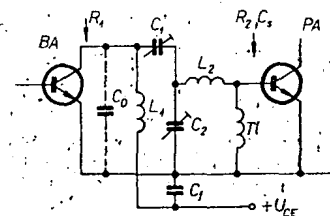
$$X_{C2} = Q_z R_s$$

podmínka: $|X_{C1}| > |X_{Cs}|, R_1 > R_s$

Návrh budících obvodů

Koncový tranzistor je vždy buzen budícím stupněm a úkolem vazebních obvodů je převést výkon na požadovaném kmitočtu z kolektoru budícího tranzistoru na bázi koncového tranzistoru, tj. přizpůsobit navzájem menší výstupní odpor budícího zesilovače R_C a vstupní odpor koncového stupně, reprezentovaný $r_{bb'}$ koncového tranzistoru.

Tři vhodná zapojení jsou na obr. 4, 5, 6. Odpor R_C je ve vzorcích u jednotlivých obvodů označen jako R_1 , odpor $r_{bb'}$ jako R_s .



Obr. 6.

$$X_{L1} = \frac{R_1}{Q_z}$$

$$X_{L2} = \frac{R_s}{Q_z} \frac{\frac{R_1}{R_s} - 1}{1 - \frac{R_1}{Q_z X_{C0}}}$$

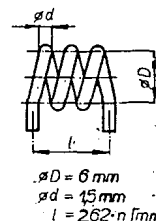
$$X_{C1} = \frac{R_1}{Q_z} \frac{1 - \sqrt{\frac{R_s}{R_1}}}{1 - \frac{R_1}{Q_z X_{C0}}}$$

$$X_{C2} = \frac{R_s}{Q_z} \frac{\sqrt{\frac{R_s}{R_1}}}{1 - \frac{R_1}{Q_z X_{C0}}}$$

Reaktance kapacit a indukčností určíme snadno z tab. 1; v celém výpočtu pracujeme s absolutními hodnotami reaktancí. Pokud by se nám u schématu na obr. 4 nepodařilo splnit podmínku $|X_L| > |X_{Cs}|$, zvětšíme po vypočítání X_L tuto hodnotu o prostou hodnotu X_{Cs} . Po výpočtu zvoleného obvodu se vždy přesvědčíme, vyhoví-li vypočtené hodnoty případné podmínce. Jinak jsou všechny tři obvody stejně dobře použitelné. Výstupní odpor tranzistoru budícího stupně určíme rovněž podle uvedeného vzorce. Vypočtené kapacity realizujeme jako trimry, jimiž pak obvod doladíme; rozsah potřebného přeladění zjistíme přibližně tak, že uděláme výpočet pro dvě různé velikosti Q_z , např. pro $Q_z = 5$, $Q_z = 10$. Vypočítané indukčnosti jsou udány v nH (10^{-9} H), tedy tisícinách μ H. Pokud je vypočtená hodnota L v rozsahu tabulky

Tab. 2.

Závity	$L [nH]$
1	20
2	36
3	53
4	70
5	90
6	112
7	126
8	148
9	168
10	190
11	214
12	232



2, můžeme cívku přímo navinout, větší indukčnosti vyrobíme obvyklým způsobem.

Výstupní obvody

Tyto obvody jsou znázorněny na obr. 7, 8, 9. Odpor R_1 je zde roven R_c tranzistoru (viz úvod článku). Odpor R_2 je stejný jako charakteristická impedanace anténního napáječe.

Obvod na obr. 7 se používá tehdy, vyjde-li po výpočtu R_1 větší než R_2 , obvod na obr. 8 má větší potlačení harmonických kmitočtů a obvod na obr. 9 volíme tehdy, vyjde-li R_1 menší než R_2 . Při výpočtu postupujeme stejně jako u vstupního obvodu.

Konstrukční poznámky

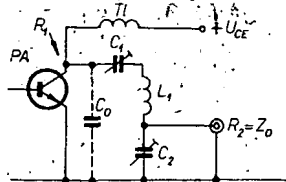
Samozřejmostí je dodržování konstrukčních zásad pro zařízení VKV. Navíc musíme věnovat pozornost chlazení tranzistoru. Spojení je třeba udělat co nejkratší a masivní – nesnažíme se zvětšovat montážními kapacitami celkovou výstupní kapacitu tranzistoru. Stínění je nutné jen mezi vstupem a výstupem (přepážkou) – ušetříme si různá divoká kmitání při nastavování stupně. Cívky obvodů se snažíme stavět navzájem kolmo. Důležité je uzemnit emitor co možná nejkratší cestou, délka větší než 3 až 4 mm je už mnoho.

Zvláštní pozornost zaslouží vř. tlumivky. Tlumivku v. bázi musíme zhotovit tak, aby neměla velké Q . Nejlépe je navinout několik závitů na perličku z „krátkovlnného“ feritu. Při nastavování se vyplácí připojit paralelně k této tlumivce malý odpor, asi 47 až 100 Ω . Tlumivka v kolektoru je méně náročná; navineme ji opět na feritovou perličku, ale z kvalitnějšího materiálu. V případě parazitního kmitání je možné přidat malý sériový odpor řádu desítek ohmů, nebo zmenšit Q tlumivky.

Problémem také bývá dokonale uzemnění. Velmi záleží na parazitních indukčnostech uzemňovacích kondenzátorů. Vyplácí se uzemňovat několika kondenzátory, přičemž doporučuji diskový typ TK 245 470 pF.

Při nastavování zesilovače musíme především po dobu laborování chránit nejdražší součástku – tranzistor. Protože často dojde k divokému rozkmitání stupně a tím k proudovému přetížení tranzistoru, je důležité zajistit, aby zdroj nemohl dát větší proud, než je maximální přípustný I_c . Tento problém již byl na stránkách tohoto časopisu řešen, nebudu se jím proto zabývat.

Při ladění obvodů v kolektoru se ne-



Obr. 7.

$$X_{C1} = \frac{Q^2 X_{C0}}{R_1} \left(1 - \frac{R_1}{Q^2 X_{C0}} \right)$$

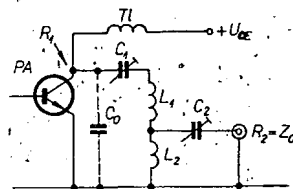
$$X_{C2} = \frac{R_2}{\sqrt{\frac{Q^2 + 1}{Q^2 X_{C0}} R_1 R_2} - 1}$$

$$X_{L1} = \frac{Q^2 X_{C0}}{R_1} \left(1 + \frac{R_2}{Q^2 X_{C1}} \right)$$

podmínka: $R_1 > R_2$

smíme polekat náhlých skoků výstupního výkonu. Vznikají působením dynamické složky výstupní kapacity C_0 , která se při rozladování obvodu a tedy poklesu rezonančního odporu zmenšuje. Ladíme-li obvod směrem k nižším kmitočtům, působí jako jakési „doladování“. Skutečné kmitání poznáme podle skoků ve výstupním výkonu při změně buzení, popř. při úplném přerušení buzení (stupeň dává vř. výkon dál). Vhodná je také kontrola přijímačem.

Závěrem bych chtěl podotknout, že účelem tohoto článku nebylo odradit od práce s těmito prvky, ale pomoci při práci, která vyžaduje neobvykle mnoho trpělivosti a často i citu.



Obr. 8.

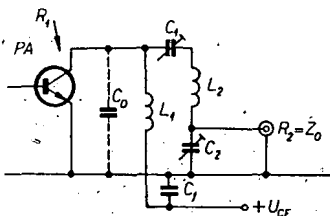
$$\text{podmínka: } \frac{Q^2 X_{C0}}{\sqrt{R_1 R_2}} > 1$$

$$X_{L1} = X_{C0} \sqrt{\frac{R_2}{R_1}}$$

$$X_{L1} = \frac{Q^2 X_{C0}}{R_1} \left(1 - \frac{\sqrt{R_1 R_2}}{Q^2 X_{C0}} \right)$$

$$X_{C1} = \frac{Q^2 X_{C0}}{R_1} \left(1 - \frac{R_1}{Q^2 X_{C0}} \right)$$

$$X_{C2} = \frac{R_2}{Q^2} \left(\frac{Q^2 X_{C0}}{\sqrt{R_1 R_2}} - 1 \right)$$



Obr. 9.

$$\text{podmínka: } R_1 < R_2$$

$$X_{C1} = Q^2 R_1$$

$$X_{C2} = \frac{R_2}{\sqrt{\frac{R_2 (Q^2 + 1)}{R_1 Q^2} - 1}}$$

$$X_{L1} = \frac{Q^2 R_1}{\frac{Q^2 R_1}{X_{C0}} + 1}$$

$$X_{L1} = Q^2 R_1 \left(1 + \frac{R_2}{Q^2 X_{C1}} \right)$$

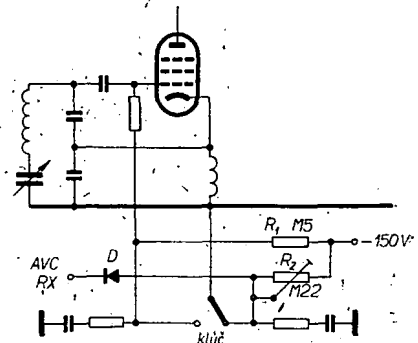
Literatura

- [1] Minton, R.: Design of Large - signal UHF Transistor Power Amplifiers. Application Notes, SMA-36, RCA.
- [2] Staff: Transistor Circuit Design. McGraw - Hill Co., 1966.
- [3] ARRL Handbook 1965.
- [4] Čermák, J. - Navrátil, J.: Tranzistorová technika. Praha: SNTL 1965.
- [5] Minton, R.: Frequency multiplication using overlay transistors. Application Notes, SMA-40, RCA.

Skutočne jednoduché tlmenie prijímača pre BK prevádzku

Pri stavbe vysielateľa som bol postavený pred problém, ako vyriešiť tlmenie prijímača K12 pri BK prevádzke. Spôsoby popísané v [1 až 5] mi nevyhovovali (predpätie na PA používam zo zvláštneho zdroja).

Navrhnuté zapojenie spočíva vo využití tretieho (rozpojovacieho) kontaktu klúča. Tento spôsob je skutočne univerzálny, nakoľko u väčšiny klúčov sa tretí kontakt vyviešťa, automatické klúče (s polarizovaným relé) nevymínajú. Vo vysielateľoch sa uplatní vo všetkých prípadoch klúčovania tam, kde stredný kontakt klúča môže byť spojený so zemou. Zapojenie pracuje takto:



Príjem – oscilátor nepracuje, nakoľko je zablokovaný záporným napätím. Odpor R_2 je klúčovým kontaktom spojený so zemou, do prijímača sa nedostáva žiadne záporné napätie, prijímač pracuje s normálnym zesilením. Obvod AVC prijímača je od vysielateľa oddelený diódou zapojenou v nepriepustnom smere.

Vysielanie – stlačením klúča sa najprv zruší skrat odporu R_2 na zem, na R_2 sa objaví potrebné záporné napätie, ktoré cez diódu D tlmi prijímač. Dosadením klúča (skratom odporu R_1 na zem) sa zaključuje oscilátor.

Prívod od klúča prevedieme dvojitým vodičom s tienením (napr. nahrávacou alebo prehrávacou šnúrou k magnetofónu). Šnúra je k vysielateľu pripojená cez bežný nf konektor. Ku kontaktom klúča sú pripojené členy RC na zhasenie oblúkov. Trimrom R_2 nastavujeme vhodný stupeň tlmenia. Dióda D je 4NN41, 5NN41 alebo iná (pozor na záverné napätie). Súčasné použitie vhodného anténneho prepínača je samozrejmé.

Literatúra

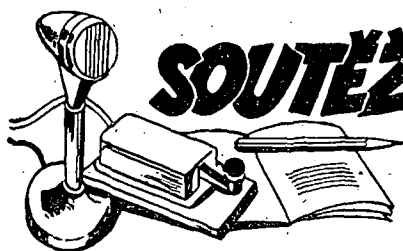
- [1] Zpozdžené klíčovanie oscilátoru pri BK provozu. AR 6/56, str. 184.
- [2] Jiskra, M.: BK provoz s přijímačem LAMBDA V. AR 7/57, str. 215.
- [3] Úprava přijímače pro BK provoz. AR 9/59, str. 257.
- [4] Jednoduché klíčování pro částečný BK provoz. AR 12/62, str. 350.
- [5] Elektronový klíč pro BK provoz. AR 12/63, str. 355.

M. Zubácky, OK3ZMT

Videomagnetofon

Nový typ videomagnetofonu bez rotujúcej hlavy uvedla na trh japonská firma Shiba a Akai. Zatiaľčo dosud bežne prodávané videomagnetofony stojí priemerné kolem 700 dolarů, nový typ je za 300 dolarů. Proti starému typu videomagnetofonu má nový typ jen tu nevýhodu, že používá podstatně větší rychlost posuvu záznamového materiálu; ostatní vlastnosti mají oba typy stejné.

-chá-



SOUTĚŽE A ZÁVODY

Změny v soutěžích od 10. března
do 10. dubna 1969

„S6S“

V tomto období bylo uděleno 6 diplomů S6S za telegrafická spojení č. 3 829 až 3 834 a 2 diplomy za spojení telefonická č. 847 až 848. V závorce za značkou je uvedeno pásmo doplňovací známky v MHz.
Pořadí CW: DK3CT (21), OK1KZD (14), OK2BCK (14), SP6AEW, OK2KZR (14) a SP1KCX.
Pořadí Jone: DL2TD (14 - 2 x SSB) a SM7CGY (21 - 2 x SSB).

„100 OK“

Dalších 7 stanic, z toho 5 v Československu, získalo základní diplom 100 OK č. 2 175 až 2 183 v tomto pořadí:
OL1AIZ (539. diplom v OK), OK1MSS (540.), OK1AFX (541.), OL1ALM (542.), OK1ASG (543.), DM4HN a YU3DAA.

„200 OK“

Doplňovací známku za 200 předložených různých listů z Československa obdržely tyto stanice: č. 194 OK2HI k základnímu diplomu č. 1 777 a č. 195 DM4WH k č. 2 280.

„300 OK“

Doplňovací známka č. 85 byla zaslána stanici OK2HI k základnímu diplomu č. 1 777.

„400 OK“

Doplňovací známku č. 44 dostala OK1KRL k základnímu diplomu č. 1 266.

„500 OK“

Doplňovací známku za 500 různých listů z OK č. 27 získala stanice OK1KRL k základnímu diplomu č. 1 266. Gratulujeme!

„P75P“

3. třída

Diplom č. 275 byl přidělen stanici DM2AYK, č. 276 OK2BCH, Jindřichu Malinovi ze Vsetína a č. 277 stanici OK3BU, ing. Juraji Blanarovičovi, Michalově.

„P-100 OK“

Další diplomy obdržely stanice OK1-1783, Karel Krtička z Pardubic s č. 531 (253. diplom v OK) a č. 532 (254.) OK2-12854, Josef Zdráhal z Olomouce.

„P-200 OK“

Doplňovací známku č. 21 k základnímu diplomu č. 451 dostane stanice OK1-15561.

„P-400 OK“

Doplňovací známku č. 3 jsme přidělili stanici OK1-7417 k základnímu diplomu č. 426. Jistě pěkný úspěch s nízkým číslem. Blahopřejeme.

Byly vyřízeny žádosti došlé do 10. dubna 1969.

K diplomu „KV 150 QRA“

V článku „Tři nové čs. diplomy“ ve 2. čísle Amatérského radia, roč. 1969, str. 75, je uvedeno v odstavci „Diplom KV 150 QRA“, že spojení musí být navázáno ze stálého QTH. Tato informace není správná. Správné je, že spojení mohou být navázána z různých míst, což znamená, že např. stanice, která podnikne expedici do některého malého čtvrtce, může si QSL-listy za tato spojení započítávat do žádosti o tento diplom, popřípadě o doplňovací známky.

Žádosti o diplomy je možné předkládat ihned po splnění podmínek; diplomy budou vydávány v pořadí, ve kterém budou žádosti docházet, ale až po 1. červenci 1969.



Rubriku vede ing. Vladimír Srdínko, OK1SV

DX-expedice

Expedice na ostrov Aves, YV0AA, se pravděpodobně přece jen neuskutečnila, i když ještě týden před oznámeným termínem ji některé YV stanice potvrzovaly. Pokud přece jen pracovala, znamenalo by to naprostý nezdár, neboť jsme ji marně hledali a ani jsme neslyšeli, že by ji někdo volal.

K expedici na ostrov Malpelo došli některé nové podrobnosti o potížích, za nichž se uskutečnila. Tak se především nepodařilo dostat na ostrov všechny připravené směrovky. Při vylodování spadly do moře a s nimi

i vedoucí expedice HR3RQ. Pět lidí mělo co dělat, aby ho zachránili! Nakonec všechno dobře dopadlo, expedice však měla potom k dispozici jen jedinou směrovku pro CW-zařízení. To také vysvětluje její zkušenosť, že HK0TU se dělala snadno na CW, ale na SSB jsem ji nakonec vůbec neudělal.

Na ostrov Rhodos podnikli o velikonočním týdně výborně vybavenou expedici SV0WVN, SV0MMM a SV0WOO. Pracovali tam pod svými značkami CW i SSB a spojení se navazovala naprosto bez potíží.

Expedice na ostrov Heard, VK0WR, kterou jsme většinou ani nezaslechli, odjela po velmi krátkém pobytu a neuspokojila ani zlomek zájemců o tuto vzácnou zemi. Nyní však oznamují, že tam tatáž skupina podnikne novou expedici asi za šest měsíců. Jen aby si mezitím pořídili výkonnější zařízení i antény!

Gus, W4BPD, začal svoji expedici nadějně, nyní však jen velmi obtížně získáváme o něm zprávy, o termínech pobytu v jednotlivých zemích ani nemluví. Neočekávaně se ozval uprostřed týdne jako VQ8CPR (a Steve jako VQ8CCR) z ostrova Rodriguez a nezdřel se tam ani přes sobotu a neděli, takže většina zájemců nedostala ani příležitost k získání této vzácné země. V době uzavřky této rubriky je pravděpodobně opět na Mauritiu jako VQ8CP a může se v nejbližší době objevit z ostrova Brandon jako VQ8CPR. Oficiálně potvrdil, že se zastaví na VQ9 (Seychelles) u Harveye, VQ9V, že však tentokrát na Chagos nepojede! Má prý velké potíže s dopravou, na niž vůbec závisí celý další průběh jeho expedice. Všechno nasvědčuje tomu, že se Gus v této části cesty zaměřil především na americké partnery, pro něž jsou Rodriguez i Brandon jedněmi z nejžádanějších zemí do DXCC, mnohem vzácnějšími než pro nás v Evropě. Proto by ovšem tyto u něho neobvyklé praktiky uplatňoval i nadále, ztratila by pro nás jeho expedice cenu. Přesto věřím, že v další části cesty bude Gus dodržovat své staré dobré zvyky a zdržovat se v každé zemi několik týdnů. Pro celou expedici oznámil Gus tento plán kmitočtů a časů provozu:

CW: 3 520 kHz od 02.00 GMT,
7 020 kHz od 01.00 GMT,
14 020 kHz od 22.00 GMT,
21 020 kHz od 16.00 GMT,
29 020 kHz od 17.00 GMT.
SSB: 3 795 kHz od 02.30 GMT,
7 073 kHz od 01.30 GMT,
14 195 kHz od 22.30 GMT,
21 395 kHz od 16.30 GMT,
28 495 kHz od 17.30 GMT.

Půlhodina denně na jednotlivých pásmech není mnoho a proto tím pečlivěji hledejte uvedené kmitočty. QSL na W4ECI: Ack Radio Supply CO., Birmingham 5, Alabama, USA.

Expedice VE6AJT a VE6APV v Pacifiku o sobě nedává vědět již měsíc. Proslychá se jen, že mají v úmyslu pracovat z Manihiky (ZK1), Tokelaus (ZM7), Niue (ZK2) a dokonce z ostrova Maria Theresia (FO8M). V této části expedice mají být posíleni ještě K7JCA a W4TDF, snad již proto, že VE6APV je t. č. v Kanadě, prý na léčení. Další zprávy přicházející přes VK a ZL jen potvrzují, že expedice stále zápasí s nedostatkem peněz. Také změnila manažera; budou si nyní QSL zřejmě vyřizovat sami na adresu VE6AJT: 3744 43 Rd Ave., Red Deer, Alberta, Canada. A tak i tato exkluzivní expedice ztrácí přitažlivost.

Velikonoční expedice v Evropě uskutečnilo několik amatérů: F9UC/FC (žádá QSL via DL7FT), 3A0US (QSL na stejného manažera) a 11RB/M1 — QSL na domovskou adresu.

PJ6AA byla expedice na ostrově Saba, kterou vedl známý KV4MA, na jeho adresu zasílejte i QSL. Pracovali pilně zejména na CW.

Zprávy ze světa

Vedení expedice na Malpelo (HK0TU) oznamuje, že s ohledem na zvýšené poštovní nestáči pro evropské stanice zaslat 2 IRC — žádá bezpodmínečně tři.

Ze 23. zóny WAZ pracují v současné době tyto stanice: JT1KAF na kmitočtu 14 016 kHz telegraficky kolem 12.00 GMT, starý známý Dambli, JT1AG, na kmitočtu 14 200 kHz SSB mezi 15.00 až 16.00 GMT a JT1AC CW na 14 MHz. QSL na P. O. Box 92, Ulan Bator. Kromě nich je v zóně č. 23 také UA0YE na 14 205 kHz SSB.

VK9RJ na ostrově Nauru je stále aktivní, hlavně na kmitočtu 14 170 kHz SSB.

Z Portugalské Guiney, která se delší dobu neobjevovala na pásmech, zahájila začátkem dubna t. r. vysílání stanice CR3KD. Pracuje CW s krystalem 14 025 kHz, poslouchá však na kmitočtu 14 050 kHz! Oznamuje, že bude QRV vždy od 20.00 do 24.00 GMT.

KW6EJ na Wake Isl. oznámil, že jeho pobyt na ostrově končí a že se přesune na některý jiný ostrov v Pacifiku.

Výsledky ligových soutěží za březen 1969

OK LIGA

Kolektivky		
1. OK3KAS	834	5. OK2KFP 504
2. OK1KTH	825	6. OK3KIO 225
3. OK1KYS	657	7. OK1KZE 178
4. OK1KTL	598	
Jednotlivci		
1. OK2PAE	1 256	11. OK1IAG 352
2. OK3BU	1 090	12. OK1APV 339
3. OK2BHV	820	13. OK1ATZ 332
4. OK1AKU	810	14.—15. OK1AMI 254
5. OK2QX	627	14.—15. OK2BPE 254
6. OK1AOR	594	16. OK1AOV 205
7. OK1JOE	539	17. OK1KZ 204
8. OK2HI	515	18. OK1DAM 152
9. OK2ZU	471	19. OK3CAZ 150
10. OK3DT	450	20. OK1AWR 117

OL LIGA

1. OL5ALY	459	5. OL1ALM 165
2. OL1AKG	375	6. OL6AIN 151
3. OL6AKP	337	7. OL1AIZ 111
4. OL2AIO	191	

RP LIGA

1. OK1-13146	5 681	7. OK1-7041 601
2. OK1-6701	3 074	8. OK1-18851 471
3. OK2-6294	2 031	9. OK2-17762 410
4. OK1-15835	1 013	10. OK1-16611 402
5. OK1-15688	882	11. OK2-16376/1 210
6. OK1-17354	648	12. OK1-17963 195

První tři ligové stanice od počátku roku do konce března 1969

OK stanice — kolektivky

1. OK3KAS 6 bodů (2+3+1), 2. OK1KTH 9 bodů (5+2+2), 3. OK1KYS 10 bodů (3+4+3).

OK stanice — jednotlivci

1. OK2PAE 3 body (1+1+1), 2. OK2BHV 8 bodů (2+3+3), 3. OK2QX 17 bodů (8+4+5).

OL stanice

1. OL1AKG 5,5 bodu (1+2,5+2), 2. OL6AKP 9 bodů (5+1+3), 3. až 5. 13 bodů: OL2AIO (2+7+4), OL5ALY (7+5+1), OL6AIN (3+4+6).

V hlášení za leden a únor se dopustila stanice OL5ALY omylu a zaslala opravená hlášení. Proto si opravte pořadí stanic za leden takto: 1. OL1AKG, 2. OL2AIO, 3. OL6AIN, 4. OL6AKO, 5. OL6AKP, 6. OL1AIZ, 7. OL5ALY a 8. OL1ALM. Za únor takto: 1. OL1AKG, 2. OL6AKP, 3. OL6AIN, 4. OL2AIO, 5. OL1ALM, 6. až 8. OL1AIZ, OL5ALY, OL6AKO. Tím se změnilo i pořadí od počátku roku za první dva měsíce. Vzhledem k tomu, že soutěž je v samotném začátku, mohli jsme vyhovět žádosti OL5ALY a opravu provést. Upozorňujeme však, že zpětné opravy nadále provádět nebudeme a i když zjistíme, třeba na podnět chybující stanice, že došlo k omylu (jako je tomu v tomto případě), budeme nuceni stanici ze soutěže vyřadit, poněvadž jednou stanovené pořadí nelze z pochopitelných důvodů (umístění se po měsících sčítá) měnit.

RP stanice

1. OK1-13146 4 body (1+2+1), 2. OK1-6701 5 bodů (2+1+2), 3. OK2-6294 10 bodů (3+4+3).

Jsou hodnoceny jen stanice, které od začátku roku posílaly všechna tři hlášení.

Tunis je trvale reprezentován stanicí 3V8AC. Nejčastěji pracuje na kmitočtu 28 690 kHz mezi 16.00 až 18.00 GMT. Má to být 9Q5CZ a jeho služební pobyt má trvat celý rok. QSL žádá na svého manažera WB6EXK nebo přímo na P. O. Box 323, Tunis.

Světový rekord v nejkratším potvrzeném WAC získala stanice 5L2KG (Liberia) — za pouhé čtyři minuty!

CR5SP na St. Thomé Isl. je nyní neobyčejně aktivní, zejména SSB na kmitočtu 14 170 kHz ráno kolem 05.00 GMT a také na různých kmitočtech na 21 MHz v odpoledních hodinách. Poměrně špatně však slyší.

Na 3,5 MHz stále ještě často pracují (zejména chtějí získat přítažlivý diplom 5B-DXCC) 9U5DS, 9U5CR, OD5BA, HL3RK, řada PY std., vesměs po 23.00 GMT.

VP2LB pracuje z ostrova St. Lucia SSB na kmitočtu 14 275 kHz, většinou v ranních hodinách. QSL žádá výhradně přímo.

Ostrov Macquarie je nyní zastoupen jen značkou VK0MI. Je to stará stanice, která tam pracovala již před více než deseti lety. Používá kmitočty 14 190 kHz jen CW nebo AM.

8R1G je téměř denně na pásmech. Je to bývalý VP3HAG (jak známo, Republika Guinea změnila značku z VP3 na 8R1). Pracuje zejména na kmitočtech 14 180 až 14 190 kHz nebo na 28 560 kHz. QSL žádá na WA4UOE.

K úplné inflaci nových prefixů došlo v Brazílii u příležitosti CQ-WW-DX-SSB Contestu, kdy se vytvořily značky: PQ1-9, PRI-9, PSI-9, PT1-9 a PU1-9, celkem 45 nových prefixů najednou.

VK9KY bude značka stanice na ostrově Cocos Keeling, jejíž operátor se tam zdrží služebně rok na observatoři. QSL manažerem je VK2SG.

HR4ET, op. Eduardo, pracuje z Tiger Isl. Ostrov, je však blízko mateřské země (papuánské),

že by byl uznán za samostatnou zemi DXCC. QSL zasíláte na P. O. Box 3, Amapalo, Honduras.

VERON oznamuje, že vzhledem ke zvyšujícím se poplatkům v Holandsku se zvyšují ceny za všechny PA-diplomy z původních 5 na 7 IRC, při doporučeném vrácení QSL na 9 IRC. Pro diplom Code Proficiency je stanovena výjimka a cena se zvyšuje jen na 3 IRC.

VP2GSM oznamuje, že již nebude odpovídat na posluchačské QSL.

Solomon Isl. nyní reprezentují dvě velmi aktivní a dobře vybavené stanice: VR4EL (adresa: Steve Cotton, P. O. Box C-22, Honiara, Brit. Solomon Isl.) a VR4EZ, jemuž dělá QSL — manažera Jack, W2CTN.

Zajímavým prefixem je CN0TT, který se objevil CW na 14 MHz koncem března t. r. a o němž zatím nic bližšího nevíme.

Z Prešova došla zpráva, že tam budou v červnu probíhat oslavy 50. výročí vzniku Slovenské republiky rad a při této příležitosti bude v Prešově pracovat kolektivka OK3KPN pod značkou OK5SSR. Kromě ní budou z Prešova pod prefixem OK5 pracovat tyto stanice: OK5BU, OM, ZVM, CFU, CGW a ZAA. Prefix OK5 používají tyto stanice již od 1. 4. 69 a budou jej používat až do 31. 12. 1969.

QSL - informace:

TU2AY — P. O. Box 20194, Abidjan, Ivory Coast (žádá zaslat 2 IRC), CO2DS — P. O. Box 6996 Havana, PX1PA stačí Andorra, Rep. Andorra, FM7WO na WB2SK, 457BP — K6CAZ, FB8ZZ—F8US, -8P6CY—W8WUM, ZD3D—W9JVF, VP2GBL — P. O. Box 104, Grenada Isl., 5R8AD—GI3PLL, HC8RF—SM5EAC, 8P6AU—W6FCI (požaduje SASE nebo IRC), VP2AP (jen za CW) — K6KA, VS5PH—DL3RK, ZD5V—XE2YP, 9X5AA—W1YRA, 5Z4KO—W1GIA, VP2AZ—W1EGT, P17CJ—VE3EUU, FK8AC—WA6MWG, SUIKH—PB 840 Cairo, YB0AAC — APO 96356, N. Y. F9UC/FC—DL7FT, 5H3LV—VR3CDX, 9X5SP — P. O. Box 419, Kigali, 9Y4DS—K9KLR (žádá IRC).

Diplomy

Diplom „DISV“ — Diplóma Ilha de St. Vicente vydávají na ostrovech Cap Verde za spojení se třemi různými stanicemi CR4 ve městě Mindelo na ostrově St. Vicente. Druh provozu ani pásmo nerozhoduje, spojení platí od 1. 1. 1968 při min. reportu 338 (33). Spojení, uskutečněné vždy 22. ledna každého roku (den St. Vicente) platí za dva body. Diplom stojí 5 IRC a žádá se přes URK na CR4AG.

Diplom „9G1“ se vydává za spojení s pěti různými stanicemi v 9G1 na dvou různých pásmech. Spojení platí od 1. 1. 1956. Diplom se vydává za CW, fone i mixed a stojí 7 IRC. Je třeba zaslat i QSL. Žádá se přes URK na: P. O. Box 3733, Accra, Ghana.

Diplom „DD 86“ vydává ve Francii département 86 (Vienne) za spojení s třemi stanicemi tohoto departementu. Spojení (CW nebo fone) platí od 1. 1. 1963. Cena diplomu je 6 IRC, QSL se nemusí zasílat, stačí potvrzený deník. Žádá se přes URK na F2VX, Diplom má 4 třídy:

- I. DD 86 on decametric bands (červený diplom),
- II. DD 86 with 3 mobile station in dpt. 86 (modrý diplom),
- III. DD 86 on VHF (zelený diplom),
- IV. DD 86 on CW (žlutý diplom).

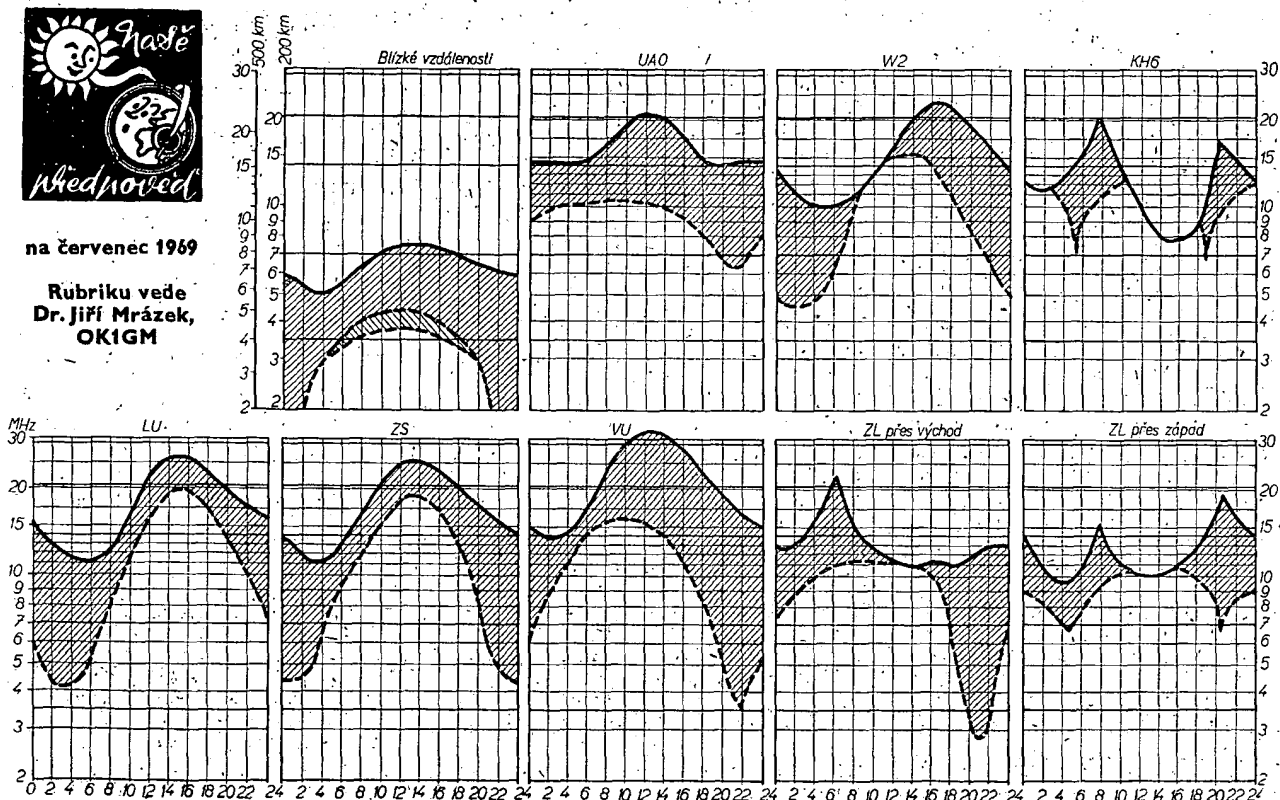
V departementu 86 jsou t. č. tyto stanice: FIRZ, VP, F2IH, OP, VX, F3GQ, HF, MT, NH, ZZ, F5HR, LI, OK, F7GX, F8AU, BN, GU, JZ, QW, JZ, F9MK, NU a čestní členové F3CN a WA2GSV/HL9KQ.

Do dnešní rubriky přispěli OK1ADM, OK1ADP, OK2QR, OK3ZAA, OK3DT, OK1ABB, OK2BRF, OK1AWQ, OK1DVK, OK1IAR a posluchači OK1-358, OK1-16376, OK2-14760 a OK1-6701. Všem děkuji za spolupráci a těším se, že zprávy do rubriky pošlou každý měsíc. Současně prosím další zájemce o DX-sport i staré dopisovatele: pište nám pravidelně! Zprávy zasílejte vždy do osmého v měsíci na adresu: Ing. Vladimír Šrdinko, Hlinsko v Č., P. O. Box 46.



na červenec 1969

Rubriku vede
Dr. Jiří Mrázek,
OK1GM



Ještě stále zůstáváme v oblasti slunečního maxima a třebaže se všeobecně soudí, že okamžik maxima je definitivně za námi, přece jen budou změny proti situaci před rokem prakticky neznatelné. V našich krajích ovšem v této roční době probíhají v ionosféře termické děje, které stlačují denní hodnoty kritického kmitočtu vrstvy F2. Proto budeme po celé léto svědky značného zhoršení DX-podmínek na pásmu 10 m, protože nejvyšší použitelné kmitočty pro všechny směry sotva dosáhnou 28 MHz. Zato však na téže pásmu najdeme často silné signály z okrajových zemí Evropy; budou se k nám dostávat odrazem od tenké, ale neobyčejně aktivní mimořádné vrstvy E. Její výskyt bude mít právě v červenci

své celoroční maximum, které obvykle spadá do poslední dekády měsíce. Současně budou mít šťěstí i lovci dálkové televize na kmitočtech kolem 50 MHz; podle zkušeností minulých let budou patřit dva denní maxima: jedno později dopoledne, přinášející zejména signály ze západu až jihozápadu, druhé později odpoledne a „směřované“ spíše na východ. Až tedy uvidíte na obrazovce televizoru zvláštní rastr se šikmými čarami, nepůjde většinou o poruchu v přijímači, ale o pronikající signál vzdáleného televizního vysílání. Podmínky tohoto druhu začínají obvykle velmi rychle, trvají několik desítek minut — vzácně až několik hodin — a pak zase stejně rychle mizí. Mají snahu opakovat se několik

po sobě následujících dnů v tutéž denní dobu; potom opět přicházejí dny bez výraznějšího výskytu těchto podmínek. Někdy nastávají odrazy až do kmitočtu kolem 100 MHz; pak ovšem zachytíme v našem pásmu VKV i vysílání sovětské. Dalším typickým letním úkazem bude zvýšená hladina QRN na „delších“ krátkých vlnách tehdy, bude-li nad Evropou bouřková fronta. Konečně musíme počítat i se zvýšeným útlumem našich signálů na kmitočtech do 7 MHz kolem poledne.

V ČERVENCI



- ... prvních 14 dní, tj. od 1. do 15. 7., probíhá tradiční SOP Contest.
- ... 5. 7. od 20.00 do 22.00 SEČ je na 160 m závod OL.
- ... 5. a 6. 7. vyjedou opět všichni „věkavisté“ na kopečky, aby se zúčastnili Polního dne.
- ... tytéž dny, tj. 5. a 6. 7. od 00.00 do 24.00 probíhá na krátkolůňných pásmech contest pořádaný venezuelskými radioamatéry.
- ... 14. a 28. 7. jsou pravidelné telegrafní pondělky na 160 m.
- ... 19. a 20. 7. od 00.01 do 23.59 GMT pořádají contest radioamatéři z Kolumbie.
- ... poslední týden v červenci, tj. od 26. 7. do 2. 8., se jistě všichni zúčastní Skopljje Memorial Contestu.



prečteme si

Šlezinger, J.: SOUČÁSTI PŘÍSTROJŮ. Konstrukce mechanických částí elektrických přístrojů. Praha: SNTL 1969, 288 stran, 505 obrázků, 11 tabulek. Váz. 16,- Kčs.

Kniha pojednává o konstrukci mechanických součástí přístrojů a zařízení sdělovací techniky a je určena jako učebnice pro 2. ročník středních průmyslových škol elektrotechnických. Je to však kniha velmi potřebná i pro amatéry a pro každého, kdo se zabývá stavbou elektronických zařízení. Snad nebude přehnané tvrdit, že je to jedna z nejlepších knih, jaká kdy byla o této tematice napsána. Při její četbě mi mimochodem napadlo, jak dlouho již SNTL připravuje příručku pro radioamatéry, v níž by měla být i tato tematika; pokud vím, začalo se o ni mluvit v elektrotechnické redakci SNTL již asi před sedmi lety nebo dokonce ještě dříve — a dodnes je stále jen v plánu. Recenzovaná kniha by pak mohla sloužit jako vzor, jak by měla vypadat část radiotechnické příručky, věnovaná mechanické stránce konstrukci elektrotechnických zařízení.

Kniha má dvanáct hlavních kapitol. Postupně se probírají technologie a estetika konstrukce, statické spojování součástí (rozebiratelná i nerozebiratelná spojení), vedení a otcné uložení, zadržovací a aretační mechanismy, součásti pro převádění pohybu, součásti pro ovládání pohybu, regulátory rychlosti a tlumiče, pružiny, ochrana přístrojů před tepelnými účinky, těsnění přístrojů, stínění v elektronických přístrojích a závěr tvoří kapitola s konstrukčními cvičeními.

Jak píše autor v předmluvě: „... Dobrým konstruktérem může být technik jen tehdy, má-li hluboké znalosti nejenovnějších vědeckých (snad lépe řečeno technických, pozn. recenzenta) poznatků a dovede jich využívat společně se znalostmi technologickými, ekonomickými i se svým praktickými zkušenostmi. Z dalších vlastností jsou pro konstruktéra důležité tvůrčí vynalézavost, smysl pro přesnost atd. Cílem učebnice je naučit se základům konstrukce mechanických součástí a mechanismů k uplatnění v oblasti elektrotechniky, zejména sdělovací.“

Kniha splňuje téměř dokonale (samozřejmě v mezích daných učební osnovou) účel, pro který byla napsána — popsat a vysvětlit základní pravidla konstrukce, výroby a použití mechanických součástí elektrických přístrojů a zařízení. Její výhodou je i návaznost na československé státní normy ČSN, na něž se autor při výkladu často odvolává. Výklad je jasný, stručný, přesný a je doprovázen (jak to u knihy tohoto typu ani jinak nemůže být) velkým počtem obrázků, tabulek a grafů. Pomineme-li úvahu o tom, jaká má být cesta od rozhodnutí o výrobě nového přístroje k jeho realizaci výrobním závodem, najde i radioamatér na každé stránce mnoho praktických zkušeností, které mu pomohou při konstrukci k tomu, aby i tam, kde obvykle bývá slabina radioamatérských konstrukcí — v mechanické a vzhledové stránce, byly jeho konstrukce „na úrovni“. Prostě — přečtete si nebo alespoň prolistujete tuto knihu sami, nebudete určitě litovat. Neměla by chybět v knihovně žádného profesionálního ani amatérského technika, který se zabývá elektronikou.

četli jsme

Radioamater (Jug.), č. 4/69

Elektronkový voltmetr — Product-detektor — Návrh konvertoru pro pásmo 2 m — Vertikální mnohopásmová anténa — Astabilní multivibrátor — Detekce signálů FM — Troposférické šíření VKV — Násobení kmitočtu polovodičovými diodami — Učte se a hrajte si s námi (4) — Jazyčková relé — Tranzistorový přijímač Kosmos — Technické novinky — Diplom — DX — Opravy tranzistorových přijímačů — Tranzistorový signální generátor — Sředení membrán reproduktorů —

Funkamateur (NDR), č. 3/69

Stavební návod na jakostní tranzistorový stereofonní zesilovač — Tranzistorový vf generátor pro pásmo 175 kHz až 250 MHz — Zlepšení magnetofonu Bändi — Zapojení s polovodičovými prvky — Stavební návod na „elektrického vrátého“ — Nabíječ akumulátorů — Nastavení fázovacího článku nf ve vysílaci SSB — Tranzistorový VFO — Výpočet jednoduchých měřicích přístrojů s možností přehrávání gramofonových desek — K účinnosti product-detektoru — Praktické zapojení měřicích přístrojů — Nf zesilovač s doplňkovými tranzistory — Stabilita VFO (4) — Díly k proporcionalnímu řízení modelů (2) — Koutek YL — SSB-QTC.

Radio, Fernsehen, Elektronik (NDR), č. 3/69

Electronica 68 — Použití tranzistorů FET v integrovaných číselných obvodech — Kritické hodnocení nosičů informací a jejich charakteristických údajů (1) — Informace o polovodičích (54), křemíkové epitaxně planární tranzistory n-p-n SS216 až SS218 — Souosý rezonátor s vnitřním vodičem ve tvaru šroubovice pro obor velmi krátkých vln — Přesnost měření zesilení v oboru decimetrových vln — Tranzistorové oscilátory řízené krystalem — Optimální využití tranzistorů v nf zesilovačích bez transformátorů — Stereofonní korekční předzesilovač pro gramofon — Dělitel kmitočtu.

Radio, Fernsehen, Elektronik (NDR), č. 5/69

Mězinárodní televizní normy — Magnetické paměťové vrstvy s velkou permeabilitou — Zobrazení na obrazovce osciloskopu pomocí Fourierovy syntézy — Výpočet výstupního impulsu mikro-paměti — Integrované obvody v mikrovlnné technice — Informace o polovodičích (56), křemíkové epitaxně planární diody SAY14 až SAY15 — Kritické hodnocení nosičů informací a jejich charakteristických údajů (3) — Zkoušeč diod — Dvákřátk integrovaný číselový voltmetr — Magnetofon Qualliton M20 — Tranzistorový anténní zesilovač pro VKV (1) — Hybridní obvody s tenkými vrstvami — Jednoduchý stabilizátor napětí s křemíkovým tranzistorem.

Radio, Fernsehen, Elektronik (NDR), č. 6/69

Nové normy ke zlepšení jakosti televizních přijímačů — Vliv ladění kapacitními diodami na obsluhu rozhlasových přijímačů — Rozmítáč kmitočtu

s tunelovými diodami — Novinky v zapojení barevných televizních přijímačů — Volba stupňovitých napětí — Elektronický přístroj k měření aktivity srdce — Informace o polovodičích (57), křemíkové planární diody v plastických pouzdech SAY30, SAY32, SAY40, SAY42 — Paměti — Vznik pulsů s extrémně strmými hranami v zapojeních s lavinovými tranzistory — Lavinový jev a jeho využití — Tranzistorový anténní zesilovač pro VKV (2).

Rádiotechnika (MLR), č. 4/69

Zajímavá zapojení s elektronkami a tranzistory — Číselkové elektronky plněné plynem — Z lineárního PA k anténě (7) — Transceiver Delta-A — Amatérská přijímací technika (3) — Vfměřicí generátory — Měřicí metody v televizní přijímací technice — Zkoušeč vysokonapěťových televizních transformátorů — Elektronky obrazových zesilovačů — Cívky přijímače Mambo — Dálkové ovládaný přijímač — ABC radioamatéra: heterodyn — Síťové transformátory — Množství elektronů Země se zmenšuje.

Radioamator i krótkofalowiec (PLR), 3/69

Nf tranzistorový zesilovač 30 W — Nabíječ akumulátorů — Magnetofon Wiosna-2 — Automat k vysílání všeobecné výzvy — Měření tranzistorů univerzálním přístrojem Lavo-1 — Fotografování obrazovky osciloskopu — KV — VKV — Nové knihy.

Radio i televizija (BLR), č. 1/69

Stereofonní zesilovač 2x10 W — Voltmetr s optickou indikací — Grid-dip-metr s elektronkou 6AF4 — Opravy televizních přijímačů — Přenosný rozhlasový přijímač Tenor — Radiotelefon RT 21-1 — Detekce AM v tranzistorových přijímačích — Relé — Feritová anténa pro příjem krátkých vln — VKV — Superreakční přijímač pro pásmo 144 MHz — CQ DX — Hádanky.

Radio i televizija (BLR), č. 2/69

Zařízení pro dálkové ovládání modelů — Typické závady televizních přijímačů Ogoněk 2 a Elektron 2 — Fraxe oprav televizních přijímačů — Elektronické zapalování pro Moskvic 408 — Kapacitní snímač a hlásič pohybu osob — Feritové paměti — Způsoby zhotovování kmitočtových značek na osciloskopických obrazovkách — Jednoduchý měřic tranzistorů — Technika tenkých vrstev v Bulharsku — Srovnávací tabulka německých, čs., polských, bulharských, jugoslávských a rumunských tranzistorů — Tranzistorový metronom — KV — CQ — DX — VKV.

Funktechnik (NSR) č. 5/69

50 let závodů Preh-Werke — K citlivosti přijímačů VKV — Tuner pro všechna televizní pásma, odolný vůči rušení — Tranzistorový konvertor pro UKV — Super VFO pro vysílac 144 MHz — Konstrukce reproduktorů — Číselková elektronika — Osciloskop v praxi opravářské dílny — Přehled magnetofonů Metz.

Funktechnik (NSR), č. 6/69

Kabelový televizní rozvod v USA a Kanadě — Kondenzátory pro elektroniku a sdělovací techniku — Lipský jarní veletrh — Konstrukce reproduktorů — Moderní zařízení amatérské krátkovlnné stanice CW-SSB — Zkoušeč tranzistorů v kapesním provedení — Číselková elektronika.

INZERCE

První tučný řádek Kčs 20,40, další Kčs 10,20. Příslušnou částku použijte na účet č. 300-036 SBČS Praha, správa 611, pro vydavatelství MAGNET, inzerce, Praha 1, Vladislavova 26. Uzávěrka 6 týdnů před uveřejněním, tj. 14. v měsíci. Neopomeňte uvést prodejní cenu.

PRODEJ

Vst. civ. KV, osc. c. KV, SV, DV s pad. kond., mf trať (kompl. 65), tlač. přep. (20), vše na Lunik; skříňka, mříž, stup. (30), koř. br. (20), nové na Mambo; duál (15), MFIII (15), osc. (15), potenc. (10), vše Dana; MFI (10), drž. bat. (6), vše Doris; tlač. přep. Rubin (15), BT T58 (10), VT Monika (10), mf. trať 455 kHz pro sit. el. přij., starší prov., nová (a 14). P. Přidal, Brno, Reissigova 9.

Gramo s leš. skříň. přijímače Dunajec (380). V. Němeček, SPŠDS Plzeň, Koter. ul.

Auto-radio Tesla Luxus se síť. zdrojem (650), tlač. souprava Orlik (60), tuner Rubin 102 (120), vf díl FM Rubin (40), více elektroněk RV12P2000-1, D60, LG1, EF13 (8), RL12T1, LV1 (15), LD1, 2, LG7, RD12Ta, Ga (20). J. Matějovec, Rokycany 776/III.

Mgf Grundig TK1 — Luxus (1000), mgf Dněpr (700). R. Valeš, Kopečná 22, Brno.

Permaktron UV-1A nepouž. (300), krystal 74,917 kHz (40). Verner, Na Hutích 292, Praha 9 — Kyje.

TX + RX — 160 m + elbug, komp. cel. (1 100). I. Tuláček, Žďár n. Sáz, III. 22/20.

Kom. RX BC348, 1,5 + 18 MHz + 10 náhr. el. (1 100). J. Skružný, Veletržní 61, Praha 7.

E10L s konv. (700), nab. aku (600), TX zdroj (500), krystaly 1 — 3,5 — 10 MHz (a 90). J. Tůma, Strnadova 3, Plzeň.

Lambda IV a dokumentace, náhr. osazení, náhr. díly, repro skřín (1 600). J. Procházka, Praha 8 — Kobylisy, Na pěšinkách 24/58, tel. 84 17 411 po 17. hod.

Nové KF504, 0C1016 (50), KF507, KA206 (30), miniaturní kond.: tantal. 80M/3 V, 50M/6 V (9), 20M/15 V, 10M/25 V (8), permitit. 3k3 ÷ 150k, stabilit. 2 ÷ 400 pF (3—9), poštou. V. Vávra, Litvinovská 520/26, Praha 9.

2 ks RE65A (à 80), 8 ks GU50 (à 40), 4 ks EC86 (à 35), QQEO3/12 (35), LD11 (30), CL6 (20), EL12 (24), AK1 (24), AK2 (24), AL4 (24). Fr. Šulc, 7. listopadu 1768, Varnsdorf V.

KOUPĚ

RX M.w.E.c., EZ6 příp. konvertor, elbug, krystal 19,5 MHz. J. Luňák, Tanvald 108.

VKV výk. křemík, tranz. typu BSY, BUY, BLY, varikapý BA. M. Soukup, Příbram 1/68.

Osciloskop, vf generátor, krystaly 1 MHz, 1,46 MHz, 1,5 MHz, 3,2 MHz, 24 MHz. J. Kvapil, Strukov 42, Olomouc.

Přijímač LWA v dobrém a původním stavu. Potřebuji půjčit nebo koupím schéma RX R1155a. L. Čermák, Bitovská 294, Vranov n. D., okr. Znojmo.

AR 52 č. 10, AR 54 č. 1, 2, 3, 4. AR 56, 57, 58 celé ročníky. AR 59 č. 1, 2, 3. Len kompletné, zachovalé, neviazané, E. Schnierer, Vyhne 157, o. Žiar n. Hr.

RX na amat. pásma a M.w.E.c., bezv. stav. V. Stránský, Dobrochov 10, o. Prostějov.

RX EL10 + zdroj, příp. schéma, bezv. stav, udejte cenu. Vítězslav Valtr, Podbabská 6, Praha 6.

Kto může poskytnout nebo požičat zapojení RX L.w.E.a. za odmenu. Ján Hudák, Továrnska 1016, Poprad.

Výkonnou minohledačku. Zaplatím částečně v tuzex. k. L. Mazuch, Kolín 5, Ovcárecká 472.

VÝMĚNA

Synchroskop Tesla typ 4QP83200 vym. za magnetofon, tranzist. rad., televizor nebo nabídněte. V. Hřebek, Radvánov 38, p. Kovářov, o. Písek.

RÚZNÉ

Správa radiokomunikací Praha, přijímací stanice 01, Velvary přijme k okamžitému nástupu vyučené radiotechniky, případně radioamatéry. Platové podmínky: D4 — D7 = 970 až 1 550 Kčs + měsíční odměny. Dále přijme absolventy SPŠ, obor sdělovací technika. Platové podmínky: T8 — T9 = 1 450 až 2 010 Kčs + měsíční odměny. Do 2 let zaručujeme byt. Blíží informace Vám podáme na vyžádání.

REDAKTORA NEBO PRACOVNÍKA se schopností tvorby textových materiálů z oboru elektroniky pro odborné časopisy a denní tisk a pro shromažďování vhodných podkladů pro tuto činnost přijme propagační útvar TESLA, Praha 4, Podolská 12. Platové zařazení T9 až T10.

Nová cesta pro radioamatéry

DO NOVÉHO ODDĚLENÍ HUDEBNÍ
A REPRODUKČNÍ TECHNIKY

V DIAMANTU PRAHA 1, VÁCLAVSKÉ NÁM. 3

NEPŘEHLEDNĚTE!

MAGNETOFON B 46 Stereo

je přístroj vhodný jako doplňující zařízení ke stereofonnímu přijímači, hudební skříní nebo gramofonu. Umožňuje monofonní záznam i reprodukci, stereofonní záznam a trikový synchronní záznam.

Stereofonní záznam je možné reprodukovat buď stereofonními sluchátky nebo hlasitě pomocí předávacího zařízení (stereofonní zesilovač, stereofonní rozhlasový přijímač).

Rychlost posuvu pásky 9,53 cm/s,
kmitočtový rozsah 50—15 000 Hz,
výstupní výkon 2,4 W,
napájení 120/220 V — 50 Hz,

to jsou hlavní technické údaje tohoto moderního magnetofonu.

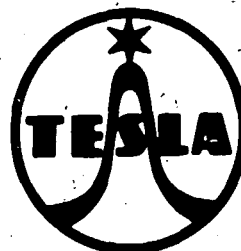
Žádejte ve specializovaných prodejnách TESLA

Adresy prodejen TESLA:

Praha 1 — Martinská 3; Praha 1 — Národní 25 — pasáž Metro; Praha 2 — Slezská 4; Praha 1 — Soukenická 3; Pardubice — Jeremenkova 2371; Králiky — nám. Čs. armády 362; Ústí n. Lab. — Revoluční 72; Děčín — Prokopa Holého 21; Liberec — Pražská 142; Chomutov — Puchmajerova 2; Jablonec — Lidická 8; Cheb — tř. Svobody 26; Č. Budějovice — Jiřovcova 5; Brno — Masarykova tř. 23; Brno — Františkánská 7 (jen součástky); Jihlava — nám. Míru 66; Prostějov — Žižkovo nám. 10; Ostrava — Gottwaldova 10, Olomouc — nám. Rudé armády 21; Frýdek-Místek — sídliště Riviéra (Dům služeb); Bratislava — Červenej armády 8-10; B. Bystrica — Malinovského 2; Košice — Nové Mesto — Luník 1; Michalovce — Dom služeb, II. posch.; Kežmarok — Červenej armády 50.

TESLA

DOBŘÉ VÝROBKY
DOBŘÉ SLUŽBY



STABILIZOVANÝ ZDROJ „T84“

0 AŽ 16 V / 1,6 A

Stabilizovaný zdroj stejnosměrného napětí, vhodný pro vybavení laboratoří a technických pracovišť.

Výstupní napětí říditelné stupňovitě a plynule v 8 rozsazích od 0 do 16 V.

Vnitřní odpor zdroje je na všech rozsazích menší než $0,2 \Omega$. Výstupní proud 0 až 1,6 A, měřitelný ve 4 rozsazích: 30 mA, 100 mA, 300 mA a 1,6 A. Maximální zkratový proud je 2,2 A.

Přístroj je jištěn elektronickou pojistkou, regulovatelnou od 0,4 A do 2,2 A.

Maximální zvlnění výstupního proudu: 10 mV.

Rozměry $225 \times 280 \times 115$ mm.

Váha 7 kg.

Výrobce a dodavatel:

TESLA

BRATISLAVA,
závod VRÁBLE

